

# Lead

EN SAVOIR PLUS SUR L'ELECTRONIQUE

DE L'INFRA-ROUGE : COURS N° 3

EN SAVOIR PLUS SUR LE TUBE :

COURS N° 2 - LA TRIODE

PREAMPLIS HI-FI A TRIODE ECC83

MICRO-EMETTEUR FM DISCRET

## LE GRAND RETOUR DES TUBES EN AUDIO



M 1226 - 129 - 28,00 F





200 Av. d'Argenteuil  
92600 ASNIERES  
Tél. 47.99.35.25 & 47.98.94.13  
Fax. 47.99.04.78

VOTRE PARTENAIRE EFFICACE DEPUIS 1959

MAGASIN OUVERT DU MARDI AU VENDREDI  
DE 9 h 30 à 12 h 30 & de 14 h 15 à 19 h.  
Le SAMEDI SANS INTERRUPTION DE 10 h à 18 h.  
Le LUNDI (du 15/9 au 31/5) de 14 h à 18 h 30

+ DE 370 KITS dont 200 EXPOSÉS EN MAGASIN  
+ CONSEILS ET GARANTIS 1 AN.  
Notre sélection des plus vendus :

CH 01	Acupuncture électrique A19 V 30 mA	190	CH 77	Journaux lumineux 256 leds, 123 caractères + mém 220 V	490
CH 02	Alarme auto par détection de consommation AL 12 V	140	CH 78	Laser de démonstration 3mW Rouge AL 12 V	1200
CH 03	Alarme volumétrique à intrusions AL 12 V / 7 mA	350	CH 79	Laser de spectacle 35 mW, couleurs/minors AL 220 V	800
CH 04	Alarme volumétrique à intrusions AL 12 V / 45 mA	350	CH 80	Lumière digitale de 0 à 999 5 sur 2 afficheurs AL 12 V	250
CH 05	Alarme anti-intrusion à hyperfréquence AL 12 V	400	CH 02	Lecteur coupeur autonome pour 68105PIS AL 220V	490
RT 3	Alarme Centralisé 3 zones, 3 sorties/seriales, AL 220V 12V	850			
PL 57	Antivol auto ultrason-crochet pour coffre S1 Révis 3A	150			
PL 10	Antivol de maison intelligent Série sur métré 3A/250V	160			
PL 78	Antivol de villa 3 entrées, alarme réglable Sirelas	160			
PL 47	Antivol pour auto 2 entrées, alarme réglable 3A/250V	110			
OK154	Antivol pour moto. Contact de choc. Sanibit réglable	127			
CH 010	Antivol moto échecs avec télécommande 250MHz	350			
PL 98	Alarmation 3 zones. Série sur métré 3A/250V	140			
PL 8	Alarmation de 3 à 2 V. 300 mA Livré avec transco	100			
PL 66	Alarmation digitale 3 à 24 V / 2 A. Avec transco	200			
OK149	Alarmation réglable de 3 à 24V 2 amp. Complète	292			
OK147	Alarmation réglable de 3 à 30V 3 amp. Complète	564			
OK 51	Alarmation 9 volts, 100 mA, avec transco/ultra	160			
PL 43	Alarmation 3 à 40 V pour les kits PI (extra vendus)	140			
CH 7	Alarmation haute tension pour climatiseur 3000 V	200			
PL 17	Ampli - correcteur Vidéo AL 9 V / 15 mA	190			
CH 16	Ampli 2 à 2 Watts Effic 10 ohms + réglages AL 9V	50			
PL 52	Ampli 2 à 15W Stéréo ou 30W Mono. Bohms 300k/25k/25k	143			
OK 31	Ampli BF 16 W efficace. S. 480Hz. PC 20V/220V	99			
PL 97	Ampli BF 80 Watts. BP 800 Hz. AL 220 V	290			
PL 41	Ampli guitare 80 Watts. E. 3mV/47M. AL 2 x 40 V	348			
CH 71	Ampli FI-2 à 100 W scus 8 ohms. BP 20Hz/50KHz	490			
PL 63	Ampli d'antenne TV 1/1000 MHz. Gain 20 dB. AL 12V	110			
CH 57	Ampli d'antenne TV 80/500MHz gain 22dB AL 220V	230			
OK115	Amplificateur local avec capteur et P.H. AL 9 V	84			
CH 52	Amplificateur digital 3 afficheurs à 7 segments. AL 12 V	280			
CH 35	Ampl. catédes. Portée 100 m. AL 220 V	190			
OK 2	Ampl. musiques. Portée efficace 80 à 15 volts	88			
PL 6	Ampl. musiques. Ultra-sons 20V 22KHz. Portée à 8 km	70			
OK173	Ampl. par Ultrasons de 19 à 20 KHz. Puiss 10 Watts	127			
CH 34	Ampl. par Piles 330 m2. AL 5 V / 20 mA	150			
CH 89	Ampl. marche progressive pour mini-moteur 6V	250			
OK100	Automate séquentiel programmable 8 sorties, 4 entrées	300			
CH 70	Batterie digital 4 afficheurs avec capteur de pression	550			
PL 100	Batterie électric 2 capteurs 17 rhymes. AL 9 V / 20 mA	150			
OK 77	Bloc système pour itin. électrique AL 12 à 6 volts	84			
OK 46	Capteur réglable pour essai de gazes Sirelas AL 12 V	75			
PL 61	Capacimètre digital Ipf à 99999Mf 3 afficheurs AL 9V	220			
CH 39	Carte à 16 entrées pour micro-ordinateur AL 512 V	220			
CH 43	Carte à 8 sorties pour micro. S. 8 bits 3A/250V	290			
PL 41	Carte d'acquisition analogique à 8 entrées pour micro	220			
RT 2	Carte de choix de données 256 K mémoire AL 220 V	770			
CH 104	Chambre à courant alternatif à balais 10A/15V/500mA	220			
CH 37	Chassis ossature électronique à synthèse vocale AL 12V	350			
CH 03	Chercheur 16 voies 1 à 12 220V. 50Hz 40 W (sans transco)	280			
PL 13	Chercheur 4 voies. Amplitude lumineuse 1500 W / une	120			
CH 53	Chercheur digital 100. 2648 réglages. à 1000 V. AL 12V	450			
CH 24	Chen de garde à synthèse vocale 2 abouements AL 12 V	290			
PL 30	Clap interrupteur Sensib réglable Sirelas 3A/250V	90			
CH 3	Clap télécommande réglable 20 V / P. 1000 W	140			
CH 18	Commande de rangement/itinéraire automatique 150				
CH 26	Complément de programmation d'horloge 52 rélais	220			
CH 59	Compteur Geiger-Müller livré avec son tube AL 5 V	690			
OK174	Convertisseur 144 MHz à 100MHz. Sur circuité AL 12V	119			
PL 13	Convertisseur 27 MHz P.O. Pour la bande AL 9V	100			
OK 39	Convertisseur de 12 à 45 V / 330 mA AL 12V cab	69			
OK 43	Convertisseur de 12 à 220V. 50Hz 40 W (sans transco)	100			
CH 64	Convertisseur de 12 à 220V. 50Hz 150 W (sans transco)	120			
OK 27	Correcteur de tonalité pour réglages graves/hautes	59			
OK 80	Correcteur de tonalité stéréo réglages graves/hautes	104			
CH 85	Correcteur de niveau liquides à leds Sirelas 3A/250V	160			
OK 43	Détecteur ou détecteur photo-électrique Sirelas 3A/250V	90			
OK11	Décodeur de B.L.U. à 500 MHz AL 12 à 13 V	127			
CH 14	Déformateur électronique très efficace AL 220 V	190			
PL 13	Détecteur de gaz Sirelas 3A/250V	220			
OK 40	Détecteur de passage en itinéraires Sirelas 3A/250V	220			
PL 10	Détecteur universel 5 fmc. Capteurs Sirelas / Soria	100			
CH 03	Détecteur de touche pour clap à la ligne buzzerisé	200			
OK 61	Mini émetteur FM 88/108MHz. P. 100 mW. AL 9 V	59			
CH 25	Émetteur en FM 88/108MHz. P. 100 mW. AL 9 V	140			
PL 61	Émetteur en FM 104MHz. S. 8 bits 3A/250V	250			
CH 81	Émetteur en FM 88/108MHz. P. 7 Watts. AL 12 V	350			
CH 88	Émetteur Vidéo sans fil PAL AL 12 à 20 V / 30 mA	290			
CH 33	Etoile lumineuse 64 leds. 2048 séquences programmées	450			
CH 66	Fréquenceur digital 10Hz à 99Hz 3 afficheurs AL 220V	290			
OK 86	Fréquenceur digital 20-100MHz 4 gam3 afficheurs	247			
OK 82	Fréquenceur digital 30-100MHz 4 gam3 afficheurs	450			
RT 1	Fréquenceur digital 30-100MHz 2 gam3 afficheurs	850			
CH 57	Fréquenceur digital spécial CB 27 MHz 5 afficheurs	350			
OK123	Générateur 9 tons pour CB. Personnalisation de l'appel	90			
OK133	Générateur BF 1H/4000Hz 5 gam3 signaux avec aim	276			
CH 53	Générateur de bruit pour trans. Klaxon diesel. P. 2 W	200			
CH 50	Générateur de bruits pour trans. Klaxon diesel. P. 2 W	200			
CH 50	Générateur de bruits pour trans. Klaxon diesel. P. 2 W	200			
CH 48	Gradateur à touche chronométrique De 0 à 100% 1200W	120			
PL 10	Gradateur de lumière à télécommande 1000 W. E.R.	290			
CH 31	Gradateur de lumière 1500 W. AL 12 V	40			
CH 10	Horloge générale à 45 leds. CHN 45 cm - mém 220 V	500			
CH 75	Hologramme/Moniteur 24 H. AL 1/1000 AL 220V 12V	350			
CH 76	Hygromètre digital 3 afficheurs 0-99.9 % AL 9 V 12 V	690			
CH 80	Interface imprimante PC pour minitel. Mémoire 8 K	450			
OK 84	Interface 2 pistes à fil avec HP et micro. Max 26 cm	94			
PL 52	Interface audio du mode Fax. Micro-HP livrés. AL 9V/2V	160			
PL 55	Interrupteur électrostatique 120W max.	220			
PL 52	Interrupteur électrostatique pour 30 m2 AL 200 V	220			
OK171	Magnéto-son anti-coucheu. Géné BF 1H/15Hz + cap	127			
CH 20	Magnéto-son numérique 5 à 20 secondes. A 9 V	350			
OK107	Magnéto-son réglable de 0 à 100 Hz. AL 9 V	100			
OK 61	Mini émetteur FM réglable 88/108 MHz. P. 100 mW	59			
OK105	Mini récepteur FM 88/108 MHz sur écouteur. AL 12 V	59			
OK 81	Mini récepteur FM réglable 88/108 MHz. P. 100 mW	59			
PL 90	Mini récepteur réglable 30 à 300 mHz. 1000 W AL 4.5 V	59			
OK 1	Mini récepteur réglable de 10 à 500 MHz. AL 220 V	84			
CH 54	Mini récepteur NAB 500 Hz. moduleur LHF AL 12 V	450			
PL 5	Moduleur 3 voies - Preamp. 1500 W / Voie	100			
PL 7	Moduleur 3 voies - Inverse 1500 W / Voie	100			
PL 9	Moduleur 3 voies avec Micro, 1500 W / Voie	120			
PL 60	Moduleur 3 voies à leds pour HP autoradio AL 12V	100			
CH 49	Moduleur 3 voies à leds 12 Voies P. 3 A 1 A	110			
PL 37	Moduleur à changement de fréquence 1200W	180			
OK100	Moduleur U.F. Image ou son bande IV. AL 9 V	80			
CH 91	Oiseau à synthèse vocale 2 chants. P. 15 W. AL 12V	290			
CH 94	Piloteur de digital sur 2 afficheurs. A 9 à 12 V	150			
OK117	Piloteur de digital sur 2 afficheurs. A 9 à 12 V	287			
PL 14	Piloteur de digital sur 2 afficheurs. A 9 à 12 V	80			
PL 31	Piloteur de digital sur 2 afficheurs. A 9 à 12 V	80			
OK121	Piloteur pour micro 300 cHz. Gain 20 dB. AL 9V	40			
OK 99	Piloteur pour micro 47 KHz. Gain 20 dB. AL 9V	40			
OK 65	Piloteur de digital sur 2 afficheurs. A 9 à 12 V	150			
PL 84	Piloteur pour casque. Compensateur de Pil 62	108			
CH 62	Programmeur de 68105/35. P. de 27 à 2732	250			
RT 5	Programmeur de 68105/35. P. de 27 à 2732	700			
CH 47	Programmeur de digital 10000 à 1024 adresses	390			
CH 79	Programmeur de digital universel 21 M. 4 Adresses	450			
RT 4	Programmeur de digital universel 21 M. 4 Adresses	850			
RT 6	Programmeur de digital universel 21 M. 4 Adresses	700			
CH 98	Recepteur C-3 canal 19 P-10 12 V 12V/30mA	200			
OK165	Recepteur chalutier 1.5/2.8 MHz + coffret + Ampli + HP	258			
OK 15	Recepteur FM + Ampli 88/108MHz. Livré avec HP	143			
OK179	Recepteur FM 88/108MHz. Livré avec HP	250			
OK159	Recepteur marine 135/170 MHz + coffret + Ampli + HP	258			
OK175	Recepteur marine 135/170 MHz + coffret + Ampli + HP	258			
OK177	Recepteur police 56 à 88 MHz - coffret + Ampli + HP	258			
OK122	Recepteur VHF 500-200 MHz sur écouteur AL 9V/12 V	137			
OK115	Mini récepteur FM 88/108 MHz sur écouteur AL 12 V	59			
OK 81	Mini récepteur FM 88/108 MHz sur écouteur AL 12 V	59			
CH 87	Réglable de casque à 36 leds avec brutage AL 9 V	256			
CH 20	Serrure codée à 4 chiffres Sirelas/PIC 3A/250V	120			
CH 73	Serrure codée digitale 2 afficheurs Sirelas 3A/250V	390			
OK 53	Sifflet à vapeur pour trans. manobles. 2 sons. AL 9 à 16 V	124			
OK 52	Sifflet automatique pour trans. manobles. AL 9 à 16 V	75			
OK138	Signal traceur - Générateur de signaux carrés à 1KHz	177			
CH 47	Simulateur de présence 300 cHz. 2 circuits AL 220 V	250			
CH 85	Sirene de brutage pour bétaux. 4 modes. P. 4 W	200			
PL 80	Sirene électronique. Kocac. 10 W. AL 9V/15 V	100			
OK188	Sonometre électronique. Mesures de -8 à +130 dB	127			
PL 15	Sinusoïde 40 joules. 220V 10 à 200 éclats / minute	120			
OK 13	Sinusoïde 150 joules avec tube. Vitesse réglable	160			
OK 15	Sinusoïde 200 joules. Vitesse 16 à 64 coups / seconde	160			
CH 99	Sinusoïde 40 joules en 12 volts avec son tube	200			
OK 22	Sinusoïde de regage auto-rotatif. Avec tube AL 12 V	140			
PL 68	Table de mixage stéréo à 6 entrées. BP. 20Hz/20KHz	222			
CH 9	Tachymètre digital 1/100/9900 Trm. 2 afficheurs AL 12 V	220			
PL 72	Télécommande à ultrasons. E-R. P. 5 m	220			
PL 77	Télécommande digital 27 MHz. E-R. P. 50 m. Sirelas	180			
PL 67b	Émetteur supplémentaire pour P. 67	180			
CH 46	Télécommande codée par fréquence. 2 circuits	300			
CH 55	Télécommande HF 250MHz codée, alarme/volants	390			
CH 84	Télécommande HF 22MHz codée 4 canaux 4 rélais	690			
OK 85	Télécommande infrarouges E-R. P. 6 m. Sirelas	200			
OK 16	Télécommande infrarouges codée 4 canaux 4 Sirelas	200			
CH 85	Télécommande infrarouges codée 4 canaux 4 Sirelas	200			
CH 97	Télécommande infrarouges codée 4 canaux 4 Sirelas	200			
PL 22	Télécommande infrarouges AL 220 V. Sirelas 3A/250V	170			
PL 54	Thermomètre réglable 1 sec/3mm Sirelas 3A/250V	100			
PL 94	Thermomètre réglable 1999 s 3 afficheurs Sirelas AL 220 V	250			
OK 57	Testeur de semi-conducteurs à leds. AL 4.5 volts	55			
OK 64	Thermomètre digital 0 à 99.9°C. 3 afficheurs AL 9V/12 V	193			
CH 44	Thermomètre digital 0.99°C. 2 afficheurs AL 9V	250			
CH 43	Thermomètre digital. De 0 à 99.9°C sur 2 afficheurs AL 9V/12 V	180			

# LOISIRS ELECTRONIQUES D'AUJOURD'HUI N°129 Led

## 4

### L'ELECTRONIQUE DE L'INFRA-ROUGE (COURS N° 3)

Nous allons porter notre attention sur les photorécepteurs, dispositifs photosensibles dont la conductibilité électrique varie selon l'éclairement auquel ils sont soumis. Nous verrons comment ils se comportent sous rayonnement infra-rouge.

## 12

### LES TUBES ELECTRONIQUES (COURS N° 2 : LA TRIODE)

Le tube triode est un tube diode chez lequel est interposée, entre la cathode et l'anode, une troisième électrode appelée grille, en raison de sa structure. La grille est en effet constituée d'une petite grille métallique, avec des mailles. Le rôle de la grille dans la triode est des plus importants : elle gouverne le débit des électrons émis par la cathode, qui doivent franchir ses mailles pour atteindre l'anode.

## 20

### PREAMPLIFICATEUR A TUBES ECC83

La triode ECC83 est probablement le tube le plus utilisé dans la réalisation de préamplificateurs. Aujourd'hui encore on la trouve chez de nombreux revendeurs de composants, d'autant plus facilement que le tube semble ressusciter et que l'on redécouvre (ou découvre simplement, pour les jeunes)

ses grandes qualités dans le domaine de l'audio.

Nous allons donc en faire le tour en vous proposant la réalisation d'un préamplificateur pour cellule magnétique (le vinyl non plus n'est pas mort), un préamplificateur pour microphone (micro pour la voix ou micro de guitare électrique), un adaptateur cathode follower permettant de disposer d'une modulation à basse impédance.

## 29

### SERVICE FILMS POSITIFS ET CIRCUITS IMPRIMES

Pour vous aider dans la gravure de vos circuits imprimés, Led vous propose le film positif des implantations publiées dans ce n° 129.

Ce service permet aux lecteurs de Led d'obtenir les circuits imprimés gravés, percés ou non.

Tous les circuits imprimés proposés dans nos précédents numéros sont toujours disponibles.

## 30

### MICRO-EMETTEUR A MODULATION DE FREQUENCE

Petit et discret, l'appareil que nous vous proposons s'alimente soit sur une pile 6F22 de 9 volts, soit sur une batterie cadmium-nickel équivalente. Avec un récepteur portatif à transistors et sans antenne à l'émission, la portée se limite à quelques mètres (d'une pièce à l'autre par exemple). On peut l'augmenter jusqu'à plusieurs dizaines de mètres en utilisant comme antenne un simple fil de 70 cm de longueur.

## 34

### REALISEZ UN NANOAMPEREMETRE

L'adaptateur que nous vous présentons étend avantageusement les possibilités de votre multimètre. Il le rend utilisable à la mesure de très faibles intensités continues, par exemple celles des courants de fuite chez les semi-conducteurs sous alimentation inverse.

## 38

### COMMANDE DE FEUX TRICOLORES POUR MODELISTES

Ce montage assure la simulation du fonctionnement des feux tricolores situés au niveau d'un carrefour. La visualisation est assurée par des diodes électroluminescentes, afin d'obtenir les conditions de miniaturisation requises dans le domaine du modélisme.

## 42

### ECHANTILLONNEUR AUDIO 8 BITS POUR ATARI ET PC (2° PARTIE)

Dans un premier temps, nous présenterons quelques techniques de calcul numérique communes au PC et à l'Atari, qui permettent d'assurer des fonctions de base telles que l'amplification et l'écho. Ensuite, nous passerons en revue le programme dédié à l'Atari, puis celui qui est destiné aux ordinateurs de type "PC".

Société éditrice :  
Editions Périodes  
Siège social :  
1, bd Ney, 75018 Paris

SARL au capital de 51 000 F  
Directeur de la publication  
Bernard Duval

LED  
Mensuel : 28 F  
Commission paritaire : 64949  
Locataire-gérant des  
Editions Fréquences  
Tous droits de reproduction réservés  
textes et photos pour tous pays  
LED est une marque déposée  
ISSN 0753-7409  
Services Rédaction-  
Abonnements :  
(1) 44.65.80.88 poste 7314  
1 bd Ney, 75018 Paris  
(Ouvert de 9 h à 12 h 30  
et de 13 h 30 à 18 h  
Vendredi : 17 h)

Rédaction  
Ont collaboré à ce numéro :  
Georges Matoré,  
Bernard Duval  
Bernard Dalstein

Abonnements  
10 numéros par an  
France : 210 F  
Etranger : 290 F  
(voir encart au centre  
de la revue)

Petites annonces gratuites  
Les petites annonces sont  
publiées sous la responsabilité de  
l'annonceur et ne peuvent se  
référer qu'aux cas suivants :  
- offres et demandes d'emploi  
- offres, demandes et échanges  
de matériels uniquement  
d'occasion  
- offres de service

Composition  
Edi'Systèmes  
Photogravure  
Sociétés PRS - Paris  
Impression  
Berger-Levrault - Toul  
Photo de couverture  
Jean Hiraga

## DROITS D'AUTEUR

Les circuits, dessins, procédés et techniques publiés par les auteurs dans Led sont et restent leur propriété. L'exploitation commerciale ou industrielle de tout ou partie de ceux-ci, la reproduction des circuits ou la formation de kits partiels ou complets, voire de produits montés, nécessitent leur accord écrit et sont soumis aux droits d'auteur. Les contrevenants s'exposent à des poursuites judiciaires avec dommages-intérêts.

Nous allons porter notre attention sur les photorécepteurs, dispositifs photosensibles dont la conductibilité électrique varie selon l'éclairement auquel ils sont soumis. Nous verrons comment ils se comportent sous rayonnement infrarouge. Il est tout naturel que nous commençons par le capteur photosensible le plus simple...

## PHOTORESISTANCE

Elle est une résistance dont la valeur résistive varie avec le flux lumineux qu'elle reçoit.

Dans la littérature technique, elle est souvent désignée par LDR, pour Light Dependent Resistor, résistance dépendant de la lumière, ou encore Light Decreasing Resistor, résistance diminuant avec la lumière.

Sur un substrat isolant en céramique, ou en verre, est couchée une "piste" d'un matériau semi-conducteur très particulier, au dopage soigneusement dosé.

Le sulfure de cadmium CdS, le séléniure de cadmium CdSe, ou encore la combinaison des deux, le sulfoséléniure de cadmium CdSSe, sont les corps de base utilisés à l'élaboration des photorésistances.

Les électrodes d'accès sont les extrémités de la photorésistance, laquelle est encapsulée dans un boîtier transparent en matière plastique, ou en verre (figure 1).

La courbe de réponse des photorésistances n'est malheureusement pas linéaire, leur valeur résistive décroît avec l'éclairement reçu, mais non pas d'une façon rigoureusement proportionnelle.

Ajoutons à cela que l'intensité du courant traversant les photorésistances ne suit pas forcément la loi d'Ohm ( $U = R \cdot I$ ), la résistivité des photorésistances varie généralement avec la tension développée à leurs bornes, ce qui ne facilite pas l'utilisation !

Le type bien connu, très souvent rencontré, MPY 54 C, présente dans l'obscurité une résistance (d'obscu-

rité) d'une dizaine de mégohms, qui chute aux alentours de 8 kiloohms sous un éclairement de 50 lux, équivalent à celui provenant d'une lampe à incandescence ordinaire, de puissance 25 watts, située à une distance de 75 centimètres...

Les photorésistances sont des capteurs photosensibles rustiques, peu chers, utilisés par exemple chez les dispositifs mettant en service l'éclairage extérieur à la tombée de la nuit. La figure 2 nous présente le schéma de principe d'un tel dispositif.

La photorésistance fait partie d'un pont diviseur résistif alimentant la base du transistor T1. Cette base est l'électrode de commande, la gâchette d'un basculeur à seuils, un trigger, qui change d'état brutalement, sans transition et se maintient verrouillé dans la position prise, dans l'attente du changement d'état suivant, provoqué par une intervention extérieure.

Lorsque l'éclairement diminue, la valeur résistive de la photorésistance augmente et la tension de base de T1 croît.

Arrive le moment où le transistor T1, lequel occupait l'état bloqué, entre en conduction.

Sa tension de collecteur décroît, celle de la base de T2 également avec, pour effet, de rendre T2 moins conducteur qu'il ne l'était, ce qui se traduit par une élévation de sa tension de collecteur.

Cette augmentation de la tension de collecteur de T2 est répercutée sur la base de T1.

Les effets sont cumulatifs et le montage se verrouille dans l'état "T1 conducteur, T2 bloqué".

En résultante de tout cela, la tension

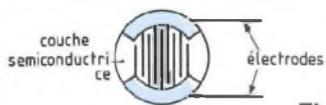


Fig. 1

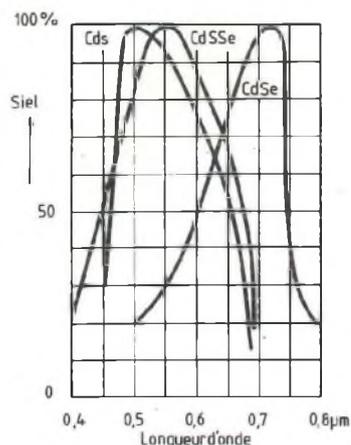


Fig. 3

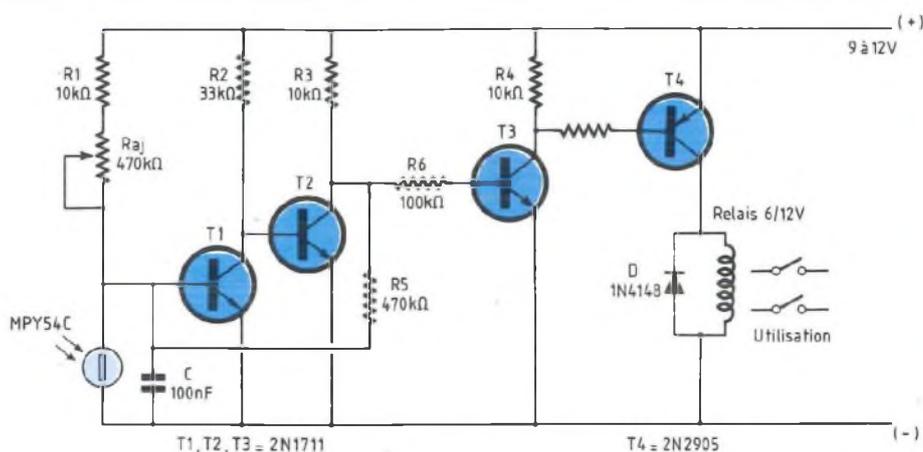


Fig. 2

appliquée sur la base de T3 se tient élevée, forçant T3 à la conduction, donc également T4, le relais est alors excité, qui "monte", mettant en service l'éclairage extérieur à la tombée de la nuit...

Le condensateur C contribue à la stabilisation de la tension appliquée à la base de T1, qui est, rappelons-le, l'électrode de commande du basculeur à seuils.

Le basculement a lieu en sens inverse lorsque l'éclairage, par voie montante, repasse au-dessus du seuil de déclenchement...

Le réglage du dispositif s'effectue en intervenant sur la position du curseur de la résistance ajustable Raj incluse dans le pont diviseur de base, en série avec la photoresistance.

N'oublions pas d'installer dans le montage la résistance R1, elle limite l'intensité du courant de base de T1, nous savons qu'un transistor constitue un excellent fusible et qu'une résistance coûte moins cher qu'un transistor, propos jamais démenti dans la pratique !

### REPONSE AUX IR

Considérons maintenant le comportement des photoresistances sous rayonnement infrarouge.

A la figure 3, nous avons reproduit les courbes de sensibilité relative des trois types de photoresistances, CdS, CdSe et CdSSe.

Il s'agit, nous insistons, de sensibilité relative, les grandeurs maximales, figurées par les sommets des courbes, ne sont pas égales en grandeur absolue, dans la réalité des choses !

Les photoresistances au CdSe sembleraient les plus aptes au fonctionnement sous IR, mais la sensibilité spécifique réelle de ces photoresistances est plus faible que celle des autres.

Finalement, aucun type de photoresistance n'est à préférer véritablement...

Un autre phénomène dont il convient de ne pas négliger l'existence est la lenteur de réponse des photoresistances, dont la valeur résistive ne prend pas instantanément sa

nouvelle grandeur en cas de variation de l'éclairage.

Le "retard" n'est pas sensible (quelques millisecondes) sous un éclairage intense (soleil), mais il peut atteindre plusieurs secondes sous un éclairage de quelques lux, comme c'est le cas sur le plateau d'un agrandisseur, en laboratoire photographique.

Une variation de flux lumineux intense est donc accusée plus rapidement qu'une variation de flux faible, cependant qu'une variation importante de flux lumineux (faible ou fort) est toujours traduite avec retard par une photoresistance.

Sachons que pour "récupérer" leur résistance d'obscurité, la plupart des photoresistances demandent plus d'une minute...

Voilà un inconvénient qui limite les possibilités d'utilisation de ces photoresistances.

Jetons maintenant un coup d'œil sur la figure 4.

Les deux courbes de tolérance maximale délimitent l'espace dans lequel se tient la valeur résistive d'une pho-

# L'électronique de l'infra-rouge

torésistance, en fonction de son éclaircissement.

Pour en terminer avec ces photorécepteurs, nous mentionnerons l'existence de photorésistances "spéciales infrarouge", au sulfure de plomb PbS, sensibles à l'infrarouge moyen (3 micromètres).

Ces dispositifs réagissent en fait beaucoup mieux au rayonnement d'un fer à souder (vers les 270°) qu'à la lumière du jour et connaissent de ce fait des applications particulières.

Elles sont les seules à présenter une (très) grande rapidité de réponse, elles peuvent traiter des signaux de fréquence atteignant 3 mégahertz...

## PHOTODIODE

Toute jonction P-N, toute diode soumise à la polarisation inverse est traversée par un courant (inverse) de fuite dont l'intensité, très faible, ne peut être mesurée qu'à l'aide d'un nanoampèremètre.

Malgré son intensité si faible, nous devons cependant compter avec le courant inverse, il nous faut veiller à limiter son intensité au-dessous d'un seuil dangereux pour la jonction, car nous savons fort bien en effet que le claquage inverse non maîtrisé conduit rapidement et irrémédiablement à sa destruction !

La jonction P-N peut être rendue accessible à la lumière, par construction d'origine et si nous la soumettons aux effets d'un éclaircissement progressif, un courant supplémentaire inverse, que nous appelons courant photovoltaïque, grandissant en intensité avec l'éclaircissement, vient se superposer au courant d'obscurité initial.

Faisons l'expérience que voici !

Nous savons (notre dernier entretien) que la diode électroluminescente est une diode à jonction encapsulée dans un boîtier laissant passer la lumière, transparent (type

crystal), ou pour le moins translucide (type diffus).

Branchons une DEL aux bornes de notre multimètre en fonction volt-mètre (0-200 mV), plaçons la DEL sous une lampe électrique à incandescence (allumée, cela va de soi !), à défaut de soleil et voyons ce qui se passe...

Le voltmètre accuse le passage d'un courant dans sa résistance d'entrée, courant photoélectrique produit par la DEL génératrice, c'est ainsi que nous mettons en évidence ce phénomène essentiel appelé effet photovoltaïque, ou encore effet photopile. Faisons varier l'éclaircissement de la photodiode en éloignant plus ou moins la lampe...

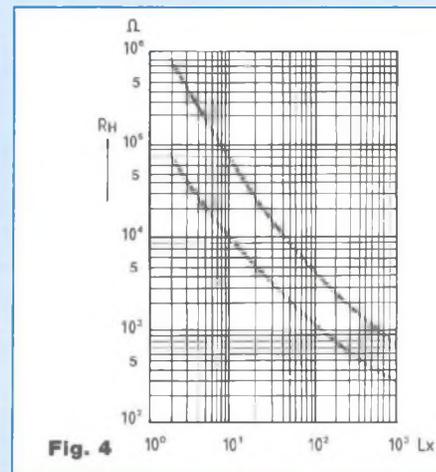
L'intensité du courant photovoltaïque est directement liée à l'éclaircissement, elle varie linéairement avec lui, ce qui nous change du tout au tout avec les photorésistances !

Les chercheurs (ne manquons pas de les complimenter au passage !) ont remarquablement développé les performances des photodiodes, des PHD, c'est par ce sigle que nous désignons ces photorécepteurs, leur conférant une courbe de réponse, linéaire, nous le répétons, couvrant l'espace s'étendant de 0 à 100 000 lux...

Nous allons voir comment s'utilise la photodiode, en nous intéressant à son fonctionnement en générateur de courant, en photopile...

Préalablement, il peut s'avérer utile, sinon nécessaire, d'identifier les électrodes inconnues d'une photodiode et, pour ce faire, le testeur de semiconducteurs est alors très apprécié.

Sinon, une banale pile plate 4,5 volts, à défaut d'une alimentation stabilisée de laboratoire délivrant la tension de 5 volts, une résistance de protection  $R_p$  de valeur résistive 390 ohms conditionnant le passage dans le circuit d'un courant d'une intensité de quelque 5 milliampères, voilà



qui fait parfaitement l'affaire (figure 5)...

Si la PHD est polarisée directement, son anode orientée vers le (+) et sa cathode vers le (-) de la source d'alimentation, la diode électroluminescente de contrôle s'illumine, elle demeure éteinte dans le cas contraire, tout simplement...

Revenons sur le phénomène photovoltaïque !

Toute jonction P-N et plus particulièrement la photodiode polarisée en inverse, soumise à éclaircissement, se comporte en générateur de courant, voilà qui nous fait penser immédiatement aux batteries solaires.

Visualisons le phénomène, transportant sur notre boîte à connexions le montage dont la figure 6 nous présente le schéma.

Nous y retrouvons un amplificateur opérationnelle CA 3140, alimenté sous la tension de 9 volts, entre les entrées duquel est disposée la photodiode, par exemple une BPW 34. Nous choisissons ce type d'ampli op parce qu'il se satisfait d'une alimentation simple et non pas double, symétrique, avantage que nous exploitons souvent.

Lorsque la photodiode est éclairée, elle devient productrice de courant

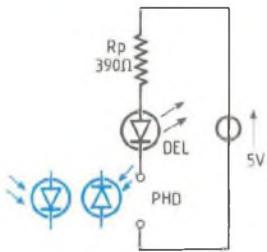


Fig. 5

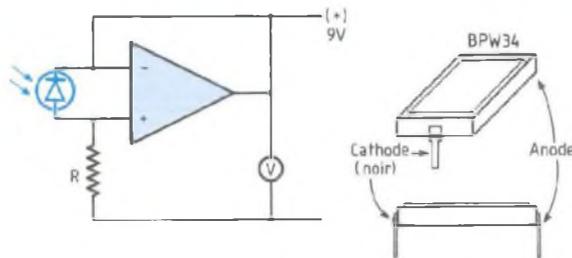


Fig. 6

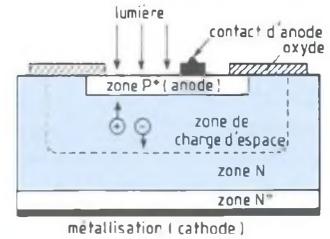


Fig. 7

photovoltaïque, lequel doit traverser la résistance de charge  $R_c$  (8,2 kilohms) pour atteindre la masse.

En sortie de l'ampli op nous retrouvons la tension développée aux bornes de la résistance de charge, cette tension est l'expression de la grandeur de l'éclairement de la photodiode...

L'amplificateur opérationnel, très entêté, ramène toujours ses entrées au même potentiel, la tension aux bornes de la photodiode est par conséquent nulle.

Dans la réalité des choses, la photodiode ainsi disposée est soumise à la tension de décalage d'entrée de l'ampli op, grandeur tension qui n'excède par 2 à 3 millivolts et c'est suffisant pour que l'effet photopile se produise...

Notons que ce montage minimise avantageusement les effets de courant d'obscurité.

**PRECISION**

Nous alimentons notre montage expérimental sous la tension de 9 volts, pile 6F 22 ou alimentation stabilisée délivrant la tension de 9 volts, car l'intensité du courant d'obscurité de la PHD est de l'ordre du nanoampère, alors que celle du courant inverse dû à l'effet voltaïque

peut monter allègrement à 1 millième !

Nous indiquerons ici, à l'intention de ceux qui désireraient construire un luxmètre d'excellente facture, qu'il existe sur le marché un photogénérateur spécialement développé pour cette fonction.

Ce petit "panneau solaire", aux dimensions de 12 x 64 x 48 mm, présente un courant photovoltaïque d'intensité 100 microampères sous un éclairement (naturel) de 1 000 lux, 1 milliampère sous 10 000 lux, 10 milliampères sous 100 000 lux...

Il s'alimente sous une tension inverse n'excédant pas 5 volts...

Reportons-nous maintenant, si vous le voulez bien, à la figure 7, laquelle nous montre le schéma structurel d'une PHD.

Ne soyons pas surpris d'y retrouver une zone P et une zone N, ne sommes-nous pas en présence d'une diode ?

Sous alimentation inverse, une zone non conductrice, appelée charge d'espace, apparaît entre les zones P et N, qui sépare, isole ces deux zones l'une de l'autre.

Pénétrant dans le système semi-conducteur, la lumière fait apparaître

en son sein des charges élémentaires d'électricité de type P et de type N.

Comme la diode se trouve sous polarisation inverse (son anode est polarisée négativement) et comme les charges de signe opposé s'attirent, les charges (+) se dirigent vers la cathode (-) et les charges négatives vers l'anode (+).

Les conditions sont par conséquent remplies pour qu'un courant prenne naissance.

La lumière libère des charges élémentaires dans le dispositif et même si le dispositif n'est pas polarisé volontairement, artificiellement, par l'extérieur, avec le concours d'une source d'alimentation, il devient le siège d'échanges de charges entre les électrodes, une tension se développe aux bornes de la... photopile.

Voilà le principe des piles solaires... Devant le peu d'énergie produite, nous déduisons immédiatement que la surface des piles solaires devra être très grande et l'ensoleillement particulièrement généreux, pour que l'électricité solaire soit compétitive avec celle d'autres origines.

Quant au problème de stockage de cette énergie, c'est là tout un programme !

# L'électronique de l'infra-rouge

## PHD EN IR

La technologie d'aujourd'hui met à notre disposition des photodiodes dont la sensibilité maximale se situe dans l'espace s'étendant de 880 à... 980 nanomètres.

Le spectre des PHD correspond donc à celui des DIR, diodes émettrices dans l'infrarouge, dont la sensibilité maximale se tient vers 950 nanomètres.

La photodiode BPW 50 (930 nanomètres) est complémentaire de l'émetteur (DIR) CQY 89 A2 (930 nm), c'est un exemple d'association que nous exploiterons dans nos réalisations...

## PHOTOTRANSISTOR

Eclairons la pastille semiconductrice qui constitue un transistor bipolaire NPN.

La jonction collecteur-base du transistor (figure 8) est soumise à l'alimentation inverse et le dispositif fonctionne en photorécepteur de grande sensibilité.

Si vous êtes très habiles à l'établi, ce dont nous sommes profondément persuadés, enlevez donc par sciage le couvercle d'un transistor 2N 3055 et vous serez en possession d'un... phototransistor.

Sinon, c'est moins acrobatique et beaucoup plus simple, tout en étant moins cher, procurez-vous donc un BPX 95 C, de chez RTC, partout disponible.

Ce phototransistor a les dimensions d'une diode électroluminescente standard, de diamètre 5 mm, le méplat de son embase signale sa "cathode" (son collecteur), à disposer côté (+) de la source d'alimentation.

Installez-le sur votre boîte à connexions, conformément au schéma opératoire présenté par la figure 9. Le courant délivré par la cathode du phototransistor est injecté dans la base d'un transistor NPN bien connu, 2N 1711, dont le collecteur

est chargé par une diode électroluminescente de votre couleur préférée (sans incidence sur le fonctionnement !).

La résistance  $R_p$ , de grandeur 39 ohms, entre DEL et collecteur du NPN, protège tout à la fois la DEL et le transistor contre un courant d'intensité dangereuse pour eux.

La résistance  $R$ , de valeur résistive 10 kilohms, disposée entre l'anode du BPX 95 C et la base du 2N 1711 a pour rôle de limiter l'intensité du courant issu de la cathode du phototransistor en cas d'éblouissement, comme nous disons, de "surcharge lumineuse" du phototransistor, cependant qu'elle protège également la base du transistor contre un courant d'activation (le même courant !) d'intensité excessive.

L'alimentation de notre montage expérimental s'effectue sous les 5 volts d'une alimentation stabilisée, mais une banale pile plate 4,5 volts fait l'affaire...

Sous un éclairage ambiant atténué, la diode électroluminescente est éteinte, ou faiblement éclairée, mais elle brille d'un vif éclat si vous soumettez le phototransistor au flux d'une lampe à incandescence (allumée, évidemment !).

La manipulation est très amusante, vous verrez !

Au passage, nous attirerons l'attention sur une réalité dont il faut se méfier, à savoir que le flux reçu d'une banale lampe de 3,5 volts-0,15 ampère, équipant les lampes de poche, à la distance de 1 centimètre, est équivalent au flux nous arrivant directement du soleil !

Ce n'est pas prétentieux de mettre en garde un œil curieux d'y aller voir de près, la rétine serait brûlée...

Nous avons schématisé, par la figure 10, la structure d'un phototransistor.

La lumière, nous le savons maintenant, libère des charges élémentaires d'électricité de signe (+) au sein

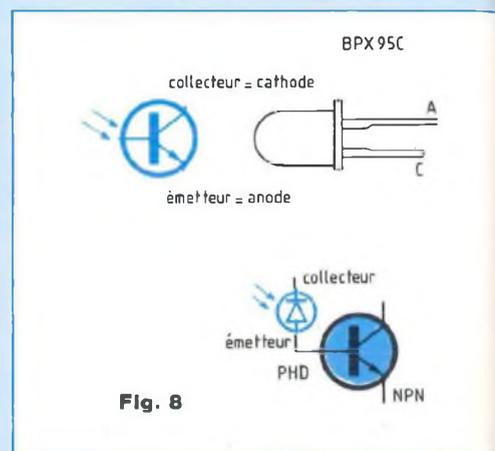


Fig. 8

de la base, laquelle est de type P et le courant de base naissant subit l'effet transistor, il est amplifié, tout comme chez un transistor...

Vous conviendrez avec nous qu'un quelconque transistor est un phototransistor qui s'ignore, car son boîtier métallique, ou plastique opaque, le met à l'abri de la lumière incidente et le fait travailler en vrai transistor, dont le rôle ne nous est pas forcément obscur...

Le phototransistor est encapsulé, à la fabrication, dans le boîtier adéquat, doté de la lentille frontale qui va concentrer, focaliser le flux reçu sur sa pastille semiconductrice, au bénéfice de la sensibilité, de l'efficacité, se traduisant par un gain de distance dans la liaison invisible entre émetteur et récepteur.

Nous devons savoir, nous changeons de sujet, que le fonctionnement des diodes et des transistors est entaché par la présence de capacités parasites dont la technologie ne pourra jamais nous débarrasser. Ces capacités parasites sont certes faibles, en grandeur absolue, de l'ordre de quelques picofarads tout au plus, mais aux fréquences élevées elles deviennent des courts-circuits vis-à-vis des signaux à traiter.

Le transistor a pour vocation

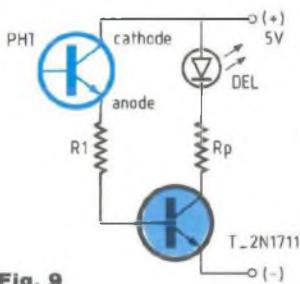


Fig. 9

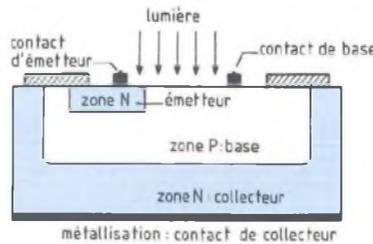


Fig. 10

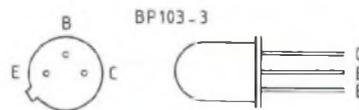


Fig. 11

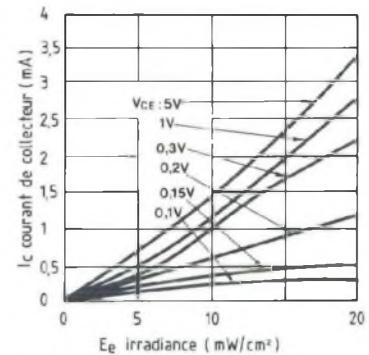


Fig. 12

d'amplifier, il amplifie également les capacités parasites, c'est l'effet Miller, que nous avons découvert en nous intéressant aux quadripôles sélectifs.

C'est pour cette raison qu'il est possible de traiter, avec des photodiodes, des signaux de fréquence "montant" à plusieurs mégahertz, alors que l'utilisation des phototransistors se limitera aux signaux dont la fréquence ne dépassera guère la centaine de kilohertz...

**ACCES A LA BASE**

Chez le phototransistor BPX 95 C, qui vient de participer à notre dernier spectacle, l'accès électrique à la base n'est pas prévu à la fabrication, le BPX 95 C n'a pas de "patte" de base.

Par contre le BP 103-3 (figure 11) est pourvu de cette troisième électrode, ce qui permet de polariser à volonté son collecteur, son émetteur et sa base.

Dans la pratique le fil d'accès à la base est rarement utilisé, il est généralement laissé "en l'air".

Porter la base d'un phototransistor à un potentiel défini se traduit toujours par une baisse de la sensibilité du photorécepteur.

Cependant l'accès à la base nous laisse la possibilité de forcer le phototransistor à la saturation, en

injectant dans sa base le courant de... juste saturation.

Cette particularité est exploitée chez un dispositif de régulation, elle constitue un excellent moyen d'inhiber à volonté le dispositif.

**CARACTERISTIQUES**

La courbe de réponse de la photodiode, nous l'avons vu, est linéaire, l'intensité de son courant photovoltaïque varie de façon directement proportionnelle avec l'éclairement reçu.

Le phototransistor, il est un transistor, n'effectue pas linéairement la conversion lumière-intensité.

Le fabricant nous procure les caractéristiques de ses produits, la figure 12 en est un exemple, elle est la courbe représentative des variations de l'intensité du courant de collecteur (donc d'émetteur !) pour diverses grandeurs de la tension de collecteur-émetteur, en fonction de l'éclairement.

**PHOTODARLINGTON**

Le courant issu de l'émetteur d'un phototransistor peut se voir injecter dans la base d'un transistor amplificateur, l'association est un photodarlington (figure 13).

Notre montage de la figure 9 était réalisé autour d'un photodarlington.

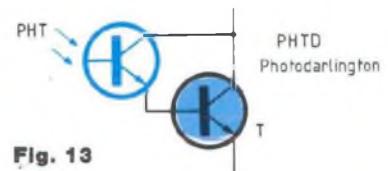


Fig. 13

Le photodarlington peut fort bien être encapsulé dans un boîtier unique, le BPX 99 de Telefunken en est un exemple.

Ce photodarlington délivre un courant d'émetteur de grandeur 30 milliampères sous un éclairement de 100 lux, ce qui est pour le moins considérable !

Pour la comparaison, disons que la BPW 34 de notre manipulation de tout à l'heure ne donne que 5 nanoampères sous le même éclairement, c'est-à-dire 6 millions de fois moins...

**TENSION INVERSE**

La mise en œuvre d'un photorécepteur, quel que soit son type, exige une précaution essentielle, déterminante, à savoir ne jamais soumettre le composant à une tension inverse dangereuse pour lui.

La figure 14 nous présente le schéma de montage d'une photodiode recevant le flux modulé d'une diode émettrice.

La photodiode délivre un courant dont l'intensité varie au rythme du

# L'électronique de l'infra-rouge

signal modulant à l'émission et ce courant transite par la résistance de charge  $R_c$ , dans laquelle débite la photodiode.

La tension variable développée aux bornes de la résistance  $R_c$  est donc la réplique du signal transmis par liaison invisible IR entre l'émetteur et le récepteur.

Le signal disponible aux bornes de la résistance de charge sera d'autant plus fort, donc plus facilement exploitable, que la valeur résistive de la résistance de charge sera grande, ce qui implique une tension d'alimentation de valeur élevée...

Cela exprime la nécessité, pour le meilleur résultat, de soumettre l'élément photosensible à une tension inverse importante, il faut savoir que les photodiodes courantes "tiennent" sous une tension inverse d'une trentaine de volts.

Certains modèles acceptent une tension inverse atteignant la centaine de volts et même davantage.

La capacité parasite de la photodiode croît avec la tension inverse à laquelle est soumise le photorécepteur (figure 15), notre intérêt est par conséquent de faire travailler la photodiode sous une tension (inverse) d'une grandeur de 9 à 12 volts, c'est ainsi que nous opérerons...

N'oublions jamais que la résistance de charge du photorécepteur doit être choisie de valeur suffisante pour éviter toute "surcharge", limitant l'intensité du courant inverse transitant par lui au-dessous du seuil dangereux, en cas d'éclaircissement intense, d'éblouissement.

## RAYONNEMENT INCIDENT

A l'émission nous utilisons, c'est un exemple, une DIR de type CQY 89, laquelle développe, aux dires de la notice de son fabricant, un flux de 10 mW/m<sup>2</sup>, dix milliwatts par mètre carré, par stéradian (sr) s'entend !

A la distance de 1 mètre de la source émissive est reçu une irradiance, une intensité d'irradiation de 10 milliwatts par mètre carré.

Ramenée au centimètre carré l'irradiance est de 1 microwatt par centimètre carré, 1  $\mu$ W/cm<sup>2</sup>.

A la distance de 2 mètres l'irradiance est quatre fois moins importante (qu'à 1 mètre !), elle est seulement de 250 nanowatts par centimètre carré, 250 nW/cm<sup>2</sup>.

A la distance de 10 mètres, elle n'est plus que de 10 nW/cm<sup>2</sup>, 10 nanowatt par centimètre carré...

A l'aide de lentilles appropriées, lentilles de Fresnel réalisées en un matériau spécifiquement adapté au traitement du rayonnement infrarouge et non pas à celui de la lumière "visible", comme le verre optique pour lunettes, nous concentrons, c'est la focalisation, le flux parvenant sur une surface beaucoup plus grande que le millimètre carré de la pastille semi-conductrice du photorécepteur IR.

Il est ainsi possible de donner artificiellement à la photodiode une sensibilité relative 100 fois plus développée, ce qui se traduit par l'obtention des mêmes résultats à une distance dix fois plus grande, l'intensité décroît selon le carré de la distance, ne l'oublions pas...

## CAPTEURS PYROELECTRIQUES

Une porte s'ouvre automatiquement devant vous lorsque vous vous en approchez...

Vous entrez dans un local et l'éclairage se met en service, pour s'éteindre après que vous en êtes sorti...

Vous avancez les mains sous le robinet du lavabo et ce robinet se met à débiter (de l'eau !)...

Vous placez les mains sous le sèche-mains électrique et l'appareil vous souffle dessus de l'air chaud...

Un dispositif d'alarme avertit de l'entrée d'un intrus dans un espace surveillé, il dirige un projecteur sur ce visiteur importun, il déclenche un avertisseur, une caméra, etc.

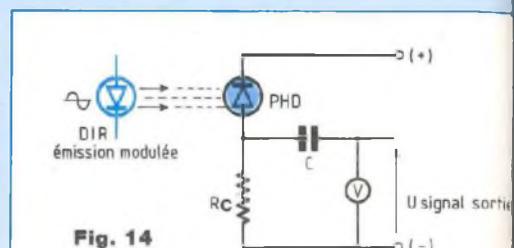


Fig. 14

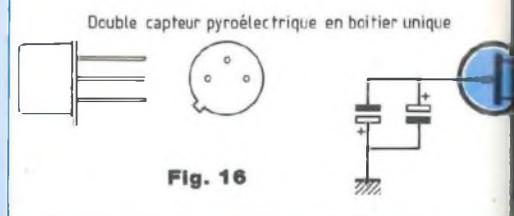


Fig. 16

Une machine tournante s'arrête de fonctionner si une main imprudente (danger !) s'approche trop près d'une pièce en mouvement...

Voilà des exemples désormais classiques d'exploitation des propriétés particulièrement intéressantes des capteurs pyroélectriques, lesquels réagissent à des variations du rayonnement infrarouge qu'ils reçoivent.

Il est des applications plus discrètes, comme l'observation du gibier (jumelles à infrarouge), surveillance par satellites, sans parler des équipements et matériels développés à des fins militaires.

Les fabricants sont vraiment peu loquaces quant aux produits dont ils se servent dans l'élaboration des capteurs pyroélectriques qu'ils nous offrent sur le marché (civil !).

Ce que nous pouvons en dire tout au plus c'est qu'il est question de titane, de tantale, d'antimoniure d'indium et que des filtres optiques très spéciaux limitent la plage d'utilisation des capteurs dans le spectre du vaste domaine de l'infrarouge.

Les capteurs pyroélectriques se comportent en condensateurs se

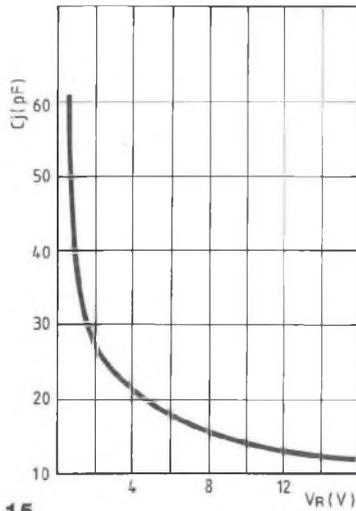


Fig. 15

chargeant lorsque leur température varie sous les effets du rayonnement IR incident.

Ils ne réagissent pas instantanément, ce en quoi ils nous rappellent les photorésistances, il leur faut en effet presque une seconde pour atteindre leur tension maximale de charge, après variation de l'irradiance IR qui les active.

Mais ces capteurs sont des condensateurs, qui se déchargent à travers leur diélectrique, très rapidement,

leur charge ne "tient" que quelques secondes...

Les capteurs décèlent les effets d'un échauffement, mais également d'un refroidissement, résultant par exemple d'une baisse de l'éclairement due au passage d'un nuage devant le soleil, ou résultant d'une averse venant battre les vitres, ou encore un simple courant d'air, ne serait-ce que la mise en service d'un ventilateur, ou seulement le mouvement d'une porte !

Pour pallier ces inconvénients, deux capteurs sont disposés côte à côte dans un boîtier unique. Devant la fenêtre de ce boîtier est placé un système optique qui leur fait "voir" chacun une portion du même espace, observant donc deux zones se trouvant à la même température.

Une personne passant dans le champ d'un des deux capteurs, à une distance d'une dizaine de mètres du dispositif (!), engendre le déséquilibre de leurs tensions de charge, déséquilibre qui va être amplifié par un... amplificateur de différence, lequel va délivrer en sa sortie le signal qui est l'expression de la perturbation thermique.

Le signal sera traité comme il convient, pour l'activation des systèmes de surveillance disposés en aval.

Le boîtier aux deux capteurs doit être installé géométriquement, opti-

quement, mécaniquement, au foyer commun de deux lentilles de Fresnel (figure 16), une réalisation qui n'est pas à la portée de l'amateur.

Mais les constructeurs mettent aujourd'hui à notre disposition sur le marché des modules de détection par effet pyroélectrique, de petits ensembles très performants qui peuvent être incorporés sans difficulté dans des réalisations personnelles.

Nous devons toutefois attirer l'attention sur le fait que le prix au détail de ces modules est aujourd'hui aussi élevé que celui d'appareils tout construits, également disponibles sur le marché, capables de détecter la présence d'un visiteur (attendu ou non !), de vous avertir discrètement, ou bien de mettre en service l'éclairage à son arrivée, etc.

## ET MAINTENANT ?

Après ce tour d'horizon des principaux capteurs photosensibles, nous vous invitons à nous retrouver ici le mois prochain, nous étudierons et construirons deux testeurs de boîtiers de télécommande (par IR) de récepteurs de télévision.

Ces réalisations nous conduiront directement à un projet plus développé, celui d'un ensemble de télécommande...

Georges Matoré

## FORMATION de TECHNICIENS SUPERIEURS en RADIOFREQUENCES

### PUBLIC CONCERNE

Etudiants titulaires d'un B.T.S. ou d'un D.U.T d'électronique.  
Candidats ayant des compétences marquées ou un goût personnel pour l'électronique analogique et les radiocommunications

### DUREE DE LA FORMATION

1 an - De septembre 1995 à juin 1996

### CONTENU DE LA FORMATION

L'électronique appliquée aux radiofréquences en HF, VHF, UHF, SHF. Conception, maintenance, mesures.

### DEROULEMENT DE LA FORMATION

50 % de la formation en entreprise  
50 % de la formation en lycée

### RECRUTEMENT

National  
Entretien de sélection  
Commission d'affectation mixte Lycée - Entreprises réunie fin juin.

### ACCUEIL

Régime étudiant  
Accès possible au restaurant du lycée

### LIEU DE FORMATION

Lycée Charles de Gaulle.

### DOSSIER DE CANDIDATURE

A retirer au Lycée Charles de Gaulle  
B.P. 113 - 31604 Muret  
Joindre une enveloppe 26x33, libellée à votre adresse et affranchie à 4 F 40

### DATE LIMITE DE DEPOT

15 juin 1995

### CERTIFICAT

Une attestation de compétences sera délivrée à l'issue de la formation.

Lycée Charles de Gaulle - 24, avenue Charles de Gaulle  
31604 MURET Cedex - Tél. : 61.51.84.84 - Fax : 61.51.84.77

## Les tubes électroniques

La diode à vide, le plus simple des tubes électroniques, ne comporte que deux électrodes, la cathode, laquelle émet des électrons et l'anode, qui les attire et les capte. Nous allons faire la connaissance de la triode, tube électronique possédant trois électrodes.

**L**e tube triode est un tube diode chez lequel est interposée, entre la cathode et l'anode, une troisième électrode appelée grille, en raison de sa structure.

La grille est en effet constituée d'une petite grille métallique avec des mailles, elle est accessible de l'extérieur du tube par un fil de connexion traversant la paroi de l'ampoule de verre (figure 1).

L'anode de la triode est polarisée positivement par rapport à sa cathode, comme chez la diode, comme chez n'importe quel tube électronique...

La grille de la triode peut être polarisée positivement, ou négativement, par rapport à sa cathode, selon le potentiel qui lui est appliqué, supérieur ou inférieur à celui de la cathode.

Réfléchissons !

La grille se tient à proximité de la cathode, elle est disposée entre la cathode et l'anode.

Si elle est polarisée positivement, par rapport à la cathode, elle attire et capte les électrons, corpuscules élémentaires d'électricité négative émis par la cathode et qui doivent, logiquement, aller rejoindre l'anode.

La grille se comporte alors comme une anode et la triode, en l'occurrence, n'est pas autre chose qu'une simple diode à vide...

Etes-vous bien d'accord avec nous ?

La polarisation positive de la grille de la triode n'offre par conséquent pas grand intérêt et c'est pourquoi la grille d'une triode est, normalement, polarisée négativement par rapport à la cathode...

La grille est disposée entre la cathode et l'anode.

Lorsqu'elle est polarisée négativement, par rapport à la cathode, elle a tendance à repousser les électrons, corpuscules négatifs émis par la cathode, qui cherchent à atteindre l'anode, l'électrode positive qui les attire.

Or la grille, comme son nom l'indique, n'est pas constituée d'une plaque métallique, elle est une... grille, elle présente entre la cathode et l'anode une sorte de trame.

Les électrons, issus de la cathode, doivent obligatoirement passer au travers des mailles de la grille pour atteindre l'anode désireuse de les accueillir.

Si la grille est polarisée négativement (par rapport à la cathode, excusez-nous de le répéter !), les électrons, négatifs, subissent une force de répulsion de la part de cette électrode (elle est polarisée négativement !) et ils ne parviennent à rejoindre l'anode que s'ils sont suffisamment fortement attirés par cette dernière électrode, positive !

En d'autres termes, nous dirons que si l'attraction exercée sur les électrons par l'anode est supérieure à la force de répulsion de la part de la grille envers les mêmes électrons, ces derniers parviennent à l'anode...

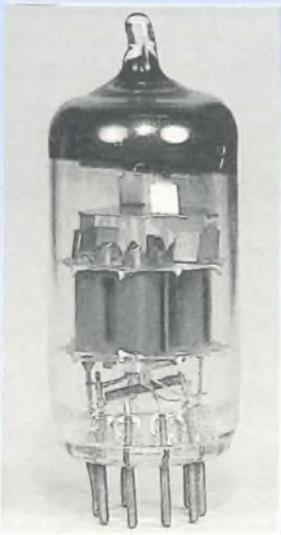
Il est donc aisé de concevoir que le rôle de la grille, dans la triode, est des plus importants, que la grille gouverne le débit des électrons émis par la cathode, qui doivent franchir ses mailles pour atteindre l'anode...

Réfléchissons !

Si la grille est suffisamment négative pour que tous les électrons soient repoussés vers la cathode, aucun de ces derniers n'atteint l'anode, nous disons alors que la diode est polarisée au cut-off.

Aucun électron ne parvenant à

Triode ECC83, l'une des plus utilisées en préamplification.



l'anode, il n'y a donc pas d'échange de charges élémentaires d'électricité entre la cathode et l'anode, la cathode fournissant des électrons se dirigeant vers l'anode et l'anode fournissant en contrepartie autant de lacunes (positives) se rendant à la cathode.

Un tel transit de charge constitue un courant électrique allant de l'anode à la cathode, au sein de la triode...

**Lorsque la grille est polarisée au cut-off, il ne peut y avoir d'échange de charges d'électricité entre la cathode et l'anode de la triode, aucun courant électrique ne passe au sein de la triode.**

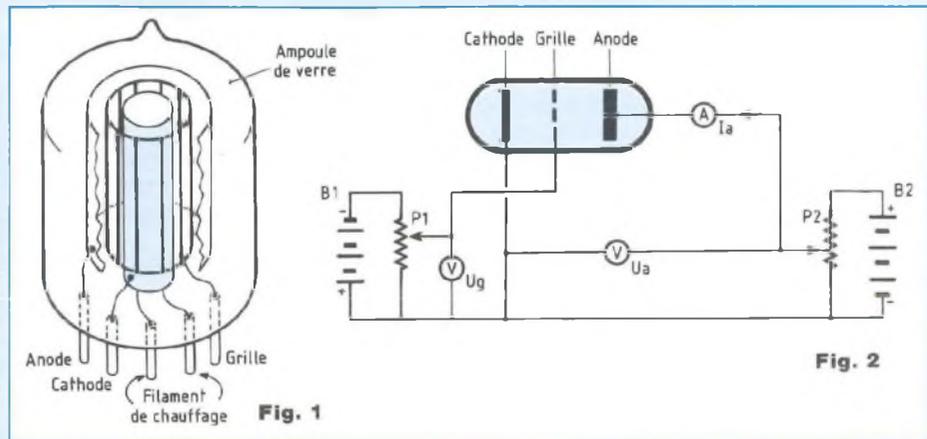
Mais si la grille est moins énergiquement polarisée (négativement), par rapport à la cathode, elle ne repousse alors plus tous les électrons issus de la cathode, certains de ces derniers franchissent les mailles de la grille et parviennent à atteindre l'anode, électrode positive qui les attire.

Donc, si la grille est polarisée au-dessus du cut-off, c'est-à-dire moins négativement qu'à la tension de cut-off, l'échange de charges d'électricité se produit entre la cathode, fournisseuse d'électrons et l'anode, fournisseuse de lacunes, un courant électrique s'établit au sein de la triode, allant de l'anode à la cathode...

Ce courant est appelé **courant anodique**, d'intensité désignée par le symbole  $I_a$ .

Ces considérations nous amènent à conclure que la tension de polarisation, négative, de la grille commande bel et bien le débit des charges élémentaires d'électricité, électrons et lacunes, à l'intérieur de la triode, donc l'intensité du courant (anodique) passant dans la triode.

**La tension de polarisation de la grille gouverne l'intensité du courant anodique passant dans la triode, de l'anode vers la cathode.**



C'est pour cette raison que la grille est appelée, le plus souvent, la grille de commande de la triode...

## PARAMETRES ET CARACTERISTIQUES STATIQUES DE LA TRIODE

Les caractéristiques statiques de la triode sont les courbes représentatives des variations des paramètres tensions et intensités chez la triode, en l'absence de charge anodique.

Explicitons !

Aucune charge, aucune résistance pure, ou impédance n'étant intercalée dans le circuit de l'anode, entre le pôle (+) de la source d'alimentation et l'anode de la triode, nous relevons les caractéristiques (courbes représentatives) des variations de deux paramètres, tout en maintenant constante la grandeur du troisième. Les paramètres en question sont :

- $I_a$ , intensité du courant anodique dans la triode, courant se rendant de l'anode à la cathode.
- $U_a$ , tension anodique, développée entre anode et cathode de la triode.
- $U_g$ , tension de polarisation de la grille de la triode, par rapport à la cathode.

Pour relever les caractéristiques, nous mettons en œuvre le montage

dont la figure 2 nous présente le schéma opératoire.

Le circuit de chauffage (indirect !) de la cathode n'est pas représenté, comme convenu lors de notre précédent entretien, consacré à la diode ! L'alimentation de la triode s'effectue avec le concours de deux sources d'alimentation, désignées B1 et B2.

La source B1 assure la polarisation de la grille, voyons comment !

Le potentiel de la cathode est celui du pôle (+) de la source B1, auquel l'électrode est directement reliée.

Le potentiomètre P1 est connecté avec les bornes de la source d'alimentation B1, il permet, par son curseur, de conditionner à volonté la grandeur de la tension de polarisation de la grille.

Cette tension de polarisation, appliquée à la grille, est moins positive que celle appliquée à la cathode, la grille est donc bien polarisée négativement par rapport à la cathode !

Etes-vous d'accord avec nous ?

La tension de polarisation ( $U_g$ ) de la grille est lue par le voltmètre désigné  $V_g$ .

La grandeur de la tension de polarisation de la grille s'énoncera par exemple :  $U_g = -3$  volts, ou bien :  $-U_g = 3$  volts, cette expression signifiant que la grille est polarisée négativement par rapport à la cathode !

# Les tubes électroniques

Voyons maintenant comment s'effectue l'alimentation anodique de la triode !

Le potentiomètre P2 est connecté, par ses extrémités, avec les bornes de la source B2, dont le pôle (-) est directement relié à la cathode du tube.

Le curseur du potentiomètre P2 permet d'appliquer à l'anode une tension positive par rapport à celle de la cathode.

La grandeur de la tension anodique ( $U_a$ ), tension développée entre anode et cathode de la triode, est conditionnée à volonté, en positionnant le curseur du potentiomètre P2. Sa valeur est lue par le voltmètre désigné  $V_a$ .

Etes-vous bien d'accord avec nous ?

Nous relèverons deux réseaux de caractéristiques statiques :

— le réseau  $i_a = f(U_a)$ , à  $U_g$  constante ;

**Le réseau  $i_a = f(U_a)$ , à  $U_g$  constante est l'ensemble, la famille des courbes représentatives des variations de l'intensité du courant anodique  $i_a$ , en fonction des différentes valeurs données à la tension anodique  $U_a$ , pour des valeurs différentes, mais constantes, données à la tension  $U_g$  de polarisation de la grille.**

**Le réseau  $i_a = f(U_g)$ , à  $U_a$  constante est l'ensemble, la famille des courbes représentatives des variations de l'intensité du courant anodique  $i_a$ , en fonction des valeurs différentes données à la tension  $U_g$  de polarisation de la grille, pour des valeurs différentes, mais constantes, données à la tension anodique  $U_a$ .**

## CARACTERISTIQUES

### $i_a = f(U_a)$ , A $U_g$ CONSTANTE

Commençons par nous intéresser à ces courbes caractéristiques ! Elles sont reproduites par la figure 3.

En remarquant leur parallélisme et leur linéarité, nous constaterons que toutes ces courbes résultent de la translation, vers la droite, de la courbe  $i_a = f(U_a)$ , pour  $U_g = 0$  volt.

Cette courbe correspond précisément à une tension de polarisation de la grille nulle ( $U_g = 0$  volt), c'est-à-dire lorsque la grille est soumise au même potentiel que la cathode, condition réalisée lorsque le curseur du potentiomètre P1 est positionné en butée, du côté du pôle (+) de la source d'alimentation B1.

Nous remarquerons que pour maintenir une intensité donnée du courant anodique  $i_a$ , plus la tension de polarisation de la grille  $U_g$  est poussée, plus il faut augmenter la tension anodique  $U_a$  !

Dans l'exemple présenté (réseau reproduit par la figure 3), pour maintenir l'intensité du courant anodique  $i_a$  à la valeur de 10 milliampères, il convient que la tension anodique  $U_a$  soit de 150 volts, si la tension de polarisation de la grille  $U_g$  est de -1 volt.

Mais il faut pousser la tension anodique  $U_a$  à 300 volts si la tension de polarisation de la grille est de -3 volts...

Voilà qui s'explique fort bien, comme vous allez le voir !

Le courant anodique est constitué d'électrons se rendant de la cathode à l'anode, l'intensité du courant anodique est par conséquent d'autant plus grande que le nombre de ces électrons est important !

Cela est absolument évident, non ? Plus la grille est polarisée négativement (-3 volts au lieu de -1 volt), plus elle repousse énergiquement les électrons, en direction de la cathode, dont ils proviennent...

Nous avons vu que pour que les électrons échappent à l'action répulsive de la grille, il convient que l'anode exerce sur eux des forces d'attraction leur permettant de vaincre l'opposition montrée à leur passage, par la grille négative, alors

qu'ils se rendent vers l'anode.

Plus le potentiel positif de l'anode est élevé, plus l'anode attire les électrons, plus le courant anodique est important, en intensité.

Mais plus la grille est polarisée négativement, plus elle repousse les électrons...

Aussi il est nécessaire d'augmenter la tension anodique  $U_a$  pour maintenir constant le débit d'électrons, en d'autres termes pour maintenir constante l'intensité du courant anodique  $i_a$ , si nous poussons la polarisation de la grille, si nous rendons plus négative la tension  $U_g$  de la polarisation de la grille de commande...

## RESISTANCE INTERNE

### DE LA TRIODE

Tout comme dans le cas de la diode (notre précédent entretien), nous pouvons définir une résistance interne de la triode, paramètre désigné par  $\rho$ .

**La résistance interne  $\rho$  de la triode est définie, pour une tension de polarisation  $U_g$  de la grille donnée, par le rapport d'une variation  $\Delta U_a$ , de la tension anodique, à la variation correspondante  $\Delta i_a$ , de l'intensité du courant anodique.**

$$\rho = \frac{\Delta U_a}{\Delta i_a}, \text{ pour } U_g \text{ donnée}$$

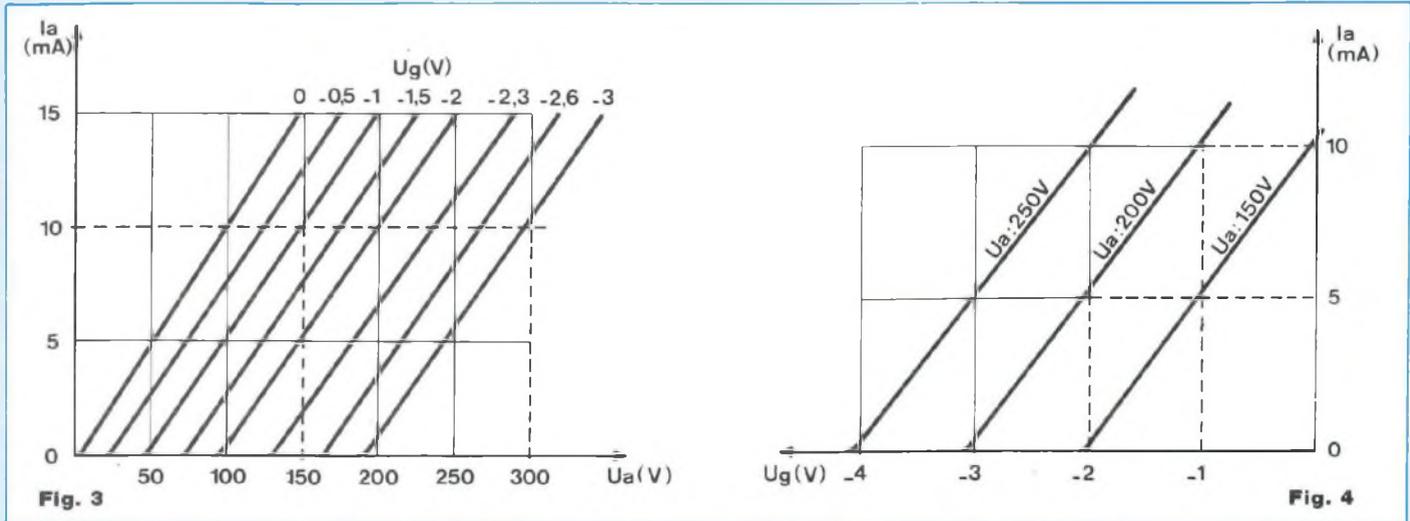
Prenons un exemple de relevés !

$$U_g = -5 \text{ volts, } U_a = 150 \text{ volts, } i_a = 5 \text{ milliampères}$$

$$U_g = -5 \text{ volts, } U_a = 160 \text{ volts, } i_a = 10 \text{ milliampères}$$

Lorsque, pour une tension grille  $U_g$  de grandeur -5 volts, la tension anodique  $U_a$  passe de 150 à 160 V, soit un  $\Delta U_a$  de  $160 - 150 = 10$  volts, l'intensité du courant anodique  $i_a$  passe de 5 à 10 mA, soit 0,005 ampère.

Dans les conditions de l'exemple, le rapport  $\frac{\Delta U_a}{\Delta i_a}$  a pour valeur  $\frac{10 \text{ V}}{0,005 \text{ A}}$



= 2 000 ohms.

Le rapport d'une tension, grandeur exprimée en volts, à une intensité, grandeur exprimée en ampères, a bien le caractère d'une résistance, grandeur exprimée en ohms...

La triode de l'exemple offre une résistance interne  $\rho$  de grandeur 2 000 ohms, pour une tension de polarisation de grille  $U_g$  de valeur -5 volts, condition à ne pas oublier de préciser !

## CARACTERISTIQUES'

### $I_a = f(U_g)$ , A $U_a$ CONSTANTE

Nous considérons maintenant le second réseau de courbes caractéristiques.

Le montage opératoire que nous venons d'utiliser, conforme au schéma que nous présente la figure 2, sert également au relevé de ces caractéristiques, lesquelles sont la traduction graphique, nous le répétons, des variations de l'intensité du courant anodique, en fonction des variations correspondantes de la tension de polarisation de la grille  $U_g$ , pour des valeurs différentes, mais constantes, données à la tension anodique  $U_a$ .

Reportons-nous ensemble à la figure 4, qui reproduit ces courbes représentatives !

Nous remarquons tout de suite le parallélisme et la linéarité de ces courbes  $I_a = f(U_g)$ , à  $U_a$  constante. Mais leur examen nous révèle que de faibles variations du potentiel de la grille engendrent des variations importantes de la grandeur de l'intensité du courant anodique !

Par exemple, pour une tension anodique ( $U_a$ ) tension développée entre anode et cathode, de grandeur 200 volts, nous voyons que, lorsque le potentiel de la grille passe de -2 volts à -1 volt, l'intensité  $I_a$  du courant anodique passe à 5 à 10 milliampères...

Une telle constatation est très importante à nos yeux, il nous apparaît ici que la triode possède des propriétés amplificatrices !

Il nous suffit de faire varier le potentiel de sa grille pour provoquer des variations importantes, mais proportionnelles (!), de l'intensité de son courant anodique.

La triode est donc capable d'amplifier un signal injecté dans sa grille ! Intéressant, non ?

Nous étudierons (c'est promis, ayez

la patience !) cette remarquable propriété lorsque nous en serons à la mise en œuvre de la triode, comme nous l'avons pratiqué avec nos transistors.

Les importantes variations de l'intensité du courant anodique engendreront dans la résistance (ou impédance) de charge que nous intercalerons dans le circuit d'anode, résistance parcourue par le courant anodique, des variations de chute de tension qui sont la réplique, amplifiée, des variations du potentiel de grille !

A l'examen des caractéristiques  $I_a = f(U_g)$ , à  $U_a$  constante (figure 4), nous remarquons encore que, pour une tension anodique  $U_a$  donnée, le courant anodique ne prend naissance au sein de la triode que lorsque le potentiel de la grille atteint et franchit une certaine grandeur, qui est la tension de cut-off, tension particulière que nous avons définie précédemment.

Sur le réseau de caractéristiques (même figure 4) nous voyons que le potentiel de la grille doit être supérieur à -3 volts pour qu'apparaisse un courant anodique au sein de la triode.

# Les tubes électroniques

La tension de cut-off est donc de - 3 volts, pour la triode de l'exemple, lorsque sa tension anodique est de 200 volts, condition à ne pas oublier de préciser !

Toutes ces choses ne devraient pas vous sembler compliquées, leur compréhension ne demande en fait qu'un peu d'attention.

Il nous arrive souvent de nous répéter et nous craignons parfois de vous lasser...

Nous cherchons en réalité à soulager votre concentration d'esprit et nous n'avons pas trouvé d'autre moyen, nous espérons que vous voudrez bien nous en excuser...

## RESEAU COMPLET DES CARACTERISTIQUES

Il est aussi commode qu'avantageux de réunir, en un seul et même graphique, le réseau des caractéristiques  $I_a = f(U_a)$ , à  $U_g$  constante et le réseau des caractéristiques  $I_a = f(U_g)$ , à  $U_a$  constante, comme nous le montre la figure 5.

Dans la partie de gauche du graphique nous retrouvons le réseau  $I_a = f(U_g)$ , à  $U_a$  constante, cependant que le réseau  $I_a = f(U_a)$ , à  $U_g$  constante occupe la partie de droite de la même figure 5.

Sur ce dernier réseau (à droite) a été tracée l'**hyperbole de dissipation de puissance maximale**.

Il est bien évident que la triode est le siège du développement d'une certaine puissance, n'allons surtout pas croire que l'effet Joule oublierait ici de se manifester, ce serait vraiment naïf de notre part !

La puissance développée chez la triode a pour valeur le produit de la tension anodique  $U_a$  par l'intensité du courant anodique  $I_a$ .

Cette puissance développée est appelée **puissance anodique**, expression qui ne devrait pas vous surprendre...

Elle est désignée par le symbole  $P_a$ .

$$P_a = U_a \cdot I_a$$

Elle est exprimée en watts, si la tension anodique  $U_a$  est exprimée en volts et si l'intensité du courant anodique  $I_a$  est exprimée en ampères.

Pour chaque tube électronique proposé sur le marché (comme pour chaque transistor d'ailleurs !), le fabricant indique, dans la note technique d'accompagnement, une puissance anodique maximale admissible.

Il convient absolument de limiter la puissance anodique développée chez tout tube électronique s'entend, au-dessous de cette valeur maximale indiquée, sous peine d'endommager le tube, voire de lui faire connaître une fin prématurée !

Les anciens qui, par maladresse, ont "surchauffé" leurs "lampes", sont toujours restés très discrets quant à de tels exploits, ne vous moquez donc pas !

## CONSTRUCTION D'UN RESEAU COMPLET

### A PARTIR DE L'UN

### DES DEUX RESEaux

Disposant de l'un des deux réseaux de caractéristiques statiques, par exemple du réseau  $I_a = f(U_a)$ , à  $U_g$  constante, dessiné dans la partie de droite de la figure 5, il est bien facile de tracer l'autre réseau, celui des caractéristiques  $I_a = f(U_g)$ , à  $U_a$  constante, représenté dans la partie de gauche de la même figure 5...

Partant, dans la partie de droite du graphique, du point figuratif 150 volts, sur l'échelle horizontale (abscisse) des tensions anodiques  $U_a$ , nous "montons" verticalement jusqu'au point A, où cette verticale rencontre la courbe  $I_a = f(U_a)$ , pour  $U_g = -2,5$  volts.

Le graphique nous dit que, lorsque la tension anodique  $U_a$  est de 150 volts, si la tension grille est de - 2,5 volts, l'intensité du courant anodique est alors de 10 milli-ampères.

Cette grandeur se lit sur l'échelle verticale (ordonnée) des intensités anodiques  $I_a$ , au point d'intersection de la droite horizontale passant par le point A avec l'échelle verticale des intensités  $I_a$ .

Prolongeons, vers la gauche, cette droite horizontale passant par le point A, jusqu'au point A', où elle rencontre, dans la partie de gauche du graphique, la verticale issue du point  $U_g = -2,5$  volts, figuré sur l'échelle horizontale (abscisse) des grandeurs  $U_g$ . Le point figuratif A' correspond à une valeur  $I_a = 10$  mA, pour une grandeur  $U_a = 150$  V, avec  $U_g = -2,5$  V.

Est-ce vu ?

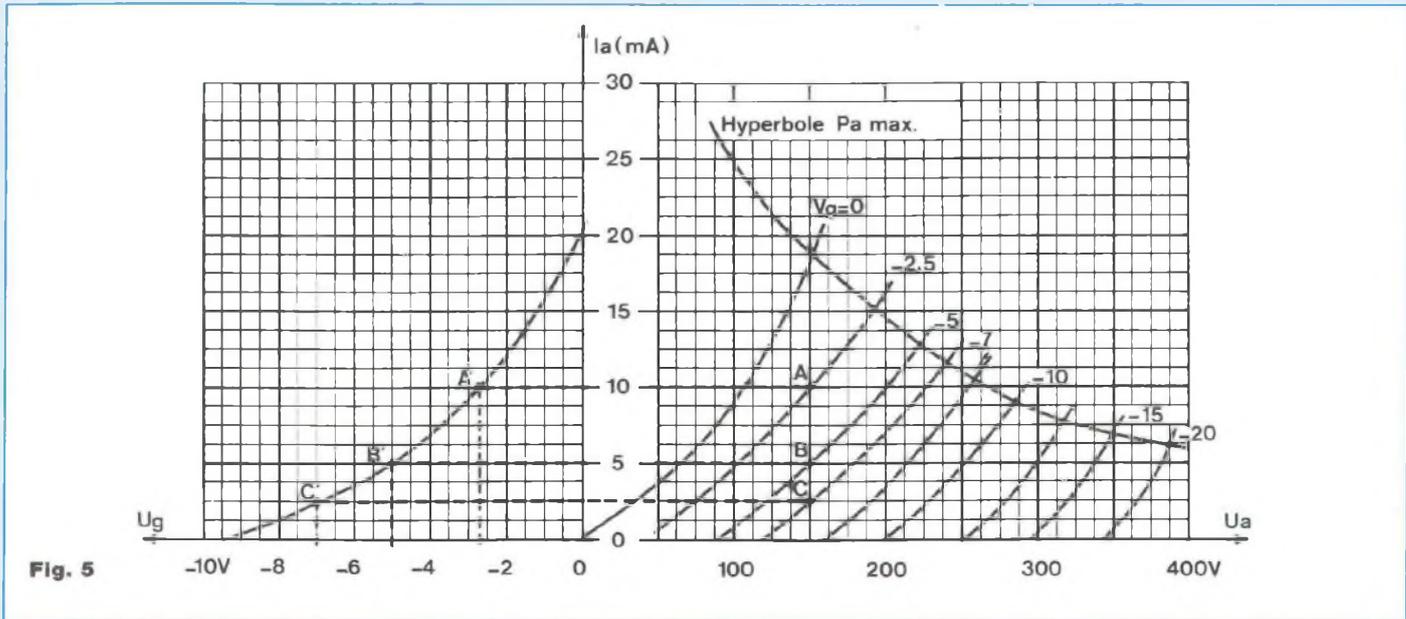
Le point figuratif A' est situé sur la caractéristique  $I_a = f(U_g)$ , pour  $U_a = 150$  V, lorsque la valeur de  $U_g$  est de - 2,5 V.

Le point A' est donc un point de la caractéristique  $I_a = f(U_g)$ , pour  $U_a = 150$  V...

A partir du point  $U_a = 150$  volts, situé sur l'échelle des tensions anodiques  $U_a$ , du réseau  $I_a = f(U_a)$ , à  $U_g$  constante, dans la partie de droite du graphique de la figure 5, nous déterminerons les autres points B, C, etc., correspondant aux valeurs des tensions de grille de - 5 V, - 7,5 V, etc., et nous pourrons, par le même procédé de construction graphique, déterminer les points B', C', etc., qui sont tous situés sur la caractéristique  $I_a = f(U_g)$ , pour  $U_a = 150$  V, dans la partie de gauche du graphique de la figure 5.

C'est par ce moyen que nous tracerons, que nous obtiendrons la caractéristique  $I_a = f(U_g)$ , pour différentes valeurs prises par la tension grille  $U_g$ , cela pour une tension anodique  $U_a$  de grandeur, constante, de 150 V...

En recommençant les mêmes constructions graphiques, à partir de différents points situés sur l'échelle  $U_a$  du réseau  $I_a = f(U_a)$ , à  $U_g$  constante, nous tracerions les différentes courbes représentatives du réseau  $I_a = f(U_g)$ , à  $U_a$  constante, cela pour cha-



cune des valeurs choisies sur l'échelle  $U_g$ .

Nous disposerions alors du réseau  $I_a = f(U_g)$ , pour des valeurs différentes, mais constantes, de la tension anodique  $U_a$ , qui est le réseau dessiné dans la partie de gauche du graphique complet...

Il est bien évident que, par le même procédé, dans le sens inverse de construction graphique, nous pourrions tout aussi bien, à partir du réseau  $I_a = f(U_g)$ , à  $U_a$  constante, de la partie de gauche du graphique, que nous posséderions, tracer le réseau  $I_a = f(U_a)$ , à  $U_g$  constante, dans la partie de droite du graphique complet...

### PENTE DE LA TRIODE

Nous allons maintenant introduire dans notre raisonnement un nouveau paramètre, celui de la pente  $s$  de la triode...

**La pente  $s$  d'une triode est exprimée par le rapport de l'accroissement  $\Delta I_a$  de l'intensité du courant anodique à l'accroissement  $\Delta U_g$  du potentiel de**

**polarisation de la grille qui en est la cause, la tension anodique ne variant pas.**

$$s = \frac{\Delta I_a}{\Delta U_g} \text{ pour } U_a \text{ donnée.}$$

La pente est donc le rapport d'une grandeur intensité, normalement exprimée en ampères, à une grandeur tension, normalement exprimée en volts.

Cependant, pour la commodité, pour "travailler" avec des nombres comportant peu de décimales, il est convenu d'exprimer la pente en milliampères par volt, ce langage étant tellement plus pratique !

Si, pour une valeur donnée de la tension anodique  $U_a$ , une variation de 2 volts du potentiel  $U_g$  de grille provoque une variation de 10 mA du courant anodique  $I_a$ , la pente  $s$  de la triode considérée, pour la valeur particulière de la tension anodique donnée, a pour valeur :

$$s = \frac{10 \text{ mA}}{2 \text{ V}} = \frac{5 \text{ mA}}{1 \text{ V}}$$

5 milliampères par volt.

Si nous prenions l'ampère comme base d'expression, la grandeur de la pente de la triode de l'exemple s'énoncerait :

$$s = 0,005 \text{ ampère par volt.}$$

Nous vous laisserons juges de la commodité du langage !

### COEFFICIENT D'AMPLIFICATION DE LA TRIODE

Précédemment, nous avons découvert qu'une variation  $\Delta U_g$  du potentiel de la grille engendre une variation importante  $\Delta I_a$  de l'intensité du courant anodique, au sein de la triode.

Nous apprendrons ensemble à exploiter cette propriété, en étudiant l'amplification.

Réfléchissons !

Un signal injecté entre la grille et la cathode modifie le potentiel de la grille, dont il résulte une variation de l'intensité du courant anodique.

Ces variations d'intensité anodique

# Les tubes électroniques

LA TRIODE (1<sup>ère</sup> PARTIE)

engendrent, dans une résistance (ou impédance) de charge intercalée entre le pôle (+) de la source d'alimentation et l'anode, des chutes de tension variant à l'image du signal injecté.

Nous avons étudié, avec les transistors (ouvrage "A la recherche de l'Electronique", tome II, éditions Fréquences), la fonction amplificatrice, nous verrons que les méthodes mises en œuvre avec la triode sont identiques...

Nous savons qu'une variation  $\Delta I_a$  de l'intensité du courant anodique peut, également, être engendrée par une variation  $\Delta U_a$  de la tension anodique, rappelons-nous ce que nous avons vu à propos de la résistance interne  $\rho$ .

Nous pouvons donc comparer une variation  $\Delta U_a$  de la tension anodique, qui correspondrait à une variation  $\Delta I_a$  de l'intensité du courant anodique, à la variation  $\Delta U_g$  de la tension de polarisation de la grille, qui provoquerait la même variation  $\Delta I_a$  de l'intensité du courant anodique.

Un tel rapport, de deux variations de grandeurs tensions, est un nombre "sans dimension".

**Le nombre qui traduit de combien de fois la variation  $\Delta U_a$  de la tension anodique est plus importante que la variation correspondante  $\Delta U_g$  de la tension de polarisation de la grille est le paramètre appelé coefficient d'amplification de la triode, désigné par K.**

$$K = \frac{\Delta U_a}{\Delta U_g}, \text{ pour } \Delta I_a \text{ donnée.}$$

## EQUATION FONDAMENTALE DE LA TRIODE

Formons le produit  $\rho \times s$ , produit de

la résistance interne  $\rho$ , de valeur  $\frac{\Delta U_a}{\Delta I_a}$ , par la pente  $s$ , de valeur  $\frac{\Delta I_a}{\Delta U_g}$ .

$$\rho \cdot s = \frac{\Delta U_a}{\Delta I_a} \cdot \frac{\Delta I_a}{\Delta U_g}$$

Les termes  $\Delta I_a$  disparaissent et il nous reste :

$$\rho \cdot s = \frac{\Delta U_a}{\Delta U_g}$$

Comme nous savons que le coefficient d'amplification K est exprimé par le rapport  $\frac{\Delta U_a}{\Delta U_g}$ , nous avons donc :

$$K = \rho \cdot s$$

Cette intéressante formule permet d'évaluer le coefficient d'amplification d'une triode, connaissant sa résistance interne  $\rho$  et sa pente  $s$ , paramètres qui sont toujours indiqués par le fabricant !

Si nous produisons simultanément un accroissement  $\Delta U_a$  de la tension anodique et un accroissement  $\Delta U_g$  de la tension grille, le courant anodique la subit un accroissement qui a pour grandeur la somme des accroissements élémentaires provoqués par chacune des causes considérée seule, mais si, mais si !

Appelons  $\Delta I_a$  la variation totale de l'intensité du courant anodique.

Cette variation  $\Delta I_a$  est la somme de la variation élémentaire  $\Delta I_{a1}$  (du courant anodique) due à l'accroissement  $\Delta U_a$  de la tension anodique et de la variation élémentaire  $\Delta I_{a2}$  (du courant anodique) due à l'accroissement  $\Delta U_g$  de la tension grille.

$$\Delta I_a = \Delta I_{a1} + \Delta I_{a2}$$

Par définition de la résistance interne  $\rho$  de la triode :

$$\rho = \frac{\Delta U_a}{\Delta I_{a1}}$$

lorsque la tension anodique croît, seule, de  $\Delta U_a$ , l'accroissement de l'intensité du courant anodique a alors pour valeur  $\Delta I_{a1}$ .

Nous écrivons :

$$\rho = \frac{\Delta U_a}{\Delta I_{a1}}$$

ce qui nous donne :

$$\Delta I_{a1} = \frac{\Delta U_a}{\rho}$$

Par définition de la pente  $s$  de la triode,  $s = \frac{\Delta I_a}{\Delta U_g}$ , lorsque la tension de grille croît, seule, de  $\Delta U_g$ , l'accroissement de l'intensité du courant anodique est alors de  $\Delta I_{a2}$ .

Nous écrivons :

$$s = \frac{\Delta I_{a2}}{\Delta U_g}$$

ce qui nous donne :

$$\Delta I_{a2} = s \cdot \Delta U_g$$

En cas de variations simultanées  $\Delta U_a$ , de la tension anodique et  $\Delta U_g$ , de la tension grille, la variation  $\Delta I_a$  de l'intensité du courant anodique a pour valeur la somme des variations élémentaires

$$\Delta I_{a1} + \Delta I_{a2}$$

Nous avons donc :

$$\Delta I_a = \Delta I_{a1} + \Delta I_{a2},$$

avec  $\Delta I_{a1} = \frac{\Delta U_a}{\rho}$ ,

et  $\Delta I_{a2} = s \cdot \Delta U_g$

Donc

$$\Delta I_a = \left( \frac{\Delta U_a}{\rho} \right) + (s \cdot \Delta U_g)$$

Multiplions tous les termes par  $\rho$ , nous avons :

$$\rho \Delta I_a = \rho \frac{\Delta U_a}{\rho} + (\rho \cdot s \cdot \Delta U_g)$$

Comme nous savons que  $K = \rho \cdot s$ , nous obtenons :

$$\rho \cdot \Delta I_a = \Delta U_a + (K \cdot \Delta U_g)$$

Cette relation est l'équation fondamentale de la triode.

Nous venons d'étudier les caractéristiques statiques de la triode, nous avons défini ses paramètres, nous avons établi son équation fondamentale.

Nous pouvons maintenant, comme promis, passer à l'exploitation de ses propriétés amplificatrices, ce qui devrait vivement vous intéresser !

à suivre...

Georges Matoré

# INITIATION AUX AMPLIS À TUBES

de Jean Hiraga



Mieux qu'une simple initiation aurait pu le faire, cet ouvrage tant attendu évoque bien une encyclopédie didactique de l'amplification à tubes menée sous la plume alerte et à la curiosité pertinente du maître français en la matière : Jean Hiraga. Il récidive avec un sujet qu'il connaît et traite avec le même brio que "les haut-parleurs" où historique, théorie, illustrations nombreuses et inédites voisinent en parfaite harmonie. Pour tout savoir sur les tubes audio, pour saisir leur actualité encore bien chaude, il est désormais un ouvrage consacré à cette seule science. Qu'on se le dise !

Diffusion auprès des libraires assurée exclusivement par les Editions Eyrolles  
Bon de commande à retourner à

**EMPPS**

DÉPARTEMENT EDITIONS FRÉQUENCES,  
1 Bd Ney 75018 Paris

Je désire recevoir Initiation aux Amplis à tubes au prix de 182 F (170 F + 12 F de port)  
ci-joint mon règlement par chèque bancaire ou CCP

NOM : .....

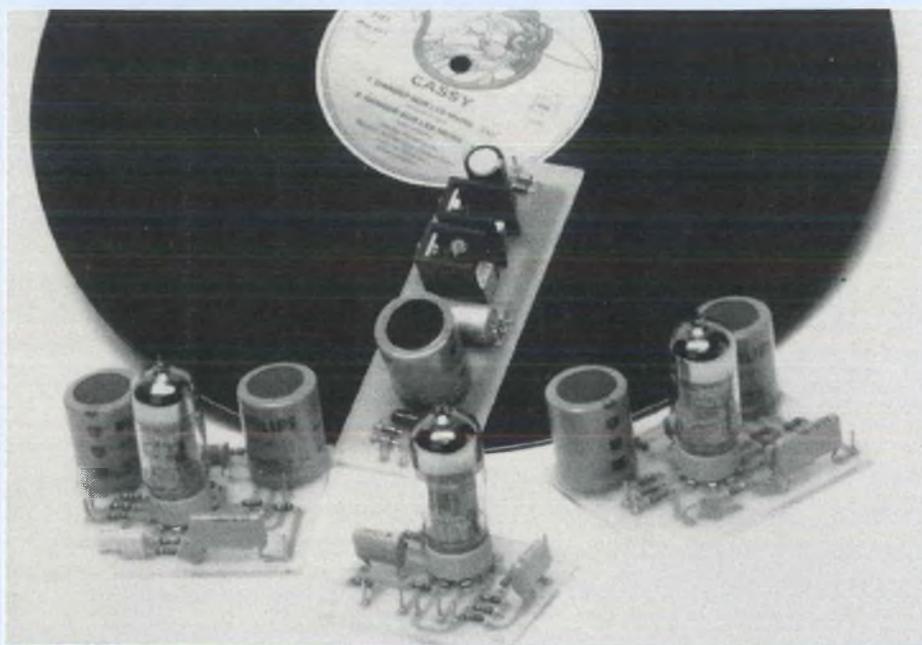
PRÉNOM : .....

ADRESSE : .....

CODE POSTAL : .....

VILLE : .....

## PREAMPLIFICATEURS A TUBES AVEC TRIODES ECC 83



Comme nous le mentionnions dans notre n° 126, les préamplificateurs à tubes sont devenus de plus en plus rares sur le marché international de la haute-fidélité. Ce sont des maillons de haut de gamme dont le prix atteint et dépasse même parfois les 10 000 F. La conception et la réalisation d'un préamplificateur à tubes sont beaucoup moins difficiles que l'on pourrait croire. Le câblage est plus aéré que dans un montage transistorisé, une double triode ECC 83 par exemple occupant en effet une surface d'implantation sur le circuit imprimé beaucoup plus importante qu'un double transistor encapsulé dans un boîtier TO5. Si l'on s'en tient à l'usage de tubes de standard Noval encore disponibles aujourd'hui chez bon nombre de revendeurs de pièces détachées, la réalisation pratique d'un préamplificateur ne doit pas poser de problèmes, d'autant moins d'ailleurs que le tube resurgit ces derniers temps en force dans le domaine de la haute-fidélité à notre grande satisfaction. Les lecteurs qui ont eu l'occasion de se rendre au salon Hi-Fi 95 au Palais des Congrès de Paris au mois de mars auront pu le constater.

**O**n a trop tendance à croire que l'évolution des techniques est toujours positive et que les nouveaux produits mis à notre disposition doivent inévitablement détrôner et enterrer ceux existants, puisque plus performants... Si c'est vrai avec les transistors et les circuits intégrés dans le domaine de l'électronique en général et de l'informatique en particulier, il n'en est rien dans celui qui nous intéresse, la Hi-Fi, l'audio, le son.

Citons également le cas des CD qui remplacent depuis une bonne dizaine d'années les disques vinyles et qui n'ont de vraiment positif que le fait qu'ils n'aspirent pas la poussière et qu'il ne faille pas les retourner. Laissons de côté l'aspect commercial qui est, lui, très positif ! Du point de vue purement musical, nous n'écoutons plus que de la musique synthétique, artificielle, de la musique sans vie, froide, certes parfois spectaculaire à fort niveau mais manquant cruellement d'informations, de micro-informations à faible niveau.

Comme le soulignait M. Matoré dans notre précédent numéro, à juste titre, en abordant son cours sur les tubes électroniques : "si les transistors avaient été inventés d'abord, au lieu des "lampes", l'apparition des tubes eût été accueillie à grands bravos..."

Pendant des dizaines d'années on a parlé de nostalgie, les "tubes à papa", sans prendre le temps d'écouter (ou de pouvoir écouter) les différences flagrantes de restitution d'une quelconque œuvre musicale au travers d'un ampli à transistors puis d'un ampli à lampes.

Beaucoup de musiciens professionnels ont su, eux, faire la différence de tout temps et préférèrent toujours jouer sur des amplis "à lampes", le "son tubes", disent-ils.

Pour vous donner l'occasion d'apprécier vous aussi les qualités des tubes, nous allons vous proposer quelques montages, de quoi

# LE RETOUR AUX SOURCES

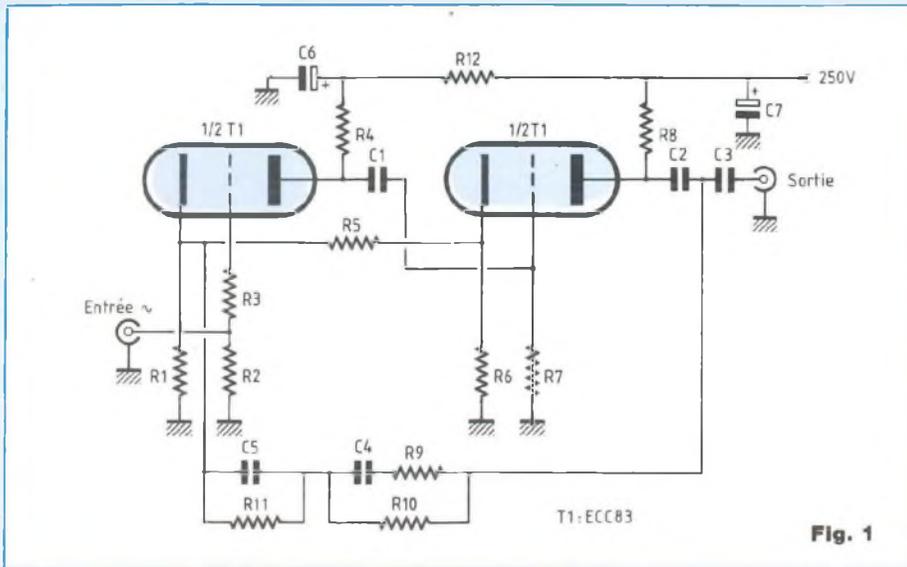


Fig. 1

vous équiper sans vous ruiner et vous permettre de comparer : tubes ou transistors... Pour nous, le choix est fait !

## LE TUBE ECC83 EN PREAMPLIFICATION

### • CORRECTEUR RIAA POUR CELLULE MAGNETIQUE

Cet étage amplificateur en tension est équipé d'un tube ECC83, une double triode comme l'indique la figure 1. Le signal de faible amplitude est appliqué sur la grille du premier étage comme il se doit, celle-ci est polarisée par les résistances R2 et R3. La résistance de charge est de 47 k $\Omega$  (R2), valeur typique pour une cellule magnétique.

La cathode est polarisée par R1, une résistance de 2,2 k $\Omega$  tandis que l'anode est chargée par R4 de valeur 220 k $\Omega$ .

Une cellule de filtrage R12/C6 permet d'obtenir une haute tension de 270 V.

L'anode (ou plaque) étant donc polarisée à un potentiel élevé, le condensateur C1 permet de prélever le signal alternatif amplifié afin de l'appliquer sur la grille de l'autre demi-ECC83 tout en bloquant la tension continue. Cette deuxième grille

est polarisée par une résistance de valeur beaucoup plus élevée, R7 - 1 M $\Omega$ .

La résistance de cathode R6 descend à 1,2 k $\Omega$  et celle d'anode R8 à 100 k $\Omega$ .

La haute tension est ici de 280 V. Les condensateurs de filtrage C6 et C7 permettent d'obtenir de ce préamplificateur un excellent rapport signal/bruit et une excellente stabilité.

Les condensateurs C2 et C3, tout comme le fait C1, permettent de stopper le continu. Ils laissent travailler correctement la contre-réaction sélective composée des deux cellules R-C dont le rôle, rappelons-le, est d'amplifier les basses fréquences et d'atténuer les fréquences élevées selon un standard R.I.A.A.

Les fréquences d'interventions sont situées à 50 Hz, 500 Hz et 2 120 Hz.

Les cathodes sont couplées entre elles par la résistance R5 - 120 k $\Omega$  qui assure une réaction positive.

Les faibles signaux alternatifs fournis par la cellule magnétique (de l'ordre de 5 mV) sont appliqués aux bornes de la résistance R2. Ils vont modifier le potentiel de cette grille. Il en résulte une variation du courant anodique et donc inévitablement

une variation de la tension anodique, tension aux bornes de la résistance de charge R4. Le deuxième étage est identique, le signal alternatif amplifié une première fois est appliqué aux bornes de la résistance de polarisation de la grille de l'autre demi-triode ECC83. La valeur de cette résistance R7 est 20 fois plus élevée que pour le premier étage, puisque portée à 1 M $\Omega$ .

Les variations  $\Delta U_g$  vont se répercuter aux bornes de la résistance de plaque R8 et engendrer une tension  $\Delta U_a$  qui est prélevée par les condensateurs C2 et C3. Disons plutôt que ces condensateurs se laissent traverser par le signal alternatif et qu'ils bloquent la tension continue présente sur l'anode.

A peu de choses près, cet étage est identique à celui que nous vous avons proposé dans notre n° 126, section R.I.A.A. du préamplificateur Dynaco PAS. Bien que simple, ce circuit donne d'excellentes performances.

### • CORRECTION LINEAIRE POUR MICROPHONE

Ce même étage peut également servir à l'amplification de signaux issus d'un microphone (guitare électrique par exemple).

Dans ce cas, il n'y a pas lieu de modifier l'amplification du signal en fonction de la fréquence, comme c'est le cas pour la lecture d'un disque vinyl. Il faut donc supprimer les condensateurs C4 et C5. La contre-réaction devant être de 39 k $\Omega$ , il suffit simplement de garder la résistance R10, remplacer R11 par un strap et ôter les éléments C5, C4, R9.

### • REALISATION DU MODULE PREAMPLIFICATEUR

— Le circuit imprimé

Celui-ci vous est proposé à la figure 2 à l'échelle 1, donc directement reproductible. Comme nous l'avons mentionné en début d'article, le tube permet des implantations aérées, nous le constatons ici. Les pistes sont larges et cette implantation ne pose aucun problème de gravure. Le circuit est prévu pour un étage de



# LE RETOUR AUX SOURCES

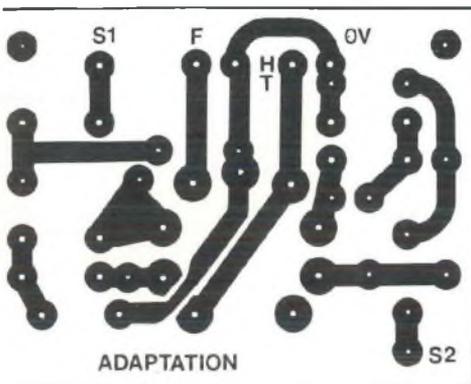


Fig. 5

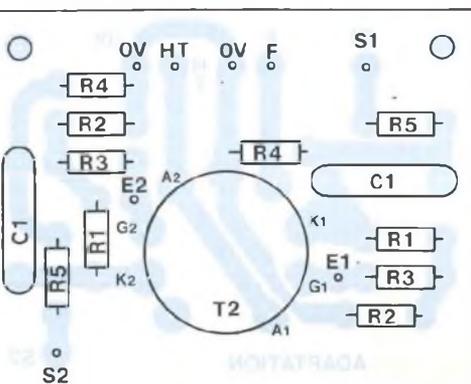


Fig. 6

**Nota :** Pour la réalisation d'un préamplificateur micro, les composants R9, R11, C4 et C5 sont à supprimer. Ne pas oublier de mettre un strap à la place de R11.

Pour optimiser les performances de cette réalisation, il est préférable de n'utiliser que des résistances à couche métallique, si possible le modèle 1 watt. Elles sont disponibles à Paris chez Saint Quentin Radio.

Le module câblé et vérifié (bonnes valeurs en fonction de la nomenclature), dissoudre la résine au trichloréthylène et pulvériser une couche de vernis.

## L'ECC83 EN CATHODE FOLLOWEUR

Le circuit amplificateur en tension proposé précédemment présente inévitablement une impédance de sortie élevée peu souvent compatible avec les étages suivants à piloter. La solution très simple est de raccorder notre première étude à un "suiveur cathodique". Le schéma vous est proposé à la figure 4. Il s'agit d'un "plaque à la masse" comparable à un collecteur commun chez le transistor. Ici pas de résistance de plaque, l'anode est directement reliée à la haute tension. C'est un amplificateur à résistance négative de tension (RNT), série pour laquelle le gain en tension  $\beta$  est égal à 1. La résistance négative est donc totale.

L'impédance de sortie résulte de l'association parallèle de  $\rho$  et de la résistance de charge  $R_k$  :

$$Z_s = \frac{\rho R_k}{\rho + R_k(1 + K)}$$

avec :

$\rho$  : résistance interne du tube ;

K : coefficient d'amplification égal à  $\rho.S$ .

Le montage présente donc une impédance d'entrée très grande et une impédance de sortie très faible, ce que nous recherchons.

Ce schéma a été utilisé entre autres par Marantz.

### • REALISATION DU MODULE

#### — Le circuit imprimé

Il vous est proposé en figure 5. Comme le tube ECC83 est une double triode, ce montage a été étudié pour une version stéréophonique.

Peu de composants sont nécessaires au bon fonctionnement de cet étage adaptateur, la surface du C.I. est donc réduite.

#### — Le câblage

Le plan de câblage de la figure 6 doit

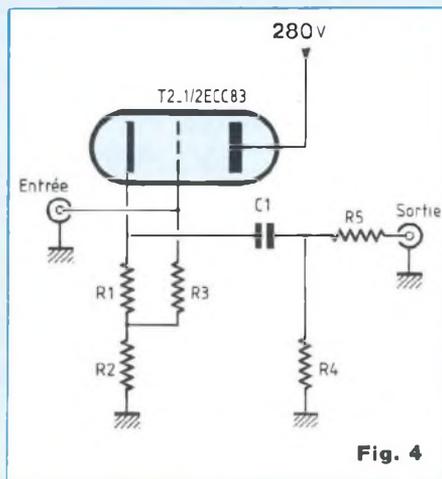


Fig. 4

vous permettre de mettre en place et de souder tous les composants sans erreur.

Comme le module est stéréophonique, nous retrouvons deux fois les mêmes repères mais évidemment une seule fois dans la nomenclature. Ici encore, utilisez des composants de qualité même si ce module n'a pas de vocation amplificatrice.

## L'ALIMENTATION HAUTE ET BASSE TENSION

Les tubes électroniques nécessitent deux tensions d'alimentation, dont l'une, la basse tension, est réservée au chauffage des filaments des ECC83.

Nous avons vu dans notre n° 126 que le chauffage des filaments est un point important à ne pas négliger et que les meilleurs résultats sont obtenus en leur appliquant une tension continue plutôt qu'alternative.

Le brochage de cette double triode vous est rappelé en figure 7. Trois broches permettent d'accéder aux filaments dont une mentionnée PM ne sert que pour le chauffage en 6,3 V. Une tension de 12 V est, elle, directement applicable aux broches F, c'est cette solution que nous avons choisie pour nos modules.

Le schéma de notre alimentation vous est proposé en figure 8. La stabilisation est identique pour la haute

# PREAMPLIFICATEURS A TUBE TRIODE ECC 83

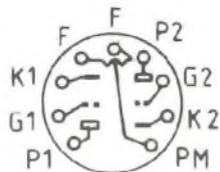


Fig. 7

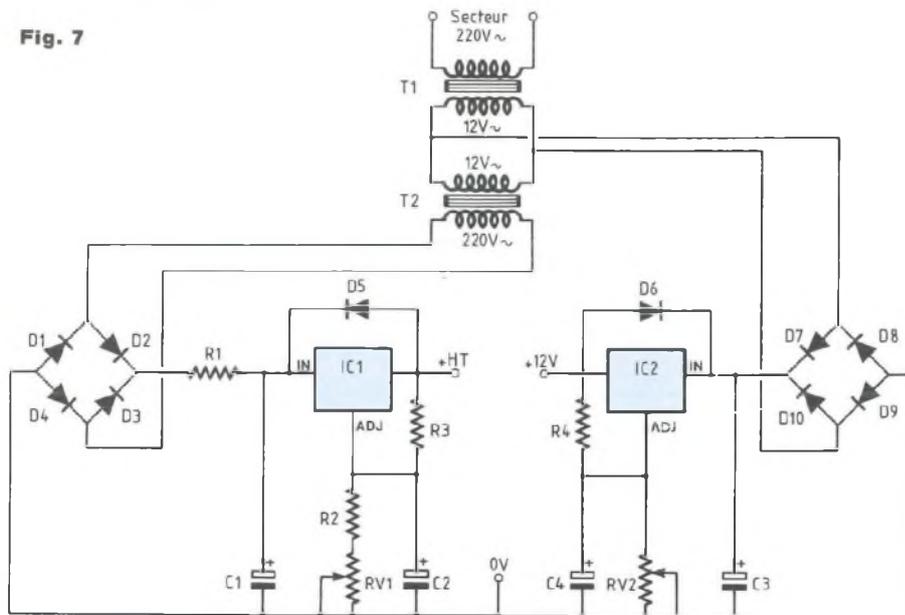


Fig. 8

## NOMENCLATURE DES COMPOSANTS

### ALIMENTATION

#### • Résistances

- R1 - 150  $\Omega$  / 3 W bob.
- R2 - 22 k $\Omega$  / 3 ou 7 W bob.
- R3 - 100  $\Omega$  / 0,5 W
- R4 - 120  $\Omega$  / 0,5 W

#### • Ajustables multitours

- RV1 - 10 k $\Omega$
- RV2 - 5 k $\Omega$

#### • Condensateurs

- C1 - 100  $\mu$ F / 385 V
- C2 - 10  $\mu$ F / 450 V
- C3 - 2 200  $\mu$ F / 16 V
- C4 - 10  $\mu$ F / 35 V

#### • Semiconducteurs

- IC1, IC2 - LM317T
- D1, D2, D3, D4 - 1N4007
- D5 - Zener 39 V / 1,3 W
- D6 - Zener 39 V / 1,3 W
- D7, D8, D9, D10 - 1N4007

#### • Divers

- 2 dissipateurs pour TO220
- T1, T2 - transformateurs 220 V / 12 V / 18 ou 25 VA
- Visserie de 3 mm
- Picots à souder

et la basse tension. Chacune utilise un régulateur LM317T.

Une astuce a été utilisée pour la haute tension, nous avons mis à profit la réversibilité d'un transformateur. Un premier élément T1 est relié classiquement au réseau EDF/220 V et fournit ainsi une tension alternative au secondaire de 12 V. T2, quant à lui (identique à T1) a son secondaire de 12 V relié à celui de T1, il fournit de ce fait une tension de 220 V  $\sim$  et sert donc d'élevateur de tension, notre haute tension H.T. La haute tension est redressée par un pont de diodes D1 à D4 de type 1N 4007. Elle est filtrée énergiquement par le condensateur C1 d'une valeur de 100  $\mu$ F/385 V.

La résistance R1 sert de limiteur de courant et permet au condensateur C1 de se charger avec une cons-

tante de temps  $\theta = R1.C1$ , soit :

$$150 \cdot 100 \cdot 10^{-6} = 0,015 \text{ s.}$$

On évite ainsi d'appliquer brutalement la haute tension au régulateur IC1 qui est ici de

$$220 \text{ V} \sqrt{2} = 310 \text{ V.}$$

Nous savons que la différence de tension IN-OUT que peut supporter un régulateur LM317T est de 40 V, la HT régulée ne doit donc pas descendre au-dessous de 270 V. Une résistance tampon R2 évite une possible destruction de IC1 à la première mise sous tension si le curseur de RV1 est en position haute (circuit).

Une valeur de 22 k $\Omega$  permet d'avoir une haute tension minimale de :

$$U_{HT} = 1,25 \left( 1 + \frac{R2}{R3} \right)$$

soit avec R3 = 100  $\Omega$

$$U_{HT} = 1,25 \left( 1 + \frac{22\,000}{100} \right) \approx 276 \text{ V}$$

L'ajustable RV1 permet ensuite de porter cette haute tension à 280 V. Le condensateur C2 sert de découplage et élimine tout risque de bruit thermique qui pourrait se manifester, une sorte de souffle.

La basse tension est traitée comme précédemment, le 12 V est redressé par le pont de diodes D7 à D10 puis filtré par C3, une forte capacité de 2 200  $\mu$ F/16 V. A vide, elle est chargée à  $12\sqrt{2}$  volts soit  $\approx 16,95$  V.

#### • REALISATION DU MODULE

##### — Le circuit imprimé

Il fait l'objet de la figure 9. L'implantation est prévue pour recevoir tous les composants à l'exception des transformateurs bien entendu.

# LE RETOUR AUX SOURCES

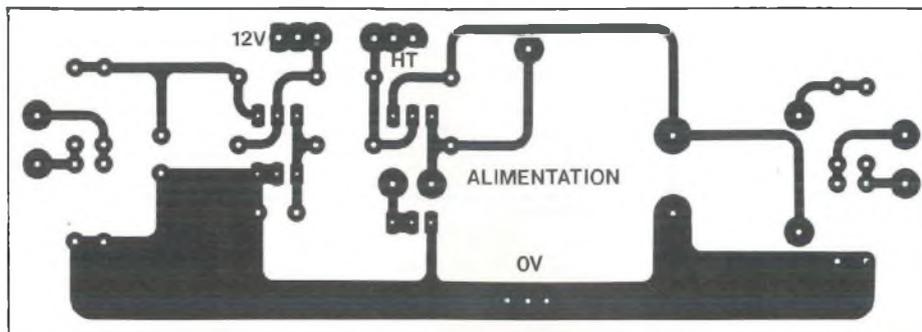


Fig. 9

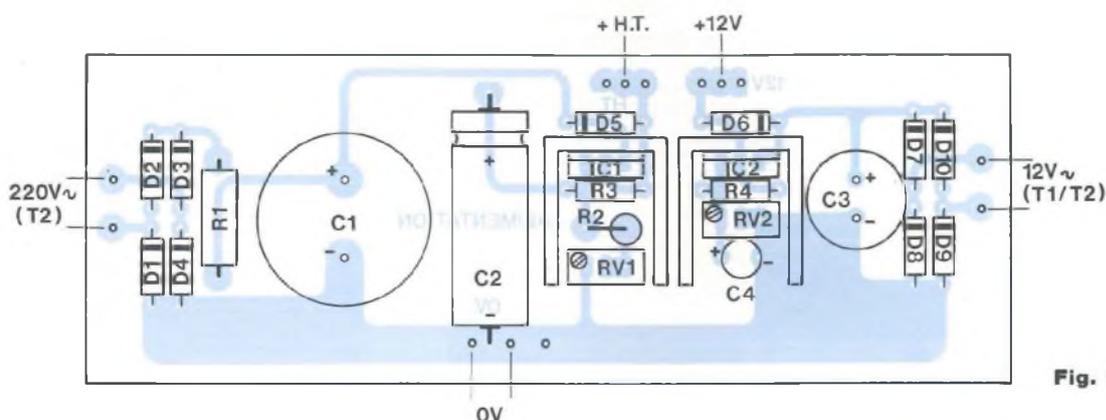


Fig. 10

Comme les autres circuits, il est simple à reproduire, quel que soit le procédé de gravure mis en œuvre. Un seul exemplaire suffit.

Quelques pastilles ont une surface plus importante, certaines permettent d'y souder des picots d'interconnexions (ou des fils de fort diamètre), d'autres des queues de composants au diamètre de 1,5 mm.

## — Le câblage

La mise en place des divers composants sur le C.I. est indiquée en figure 10. Veiller à une bonne orientation des 10 diodes.

La résistance bobinée R2 est soudée debout. Elle peut être de type 3 ou 7 watts.

Les régulateurs LM317T sont munis de dissipateurs (résistance thermique # 15°C/W).

Attention, le condensateur C2 doit

être isolé à 450 V (350 V minimum).

## — Mise sous tension

Les deux transformateurs d'alimentation étant reliés entre eux, comme l'indique le schéma de principe de la figure 8, il ne reste plus qu'à appliquer le 220 V $\sim$  de T2 au pont de diodes D1 à D4 et le 12 V $\sim$  au pont de diodes D7 à D10.

Raccorder ensuite le primaire de T1 au réseau EDF et effectuer les deux réglages, la H.T. de 280 V au moyen de RV1 et le 12 V destiné au chauffage des filaments avec RV2.

## ESSAIS

### • LE PREAMPLIFICATEUR POUR VINYL

Raccorder celui-ci au module alimentation au niveau de la haute tension (picot HT) et la masse (picot 0 V).

Ne pas oublier le chauffage filaments, les pastilles se trouvant sous le tube ECC83. La pastille marquée F reçoit le fil + 12 V, l'autre pastille, comme l'indique le tracé des pistes cuivrées, est reliée à la masse (0 V). C'est cette mise à la masse qui, lors de nos premiers essais, nous a donné les meilleurs résultats tant pour le bruit que pour la stabilité du préamplificateur.

Mettre l'alimentation sous tension et vérifier les potentiels HT et + 12 V. Attention aux doigts qui traînent, la haute tension est de 280 volts !

Sur la maquette, nous avons relevé 275 V et 262 V pour la première demi-triode après la résistance de 22 k $\Omega$ .

Les tensions de cathode sont de 1,2 volt pour l'étage d'entrée (tension aux bornes de 2,2 k $\Omega$ ) et de

# PREAMPLIFICATEURS A TUBE TRIODE ECC 83

1,17 volt pour le deuxième étage. En appliquant un signal de 11 mV à l'entrée du préamplificateur (minimum de notre générateur) à une fréquence de 1 kHz, nous retrouvons en sortie une amplitude de 215 mV, soit un gain de 20.

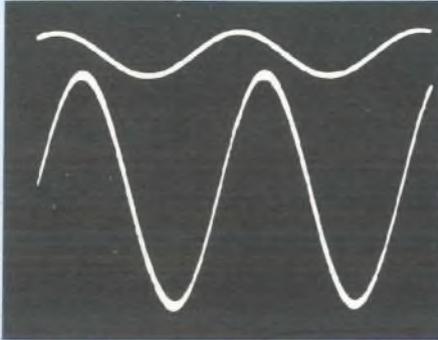
L'oscillogramme A nous montre les signaux obtenus (en haut signal d'entrée).

En injectant un signal sinusoïdal de 11 mV à la fréquence de 50 Hz, celui de sortie a une amplitude de 1,54 V, soit un gain de 140. La saturation de cette entrée à 50 Hz n'intervient qu'à partir d'un signal de 210 mV !

## • LE PREAMPLIFICATEUR POUR MICROPHONE

Le module est identique à celui testé précédemment, excepté que la

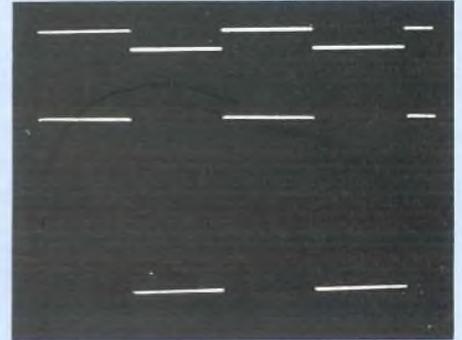
Oscillogramme A.



contre-réaction est linéaire (résistive), donc sans influence avec la fréquence du signal d'entrée injecté. A 1 kHz et pour un signal d'entrée sinusoïdal de 11 mV, celui en sortie est amplifié à 152 mV, soit un gain voisin de 14.

L'oscillogramme B nous montre un

Oscillogramme B.



signal carré à cette même fréquence de 1 kHz. Le fait d'utiliser une double triode nous permet de prélever le signal amplifié en sortie en phase avec celui d'entrée.

La saturation intervient pour un signal d'entrée (à 1 kHz) de 1,08 V.

Bernard Duval

## COMELEC s.a.r.l.

Capital : 50 000 Frs  
B.P. 1241 - Z.I. des PALUDS - 13783 AUBAGNE Cedex  
Tel: 42.82.96.38 - Fax: 42.82.96.51

### OFFRE EXCEPTIONNELLE

KIT COMPLET AMPLI HI-FI à LAMPES EL34 - 2X55W Musicaux - 3100 Frs  
KIT COMPLET AMPLI HI-FI à LAMPES KT88 - 2X80W Musicaux - 3700 Frs  
KIT COMPLET PREAMPLIFICATEUR à LAMPES - 1990 Frs



KIT COMPLET AMPLIFICATEUR HI-FI à TRANSISTORS IGBT 2X100W  
RMS sur 8 Ohms - 1700 Frs ou 1820 Frs avec ANTI - BUMP  
KIT COMPLET PREAMPLIFICATEUR à TRANSISTORS FET - 1250 Frs



Tous les kits sont complet avec circuits imp. Etamés, connectique, coffret percé et gravé, boutons, visserie, notice de montage etc.

Expédition dans toute la France, chèque à la commande port 150.00 Frs en C.R. 180.00 Fr.

Nous disposons de nombreux autres kits, demandez notre catalogue général contre 3 timbres au tarif lettre.

## BON DE COMMANDE

Pour compléter votre collection de LED  
à adresser aux EDITIONS PERIODES  
service abonnements  
1, boulevard Ney 75018 PARIS

30 F le numéro (frais de port compris)

Je désire : ... n° 65  ... n° 79  ... n° 81   
... n° 92  ... n° 96  ... n° 101  ... n° 102   
... n° 104  ... n° 106  ... n° 107  ... n° 109   
... n° 110  ... n° 112  ... n° 113  ... n° 115   
... n° 116  ... n° 117  ... n° 118  ... n° 119   
... n° 120  ... n° 121  ... n° 122  ... n° 123   
... n° 124  ... n° 125  ... n° 126  ... n° 127   
... n° 128

Les numéros non mentionnés sont épuisés.

(Indiquer la quantité et cocher les cases correspondantes aux numéros désirés).

Je vous fais parvenir ci-joint le montant

de ..... F par CCP  par chèque bancaire   
par mandat

Mon nom : .....

Mon adresse : .....

(Ecrire en CAPITALES, S.V.P.)

# elc

## CONSTRUCTION ÉLECTRONIQUE



2 x 0 - 30V 2,5A ou 0 - 60V 2,5  
ou 0 - 30V 5A 3500 F  
et 5V 2,5A ou 1 - 15V 1A



2 X 0 - 30 V 5A 3400 F



0 - 30V 10A 2700 F



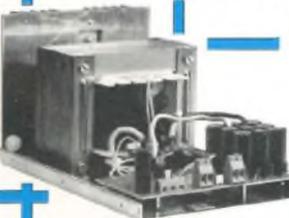
0 - 30V 5A



3 - 15V 4A 500 F



VHF - UHF 4950 F



12V 20A 1175 F

24V 10A 1150 F

12V 4A 395 F

12V 10A 650 F

24V 5A 650 F

LCD 3d.1/2 220 F



3 30V 5A 930 F



PRIX TTC

**NOUVEAU AL 941**



1 à 15 V 0 à 3A  
et chargeur de batteries 850 F



12,5V 3A 355 F

12,5V 5A 445 F



0,02Hz - 2MHz 3150 F



1Hz - 1MHz 1632 F



1Hz - 200KHz 1650 F



11MHz 3000 F



3 - 12V 1A 250 F



12V 2A  
300 F

Ajust. de 10 à 15V



12V 1A 237 F



Cordons sili.  
de 59 à 64 F



IX SYNTH. 11850 F



**NOUVEAU AL 942**



1 à 30 V 0 à 2A  
et chargeur de batteries 890 F



12V 1A 185 F  
24V 1A 200 F



Sondes  
1/1 et 1/10 168 F



1Hz - 600MHz - 8Dig. 1890 F



12V 2,5A 330 F



NUMERIQUES 3 1/2 digits  
Config. calibre et tension  
DV932 310 F DA933 320 F



Pincettes



12V 4A 395 F



Analogiques

Je souhaite recevoir une documentation sur :  
 Alim. Rég.  Alim. Fixes  Générat.  Sondes  
Autres produits à préciser.....

Nom .....  
Adresse .....  
Ville .....

Ecrire à :  
**elc** service 104  
59 avenue des Romains  
74000 ANNECY

☎ 50.57.30.46 - Fax 50.57.45.19

Catalogue général (Joindre 5 timbres à 2,80 F)

# la qualité au sommet

En vente chez votre fournisseur de composants électroniques ou les spécialistes en appareils de mesure

# St Quentin Radio

Les prix sont donnés à litre indicatif

6 rue de St Quentin, 75010 PARIS

Tél (1) 40 37 70 74 - Fax (1) 40 37 70 91

MC 68705P3S . 45F pièce / 39Fpièce par 13

<p>BUK455/60 ..... 15F IRF 150 ..... 80F IRF 530 ..... 11F IRF 540 ..... 20F IRF 840 ..... 18F IRF 9530 ..... 16F LF 356N ..... 9F LM317T ..... 7F LM 317K ..... 20F LM 317HVK ..... 62F LM 337T ..... 12F LM 395T ..... 27F LM 675T ..... 55F</p>	<p>LT1028 ..... 59F LM3886 ..... 60F MJ15001 ..... 21F MJ15002 ..... 26F MJ15003 ..... 22F MJ15004 ..... 23F MJ15024 ..... 33F MJ15025 ..... 46F MJE 340 ..... 5F MJE 350 ..... 5F MPSA 06 ..... 2F MPSA 56 ..... 2F MPSA 42 ..... 2,5F</p>	<p>MPSA 92 ..... 2,50F NE 5532AN ..... 12F NE 5534AN ..... 10F SSM 2013 ..... 45F SSM2017 ..... 30F SSM2018 ..... 60F SSM2120P ..... 70F SSM2139 ..... 30F SSM2141 ..... 30F SSM2142 ..... 50F SSM2210 ..... 35F SSM 2220 ..... 40F TDA 1520B ..... 22F</p>	<p>TDA 7250 ..... 44F 2N3055 ..... 9F 2N3440 ..... 5F 2N3819 ..... 4,50F 2N3866 ..... 16F 2N3904 ..... 2F 2N3906 ..... 2F 2N5401 ..... 3F 2N5416 ..... 6,5F 2N5551 ..... 3F Prix par 10 et 25 pièces (même référence)</p>	<p><b>TUBES ÉLECTRONIQUES</b></p> <p>ECC 83 ..... 60F ECC82 ..... 60F EL34 ..... 110F EF86 ..... 60F</p> <p>Support de tube et transformateur : prix sur demande</p>	<p><b>FICHES XLR AUDIO NEUTRIK</b></p> <p>par 1 par 10</p> <p>3 br. mâle ..... 30F ..... 27F 3 br. femelle ..... 35F ..... 31F 3 br. chassis mâle ..... 30F ..... 27F 3 br. chassis fem. ..... 35F ..... 31F</p>
<p><b>CONDENSATEURS</b></p> <p><b>C039 SIC SAFCO</b> 4700µF/63V ..... 92F 4700µF/100V ..... 165F 10000µF/63V ..... 155F 10000µF/100V ..... 295F 22000µF/63V ..... 295F 22000µF/100V ..... 595F (18A/100Hz à 85°C)</p> <p><b>FELSIC 85 /SIC SAFCO</b> 22000µF/100V ..... 270F (13,9A/100Hz à 85°C)</p> <p><b>FAIBLE RÉSISTANCE SÉRIE VISHEY</b> 22000µF/100V ..... 595F ( 24A/100Hz à temp. &lt;40°C) dim 76x114mm</p>	<p><b>POTENTIOMETRES FERNICEP11V</b></p> <p>Potentiomètre piste CERMET 1WATT/70°C, axe de 6mm - Long. 50mm pour circuits imprimés</p> <p><b>LINÉAIRE SIMPLE</b> : 470 ohms, 1K, 2K2, 4K7, 10K, 22K, 47K, 100K, 220K, 470K, 1M ..... 29F</p> <p><b>LOGARYTHMIQUE SIMPLE</b> : 1K, 2K2, 4K7, 10K, 22K, 47K, 100K, 220K, 470K, 1M ..... 34F</p> <p><b>DOUBLE LINEAIRE</b> : 2x2K2, 2x4K7, 2x10K, 2x22K, 2x47K, 2x100K, 2x220K ..... 48F</p> <p><b>DOUBLE LOGARYTHMIQUE</b> : 2x2K2, 2x4K7, 2x10K, 2x22K, 2x47K, 2x100K, 2x220K ..... 58F</p>	<p><b>CÂBLE AUDIO PROFESSIONNEL</b></p> <p><b>GOTHAM</b> GAC 1 : 1 cd blindé 5,3mm rouge ou noir ..... 12F le m GAC 2 : 2 cds blindés 5,4mm ..... 12F le m</p> <p><b>MOGAMI</b> 2534 : 4 cds blindés (symétrique) 6mm ..... 20F le m 2592 : 2 cds blindés 6mm ext ..... 12F le m</p> <p><b>CÂBLE NEGLEX POUR HP</b> 2972 : 4cds de 2mm<sup>2</sup> diam 10mm ..... 46F le m 2921 : 4cds de 2,5<sup>1</sup> diam 11,5mm ..... 46F le m 3082 : 2cds de 2mm<sup>2</sup> pour XLR d=6,5mm ..... 20F le m</p> <p>Résist. 1% de 10ohms à 475kohms (*) même valeurs 2F/1p 1F20/10p* 0,60F/100p*</p>	<p><b>FICHE DOREE et/ou TEFLON</b></p> <p><b>DORÉ</b> CINCH mâle pour diam 6mm ..... 12F CINCH mâle pour diam 8mm ..... 12F CINCH femelle pour diam 6mm ..... 12F</p> <p><b>TÉFLON</b> CINCH mâle pour diam 6mm ..... 25F CINCH mâle pour diam 8mm ..... 28F CINCH femelle pour diam 6mm ..... 28F</p> <p><b>DORÉ</b> JACK 6,35 mâle mono ..... 10F JACK 6,35 mâle stéréo ..... 14F JACK 6,35 femelle mono ..... 10F JACK 6,35 femelle stéréo ..... 15F</p> <p>JACK 3,5mm mâle mono ..... 10F JACK 3,5mm mâle stéréo ..... 12F JACK 3,5mm femelle mono ..... 11F JACK 3,5mm femelle stéréo ..... 14F</p>		
<p><b>CATALOGUE COMPOSANTS : 15F au comptoir/ 30Fpar correspondance</b> <b>Mini CATALOGUE/TARIF 68 pages - GRATUIT sur demande</b> <b>EXPEDITION : mini 50F : jusqu'à 3Kg : 28F ordinaire/ 38F colissimo. De 3 à 7Kg : 45F ordinaire/ 49F colissimo. Au delà de 7Kg port SNCF.</b> <b>Paieement : chèque, mandat, carte bleue.</b></p>					

## ABONNEZ-VOUS A

# LED

Je désire m'abonner à LED (10 n<sup>os</sup> par an). Je profite ainsi de la remise permanente de 25% sur mes commandes de circuits imprimés et j'économise 70,00 F sur l'achat de mes numéros.

(Ecrire en CAPITALES, S.V.P.)

FRANCE, BELGIQUE, SUISSE, LUXEMBOURG : 210 F AUTRES\* : 290 F

NOM .....

PRENOM .....

N° ..... RUE .....

CODE POSTAL ..... VILLE .....

\* Pour les expéditions « par avion » à l'étranger, ajoutez 80 F au montant de votre abonnement.

Ci-joint mon règlement par : chèque bancaire  C.C.P.  mandat

Le premier numéro que je désire recevoir est : N° .....

A retourner accompagné de votre règlement à :

Service Abonnements, EDITIONS PERIODES 1, boulevard Ney 75018 PARIS - Tél. : 44.65.80.88 poste 7315





## EDITIONS PERIODES

### VOTRE SERVICE CIRCUITS IMPRIMES

Réalisation de vos prototypes en 48H00 sur plaques époxy

\* à partir de vos films positifs

(gravure, découpe, étamage)

	Non percé	Percé
le simple face :	40F le dm <sup>2</sup>	65F le dm <sup>2</sup>
le double face :	62F le dm <sup>2</sup>	100F le dm <sup>2</sup>

**Professionnels, consultez-nous : prix par quantités**

Plaques présensibilisées positives Epoxy FR4 16/10 <sup>e</sup> - cuivre 35 microns			
Format	1 ou 2 faces cuivrées	Qté	Prix
100 x 150	10,00 F		
150 x 200	20,00 F		
200 x 300	40,00 F		
Frais de port et emballage .....			10 F
<b>Total à payer</b> .....			<b>F</b>

**DORENAVANT  
POUR TOUTE COMMANDE  
DE CIRCUITS IMPRIMES  
OU DE FILMS POSITIFS  
LIBELLEZ  
VOTRE CHEQUE  
A L'ORDRE  
DES EDITIONS PERIODES  
ET NON PLUS T.S.C.**

SERVICE CIRCUITS IMPRIMES				
Support verre époxy FR4 16/10 - cuivre 35 µm				
	Qté	Circuits non percés	Circuits percés	Total
<ul style="list-style-type: none"> <li>• Préamplificateur à tubes</li> <li>- RIAA/microphone .....</li> <li>- Cathode follower .....</li> <li>- Alimentation .....</li> <li>• Micro-émetteur FM .....</li> <li>• Nanoampèremètre .....</li> <li>• Commande de feux tricolores .....</li> </ul>		20,50 F 13,50 F 21,50 F 12,00 F 14,50 F 24,50 F	33,00 F 21,50 F 35,00 F 19,50 F 23,50 F 40,00 F	
NUMERO D'ABONNE :		Remise consentie 25 %   Total TTC * 3		
Frais de port et emballage .....				10 F
<b>Total à payer</b> .....				<b>F</b>

FILM POSITIF AGFA DLD510p	
Pour la gravure de vos C.I.	
Les films AGFA sont disponibles depuis le n° 86	
N° 86 <input type="checkbox"/>	N° 87 <input type="checkbox"/> N° 88 <input type="checkbox"/> N° 89 <input type="checkbox"/> N° 90 <input type="checkbox"/>
N° 91 <input type="checkbox"/>	N° 92 <input type="checkbox"/> N° 93 <input type="checkbox"/> N° 94 <input type="checkbox"/> N° 95 <input type="checkbox"/>
N° 96 <input type="checkbox"/>	N° 97 <input type="checkbox"/> N° 98 <input type="checkbox"/> N° 99 <input type="checkbox"/> N° 100 <input type="checkbox"/>
N° 101 <input type="checkbox"/>	N° 102 <input type="checkbox"/> N° 103 <input type="checkbox"/> N° 104 <input type="checkbox"/> N° 105 <input type="checkbox"/>
N° 106 <input type="checkbox"/>	N° 107 <input type="checkbox"/> N° 108 <input type="checkbox"/> N° 109 <input type="checkbox"/> N° 110 <input type="checkbox"/>
N° 111 <input type="checkbox"/>	N° 112 <input type="checkbox"/> ampli 400 W N° 112 <input type="checkbox"/> gainmètre
N° 113 <input type="checkbox"/>	N° 114 <input type="checkbox"/> N° 115 <input type="checkbox"/> N° 116 <input type="checkbox"/>
N° 117 <input type="checkbox"/>	Programmateur N° 117 <input type="checkbox"/> Sans programmateur
N° 118 <input type="checkbox"/>	N° 119 <input type="checkbox"/> N° 120 <input type="checkbox"/> N° 121 <input type="checkbox"/>
N° 122 <input type="checkbox"/>	N° 123 <input type="checkbox"/> N° 124 <input type="checkbox"/> N° 125 <input type="checkbox"/>
N° 126 <input type="checkbox"/>	N° 127 <input type="checkbox"/> N° 128 <input type="checkbox"/> N° 129 <input type="checkbox"/>
<b>Prix unitaire : 32 F</b>	
<b>Total à payer (port compris) .....</b>	
<b>F</b>	

NOM .....

PRENOM .....

N° ..... RUE .....

CODE POSTAL .....

VILLE .....

Paiement par C.C.P.  par chèque bancaire  ou par mandat

libellé à l'ordre de

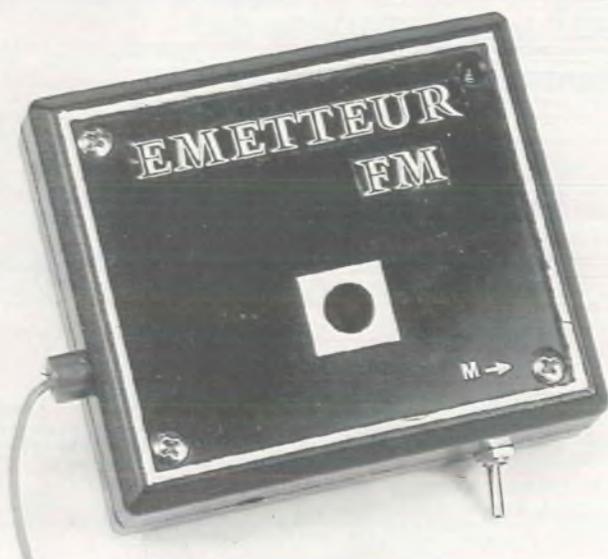
**EDITIONS PERIODES**

1, boulevard Ney, 75018 Paris

**Tél. 44.65.80.88 poste 7315**

# MICRO – EMETTEUR

## A MODULATION DE FREQUENCE



Les micro-émetteurs travaillant dans la gamme commerciale FM, fort prisés de tous ceux qu'atteint le virus de l'espionniste, peuvent aussi trouver des applications plus avouables et plus raisonnables : la surveillance d'une chambre de bébé en constitue un excellent exemple. Petit et discret, l'appareil que nous proposons s'alimente, soit sur une pile 6F22 de 9 volts (alcaline de préférence), soit sur une batterie cadmium-nickel équivalente...

**A**vec un récepteur portatif à transistors et sans antenne à l'émission, la portée se limite à quelques mètres (d'une pièce à l'autre, par exemple). On peut l'augmenter jusqu'à plusieurs dizaines de mètres en utilisant, comme antenne, un simple fil de 70 cm de longueur.

### LES CONDITIONS D'UTILISATION

Théoriquement, la législation réprime l'émission dans la gamme des 88 à

108 MHz. En pratique, les autorités font preuve d'une large tolérance, sous certaines conditions que dictent d'ailleurs le bon sens et le respect d'autrui.

La puissance émise et la portée par voie de conséquence, doivent demeurer très réduites. On pourrait facilement augmenter celles de notre appareil, en modifiant la tension d'alimentation ou la polarisation de l'étage oscillateur. Nous déconseillons évidemment de tels bricolages, dont l'auteur ne se tiendrait pas pour responsable.

Le choix de la fréquence centrale a

aussi son importance. Bien que la bande FM se trouve maintenant fort encombrée, on dispose de quelques plages relativement tranquilles. C'est le cas pour la région parisienne, entre 106 et 108 MHz. D'autres régions nécessiteront peut-être un choix différent : nous y reviendrons en traitant de la procédure de réglage.

### MODULATION DE FREQUENCE ET DIODES VARICAP

En haute fréquence, les oscillateurs mettent en jeu des circuits accordés à self et capacité (LC). Ainsi, le circuit résonnant parallèle de la figure 1 offre son maximum d'impédance, entre les points A et B, pour la fréquence :

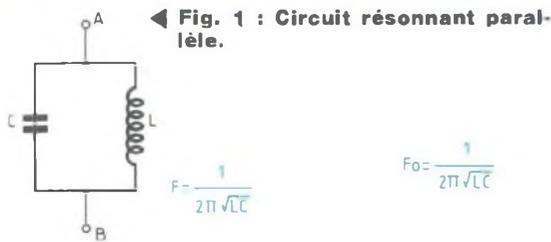
$$F = \frac{1}{2\pi \sqrt{LC}}$$

Pour accorder, après construction, ce circuit sur une fréquence donnée, on peut agir, soit sur la valeur de l'inductance L (noyau réglable, ou déformation des spires), soit sur celle de la capacité C (condensateur ajustable). C'est la première méthode, avec déformation des spires, que nous utiliserons pour le calage de la fréquence centrale d'émission.

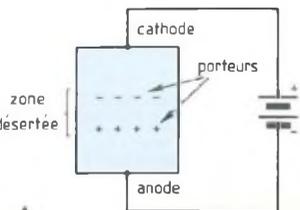
Mais qui dit "modulation de fréquence", dit variations autour de la haute fréquence centrale, au rythme de la BF à transmettre. Dans la plage qui nous intéresse, les capacités d'accord se situent aux alentours de la dizaine de picofarads et des variations de l'ordre du picofarad suffisent à balayer quelques dizaines de kilohertz.

Il devient alors possible d'employer, soit pour l'accord, soit pour la modulation, des diodes à capacité variable, ou varicaps.

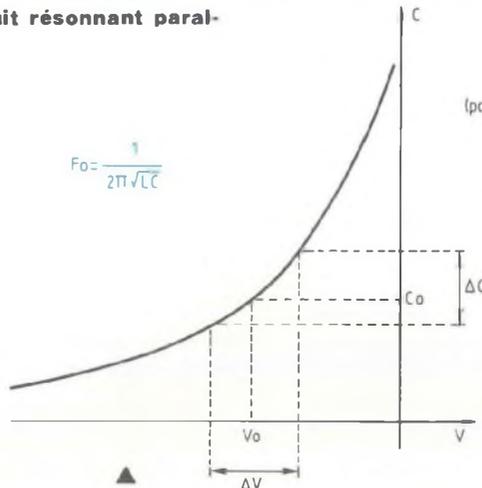
Lorsqu'on polarise une diode en inverse, comme dans la figure 2, le champ électrique interne écarte les porteurs de la jonction, créant ainsi une zone



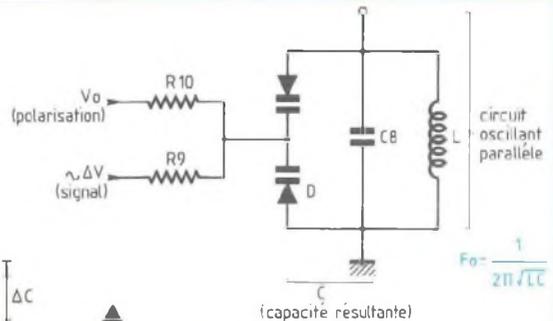
◀ Fig. 1 : Circuit résonnant parallèle.



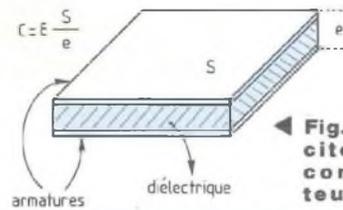
▲ Fig. 2 : Les porteurs s'accumulent de part et d'autre d'une zone désertée, formant l'équivalent d'un condensateur.



▲ Fig. 4 : Variations de la capacité d'une diode varicap avec la tension inverse appliquée sur la jonction.



▲ Fig. 5 : Commande de la fréquence d'un circuit oscillant parallèle par diodes varicap.



◀ Fig. 3 : Capacité d'un condensateur plan.

désertée, entre deux couches chargées d'électricité respectivement positive et négative. L'ensemble se comporte alors comme un condensateur, dont la zone désertée serait le diélectrique, encadré par des armatures conductrices.

Dans un condensateur plan (figure 3), la capacité C est liée à la surface S de chaque armature et à la distance e qui les sépare, par l'égalité :

$$C = \frac{\epsilon S}{e}$$

où  $\epsilon$  est la permittivité du diélectrique. Cette capacité est donc inversement proportionnelle à e. Si on se reporte à la figure 2, on voit qu'une tension inverse  $V_2$  supérieure (en valeur absolue) à  $V_1$ , entraîne un écartement e plus grand des porteurs, donc une diminution de la capacité.

Ces considérations valent pour toutes les diodes à jonctions.

Dans le cas de matériaux P et N très fortement dopés, qui conduisent à une jonction abrupte, on sait réaliser des capacités importantes, variant de quelques picofarads à 20 ou 30 picofarads parfois, en fonction de la ten-

sion inverse V, selon une loi dont la figure 4 illustre un exemple. Une fois choisie une polarisation, c'est-à-dire une tension inverse de repos  $V_0$  correspondant à la capacité  $C_0$ , on peut faire varier cette capacité d'une quantité  $\Delta C$  par des variations de potentiel  $\Delta V$  autour de  $V_0$ .

Cette propriété est directement mise en oeuvre dans le circuit oscillant de la figure 5, où les notations sont, par commodité, celles du schéma définitif de l'émetteur. En continu, les anodes de la varicap double D rejoignent la masse (l'une d'entre elles, à travers la self L). Sur les cathodes, réunies, on applique :

- d'une part, la tension continue de polarisation,  $V_0$ , qui détermine la capacité de repos  $C_0$ .
- d'autre part, la tension alternative  $\Delta V$ , image du signal modulateur et qui provoque les variations  $\Delta C$ .

## SCHEMA THEORIQUE DU MICRO-EMETTEUR

On le trouvera en figure 6. L'appareil s'alimente sous 9 volts, à travers l'in-

terrupteur général I et deux condensateurs découplent la pile : l'électrolytique  $C_1$ , pour les basses fréquences essentiellement ; le condensateur à film plastique  $C_6$ , qui rattrape la composante selfique de  $C_1$  et agit principalement sur les fréquences élevées.

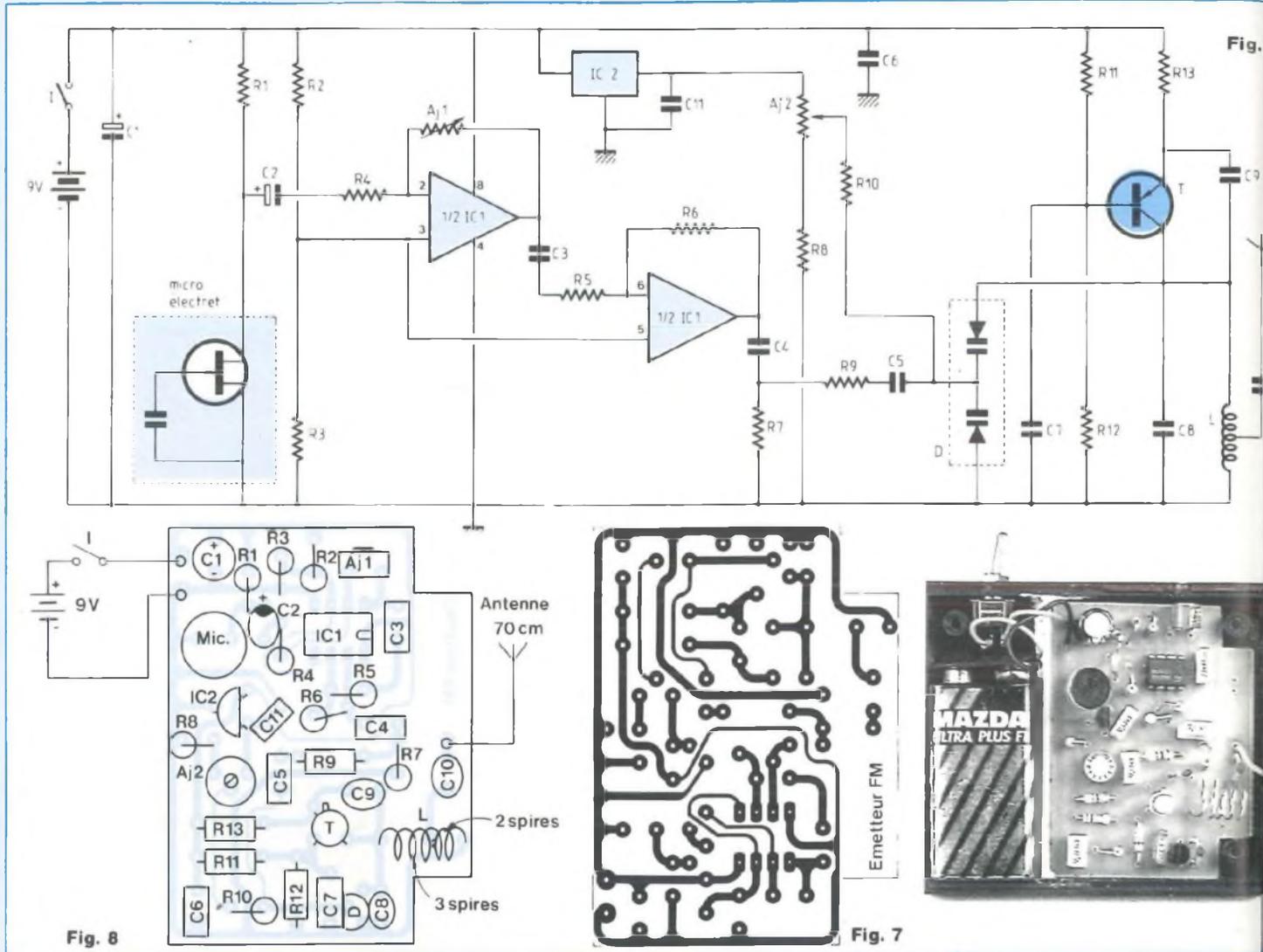
Ceci justifie, d'ailleurs, son emplacement sur le circuit imprimé, au voisinage de l'étage oscillateur.

Commençons par l'étude de ce dernier, construit autour du transistor T, de type PNP. Celui-ci, polarisé par le pont  $R_{11} / R_{12}$ , associé à la résistance d'émetteur  $R_{13}$ , travaille en base commune. En effet, aux fréquences d'oscillation, voisines de 100 MHz,  $C_7$  constitue un court-circuit pratiquement parfait.

Le circuit oscillant constitué par la diode varicap double D (équivalente, rappelons-le, à un condensateur), le condensateur fixe  $C_8$  et la self L, imposent la fréquence, tandis que le condensateur  $C_9$  assure la réaction positive entre collecteur et émetteur.

Comme nous l'avons vu précédemment, la diode varicap D doit recevoir à la fois la tension continue de polarisa-

# MICRO-EMETTEUR



tion, qui déterminera la fréquence d'accord et la tension alternative BF de modulation. De la stabilité de la première, dépend, évidemment, celle de l'émission. Il ne saurait donc être question de l'élaborer directement à partir de la pile et une régulation s'impose. Elle fait appel, ici, au circuit intégré IC2, régulateur à trois pattes miniature de type 78 L 05 (boîtier TO 92) qui délivre 5 volts. avec un nouveau filtrage par C11. Associé à R8, l'ajustable AJ2 prélève une fraction réglable de cette tension et, à travers la forte résistance R10 (il convient de ne pas amortir le

circuit oscillant), la transmet aux cathodes de la varicap. D'une extrémité à l'autre de la course de AJ2, on couvre environ 2 MHz, par exemple, de 106 à 108 MHz. Hors la prise pour une éventuelle antenne, à travers C10, tout le reste du schéma de la figure 6 concerne la section BF du montage. Celle-ci commence par le micro électret, chargé sur son drain par la résistance R1. La forte amplification nécessaire se répartit sur deux étages, articulés autour des deux amplificateurs du circuit IC1, de type LF 353 (amplificateur BIFET à faible

bruit et grande impédance d'entrée). Sur le premier étage, la résistance AJ1 permet d'ajuster le gain, donc la sensibilité. En sortie, on bloque la composante continue par C4, puis par C5, alors que R9, de forte valeur comme R10, évite un amortissement sensible du circuit oscillant.

## LA REALISATION PRATIQUE

Tous les composants de l'émetteur prennent place sur le petit circuit imprimé de la figure 7, conformément aux indications de la figure 8. La découpe

schéma complet du micro-émetteur FM.

## NOMENCLATURE DES COMPOSANTS

### • Résistances 0,25 W à $\pm 5\%$

R1 – 4,7 k $\Omega$   
 R2 – R3 – 33 k $\Omega$   
 R4 – 4,7 k $\Omega$   
 R5 – 10 k $\Omega$   
 R6 – 82 k $\Omega$   
 R7 – 1,8 k $\Omega$   
 R8 – 5,6 k $\Omega$   
 R9 – 4,7 M $\Omega$   
 R10 – 1,5 M $\Omega$   
 R11 – 1 k $\Omega$   
 R12 – 4,7 k $\Omega$   
 R13 – 100  $\Omega$

### • Condensateurs électrolytiques

C1 – 100  $\mu$ F (16 V)  
 C2 – 0,1  $\mu$ F (tantale goutte)

### • Condensateurs à film plastique (Thomson Milfeuil)

C3 – 22 nF  
 C4 – 100 nF  
 C5 – 100 nF  
 C6 – 220 nF  
 C11 – 100 nF

### • Condensateur à film plastique (Siemens MKH)

C7 – 10 nF

### • Condensateurs céramiques plaquettes

C8 – 22 pF  
 C9 – 10 pF  
 C10 – 22 pF

### • Résistances ajustables Sfernice

AJ1 – 100 k $\Omega$   
 AJ2 – 10 k $\Omega$

### • Semiconducteurs

CI1 – LF 353  
 CI2 – 78 L 05  
 D – BB 204 (varicap double)  
 T – 2N 2907

### • Divers

Micro électret  
 Interrupteur subminiature  
 Connecteur pour pile 9 V type 6F 22  
 Douille 2,5 mm

de deux angles est indispensable pour l'installation du montage dans le boîtier de référence choisi pour le prototype, afin de ménager l'emplacement des colonnettes recevant les vis de fermeture. Notons au passage, d'ailleurs, que l'une de ces colonnettes doit être supprimée, pour que la pile tienne dans le boîtier : seules trois vis restent alors pour assembler le coffret, ce qui suffit largement (voir nos photographies). Réalisée à l'aide de fil de cuivre de 0,5 ou 0,6 mm de diamètre, la self L comporte au total 5 spires, avec prise à 2 spires du côté de la masse, pour le

raccordement à l'antenne. On effectue le bobinage sur un foret de 7 mm de diamètre, ce qui donnera finalement des spires de 7,5 à 8 mm, à cause de l'élasticité du cuivre. Les spires sont ensuite écartées de 2 mm les unes par rapport aux autres, avant de souder l'ensemble sur le circuit imprimé. Les deux résistances ajustables (Sfernice miniature, à piste cermet) doivent rester accessibles, boîtier fermé. Pour AJ2, implantée normalement (position horizontale), on perce un trou dans le couvercle du boîtier, à côté de celui qui fait face au micro. AJ1, dont on aura

coupé une patte d'extrémité de la piste (conserver l'autre et la patte centrale reliée au curseur), est positionnée verticalement et accessible par un trou percé sur le côté du coffret. Celui-ci reçoit, en outre, l'interrupteur subminiature I et une douille de 2,5 mm pour la sortie d'antenne. Une cloison réalisée à l'aide d'une chute d'époxy non cuivré et collée verticalement, bloque la pile dans son logement.

## MISE AU POINT ET REGLAGE

On travaillera d'abord, boîtier ouvert, car il est nécessaire d'accéder à la self pour un premier réglage de fréquence. A cette fin, placer à mi-course les curseurs de AJ1 et AJ2 ; ne pas connecter d'antenne.

On place l'émetteur à proximité (environ 1 mètre) d'un récepteur calé sur la fréquence choisie comme centre de la plage à couvrir, par exemple 107 MHz pour la région parisienne (voir plus haut) et sur laquelle, bien sûr, on ne reçoit aucune émission. En jouant précautionneusement sur l'écartement des spires de la self, un violent accrochage, déclenché par effet Larsen, montre que l'émetteur travaille sur la même fréquence.

La deuxième étape consiste à vérifier l'action de l'ajustable AJ2 : d'un bout à l'autre de sa course, la variation de fréquence est voisine de  $\pm 1$  MHz, de part et d'autre de la fréquence centrale.

Après fermeture du coffret et si on utilise une antenne, il faut peaufiner l'ajustage de la fréquence par AJ2. En effet, directement connectée sur l'étage oscillateur, cette antenne **fait partie du circuit oscillant** et modifie légèrement ses caractéristiques.

René Rateau

# NANOAMPÈREMÈTRE

L'adaptateur que voici étend avantageusement les possibilités de votre multimètre. Il le rend utilisable à la mesure de très faibles intensités continues, par exemple celles des courants de fuite chez les semi-conducteurs sous alimentation inverse.

**L**e premier calibre de l'habituel multimètre, à affichage numérique "2.000 points", en fonction ampèremètre, couvre l'espace compris entre 0 et 199,9  $\mu$ A.

La précision dans la mesure est classiquement de 1,2%.

Cela signifie que le résultat nous est connu à  $\pm 1,2\%$  près, mais à  $\pm 1$  unité du dernier chiffre significatif, de droite.

Très souvent, dans les pages de la revue, nous nous sommes entretenus de cette incontournable particularité, qu'il convient de ne jamais perdre de vue !

Mentionnons que la meilleure sensibilité, chez les multimètres analogiques à aiguille, est comparable à celle des convertisseurs analogiques-numériques, elle est typiquement de 50  $\mu$ A, pour une déviation totale de l'aiguille, à fond de cadran, avec une précision de  $\pm 2,5\%$ .

Dans la pratique, nos multimètres couvrent les besoins classiques en mesure d'intensités, mais dès l'instant où nous entrons dans le domaine de la technologie MOS et CMOS, nous nous trouvons en présence de courants dont les intensités sont très inférieures au  $\mu$ A...

L'incapacité à évaluer de telles grandeurs demande remède, nous vous proposons de réaliser un petit adaptateur qui viendra développer les possibilités de votre multimètre.

## U = R . I

Nous vous invitons à réfléchir ensemble (une fois de plus !) sur ce problème essentiel de la mesure !

Il est absolument incontestable que la mesure d'une grandeur tension

est celle qui offre la plus grande précision, dans la fiabilité.

Si nous pouvions, en toute certitude, convertir une grandeur quelconque de masse, de longueur... en une tension qui lui soit parfaitement homologue, nous atteindrions cette précision espérée depuis fort longtemps !

Pour mesurer l'intensité I d'un courant transitant par un conducteur, il convient d'interposer une résistance de valeur connue R dans ce conducteur et de mesurer la tension U développée entre les extrémités de cette résistance (figure 1).

Connaissant U et R, nous déduisons

$$I = \frac{U}{R}$$

Ne souriez pas, le propos n'est pas banal, il est l'expression de la loi fondamentale de l'électricité, la loi d'Ohm :  $U = R . I$

La résistance R de la mesure peut faire partie intégrante de l'instrument, faisant du voltmètre un multimètre pouvant fonctionner à la fois en voltmètre et en ampèremètre...

Voilà qui simplifie grandement la manipulation et l'instrument effectue les calculs à notre place, bravo et merci !

La mesure d'une intensité est une opération que nous qualifions de dynamique, car le courant inconnu dont nous désirons mesurer l'intensité est obligé de transiter, dynamiquement, par la résistance R.

Comme la mesure ne doit pas perturber le fonctionnement du montage sur lequel nous opérons, il nous faut donner à la résistance R la grandeur résistive la plus petite possible, pour introduire une chute de tension "nulle" dans le circuit.

Au besoin, amplifions la faible tension engendrée par la résistance R (figure 2).

En sortie d'un amplificateur opérationnel fonctionnant en montage amplificateur non-inverseur, de coefficient d'amplification A, nous recueillons une tension qui est A fois plus importante que la tension U apparue entre les bornes de R.

$$U_{\text{sortie}} = A \cdot U = A[R \cdot I]$$

Simple, non ?

## AMPLIFICATION

Il va nous falloir faire un choix !

Nous sommes en effet placés devant un dilemme :

— Amplifier au maximum, pour recueillir en sortie de l'ampli op la tension  $A \cdot U$  la plus grande possible, qui est à présenter aux bornes du voltmètre.

— Amplifier au minimum pour éviter la dérive, l'instabilité dans l'amplification.

Explicitons !

Le coefficient d'amplification A est conditionné par les valeurs résistives des résistances R1 et R2 de la boucle de rétroaction :

$$A = \frac{R1 + R2}{R1}$$

Toute dérive de la tension entrée U subit l'amplification A, l'erreur dans la mesure croît avec la valeur de A... Il nous faut donc amplifier modérément, nous allons faire  $A = 10$ .

Cette multiplication par 10 de la grandeur U ne complique pas, bien au contraire, l'interprétation du résultat écrit par l'afficheur du voltmètre et elle nous assure la stabilité que ne saurait nous procurer un coefficient A de 100.

Le premier calibre "Voltmètre" du multimètre couvre l'espace tension 0-200 mV, voilà qui nous gouverne une chute de tension U, dans la résistance R, de grandeur  $\frac{200}{A}$ , soit

$$\frac{200}{10} = 20 \text{ mV.}$$

A vrai dire, ce n'est que dans des cas très rares qu'une telle chute de ten-

# 20 nA A 200 μA EN 5 GAMMES

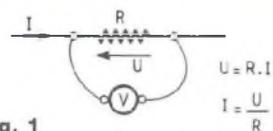
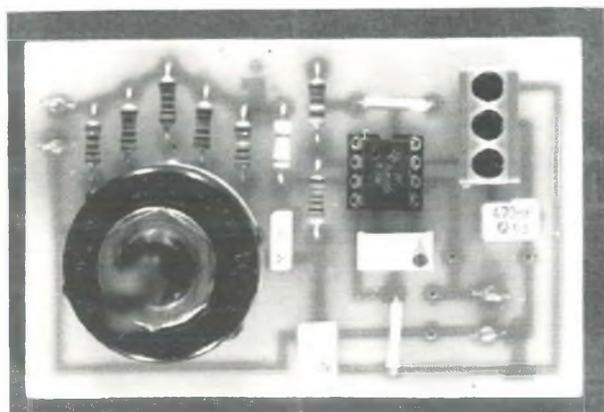


Fig. 1

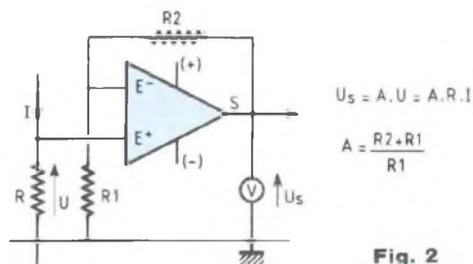


Fig. 2

sion introduite dans un circuit risque de perturber le fonctionnement d'un montage...

## CALIBRES

Nous "avons droit" à 20 mV de chute de tension dans la résistance R.

En donnant à R la valeur de 100 Ω, nous pouvons mesurer des courants continus d'intensité allant jusqu'à 20 mV/100 Ω, soit 200 μA.

De telles intensités sont donc directement lisibles, écrites par l'afficheur, 1 mV → 1 μA.

Ce calibre 0-200 μA a de fortes chances de faire double emploi avec le premier calibre "authentique" du multimètre en fonction ampèremètre, mais voyons la suite !

Donnons à R la valeur de 1 kΩ.

Nous créons le calibre 0-19,99 μA, nous lisons le résultat à ± 10 nA (à ± 1 unité du chiffre du dernier rang, de droite).

Mais la chute de tension introduite par la résistance R a toujours la valeur maximale de 20 mV !

Poursuivons...

Une R de 10 kΩ nous procure le calibre 0 à 1,999 μA, résultat exprimé à ± 1 unité du chiffre du dernier rang, de droite).

Une R de 100 kΩ nous procure le calibre de 0 à 199,9 nA, à ± 100 pA, etc.

Une R de 1 MΩ nous procure le cali-

bre 0 à 19,99 nA, à ± 10 pA, etc. Nous pouvons mesurer l'intensité du courant transitant par une diode 1N 4148 sous alimentation inverse, celle du courant de grille d'un transistor à effet de champ...

Voilà qui devrait vous satisfaire !

## RESISTANCES

Il va sans dire que les résistances R sont prises dans la série E 96, de précision 1% (nous faisons de la mesure !), à moins que vous vous contentiez de celles de la série E 12, lesquelles confèreraient au dispositif leur précision de 5%.

Mais il est absolument indispensable que les résistances mises en œuvre soient de type à couche métallique, car le coefficient de température (stabilité) de ces résistances est la meilleure garantie de tenue dans le temps.

Quant aux résistances R1 et R2 qui constituent la boucle de rétroaction associée à l'amplificateur opérationnel (figure 2), elles seront également à couche métallique, pour les mêmes et excellentes raisons...

Nous devons choisir les valeurs résistives de ces dernières résistances pour conditionner le coefficient A, d'amplification de tension, de grandeur 10 (figure 2).

$$A = \frac{[R2 + R1]}{R1} = 10$$

Si nous décidons d'utiliser, pour R1 et R2, des résistances de la série E 12 (précision 5%), nous avons une élégante solution en prenant R1 = 10 kΩ et en composant R2 en associant en série une résistance de valeur résistive 68 kΩ avec une autre, de valeur 22 kΩ.

$$A = \frac{[R2 + R1]}{R1} = \frac{[22 + 68 + 10]}{10} = 10$$

Amusant, non ?

— Cette solution est assurément la moins onéreuse, pour qui se contente de la précision de ± 5%.

Si, par contre, vous désirez la précision de ± 1%, dans l'amplification, en complément logique du choix de résistances de précision 1% en entrée, vous prenez, dans la série E 96

$$R1 = 10 \text{ k}\Omega, R2 = 90.9 \text{ k}\Omega.$$

Le circuit imprimé a été dessiné pour accueillir deux résistances "R2", il suffit de poser un élément de liaison (strap) à la place laissée libre, non occupée par une résistance.

## AMPLI OP

Pour des raisons d'une évidente simplicité dans la réalisation, la première idée qui vient à l'esprit est de mettre en œuvre un ampli op CA 3140, lequel se contente d'une alimentation simple, unique et non pas double, symétrique.

# NANOAMPEREMETRE

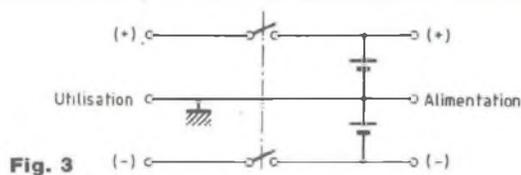


Fig. 3

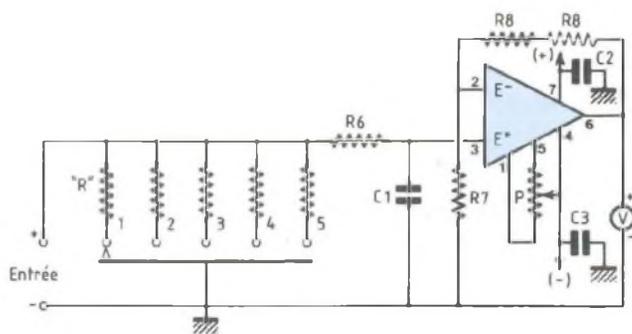
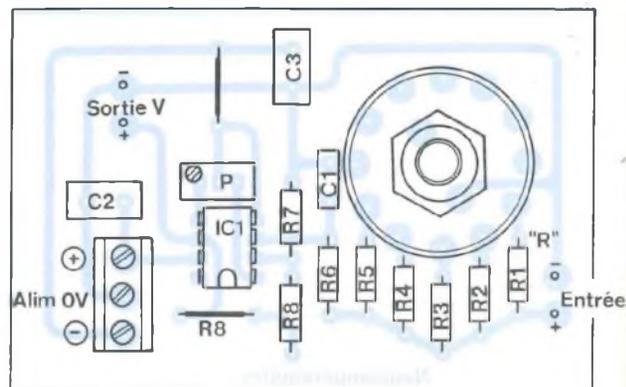


Fig. 4



Ce choix ne sera pas retenu, car nous ne pourrions "effacer" parfaitement la tension de décalage d'entrée qui affecte cet ampli op, au demeurant tout indiqué chez bien d'autres applications !

Nous ne parviendrons pas en effet à nous débarrasser d'une tension résiduelle de grandeur 1 à 2,2 mV (selon les échantillons) en sortie du 3140, lorsque les entrées de cet ampli op sont court-circuitées au (-) de la source d'alimentation unique.

Il nous faut donc nous tourner vers une alimentation double...

Utilisant une alimentation secteur double nous pouvons rencontrer des problèmes de masse lors de l'insertion de l'instrument de mesure dans une ligne d'alimentation positive ou négative, il est donc préférable de se servir de piles.

L'alimentation peut très bien être assurée par deux piles 9 V 6F22, voire deux piles standard, plates, 4,5 V, disposées en série comme indiqué par le schéma reproduit par la figure 3.

Il est impératif d'installer un double interrupteur, il faut en effet "couper" les deux alimentations à la fois.

Mais vous pouvez fort bien vous servir du petit convertisseur continu-symétrique que nous vous avons présenté dans le n° 120 de la revue, qui avait été étudié et réalisé dans l'intention d'alimenter des montages et appareils à amplis op du type du présent adaptateur.

## REALISATION

Elle est toute simple, conforme au schéma de principe qui est reproduit à la figure 4.

La sélection du calibre, 0-200  $\mu$ A, 0-20  $\mu$ A, 0-2  $\mu$ A, 0-200 nA, 0-20 nA, s'effectue commodément à l'aide d'un commutateur rotatif 1 circuit - 12 positions, ou 2 circuits - 6 positions, un seul des deux circuits étant alors utilisé.

La butée du commutateur bloque la rotation de l'axe du curseur, pour l'utilisation des 5 positions seulement.

Pardonnez-nous de répéter que nous avons tout à l'heure considéré les critères qui guident le choix des 5 résistances d'entrée quant à la précision désirée.

Nous avons vu que les mêmes raisons interviennent pour ce qui est des résistances constituant la bou-

cle de rétroaction, chez le montage amplificateur non-inverseur du dispositif.

La résistance R6 du schéma de la figure 4 n'a pas besoin d'être de précision.

Elle a pour rôle de limiter au-dessous d'un seuil dangereux pour l'ampli op l'intensité du courant entrant par l'une ou l'autre de ses deux entrées. Nous avons pourvu l'adaptateur de ce dispositif de protection dans le cas où il serait utilisé sur un montage équipé de tubes électroniques (lampes), montage chez lequel se rencontrent couramment des tensions atteignant plusieurs centaines de volts !

L'expérience a confirmé nos prévisions...

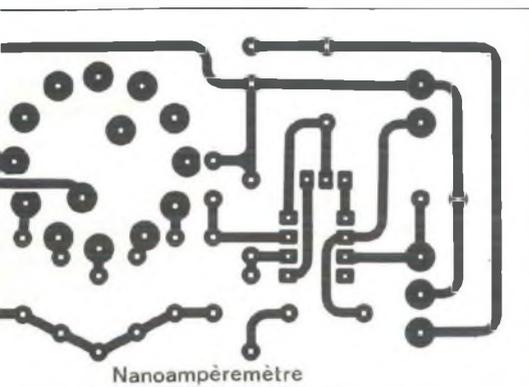
Le condensateur C1, de capacité 0,1  $\mu$ F, draine vers la masse toute composante alternative résiduelle qui entacherait la mesure.

Nous avons installé, entre chacune des deux lignes, (+) et (-) et la ligne de masse de la source d'alimentation double, un condensateur de découplage, de 470 nF.

## MISE EN SERVICE

L'adaptateur est mis sous tension

# 20 nA A 200 μA EN 5 GAMMES



Nanoampèremètre

## NOMENCLATURE DES COMPOSANTS

- Résistances à couche métallique  
± 1% - 0,5 W

R1 - 100 Ω  
R2 - 1 kΩ  
R3 - 10 kΩ  
R4 - 100 kΩ  
R5 - 1 MΩ

R8 - 90,9 kΩ    R7 - 10 kΩ  
Ces résistances peuvent être prises dans la série E 12, R7 - 10 kΩ, R8 - 68 kΩ + 22 kΩ, pour une précision de 5% seulement, elles seront obligatoirement de type à couche métallique.

- Résistance ± 5% - 1/2 W

R6 - 390 kΩ

- Potentiomètre "multitours"  
P - 100 kΩ, type vertical à 3 "pattes" en ligne

- Condensateurs

C1 - 100 nF  
C2, C3 - 470 nF

- Semiconducteur

1 ampli op TL 081,  
ou LF 351 avec son support

- Divers

1 contacteur rotatif pour C.I.,  
à 1 circuit, 12 positions ou  
à 2 circuits, 6 positions  
1 bornier à 3 entrées, pour  
l'alimentation  
Cosses pour raccordement  
1 circuit imprimé

pendant une dizaine de minutes, pour prise de régime (température), avant de procéder à son tarage.

Ses bornes d'entrée sont court-circuitées et le curseur du potentiomètre P est amené (délicatement, merci !) sur la position donnant une tension nulle, lue sur l'afficheur du voltmètre branché aux bornes de sortie.

La mise sous tension est maintenue

durant quelques minutes et le tarage est retouché, si nécessaire.

L'appareil est maintenant prêt pour l'utilisation...

Il sera toujours mis sous tension quelques minutes avant d'effectuer une mesure.

Vous apprécierez, à n'en pas douter, l'intérêt de la source d'alimentation symétrique, car si l'adaptateur est branché "à l'envers" dans le circuit

transitant le courant d'intensité inconnue, objet de la mesure, l'ampli op délivrera, en sa sortie, une tension négative que le multimètre traitera sans problème, vous avertissant de l'inversion de polarité.

L'utilisation sous alimentation simple exigerait l'inversion, le "croisement" des cordons de liaison.

Nous aimons le confort, pas vous ?

Georges Matoré

### SERVICE PHOTOCOPIES

Uniquement pour les numéros épuisés.

### Sur votre commande, précisez bien :

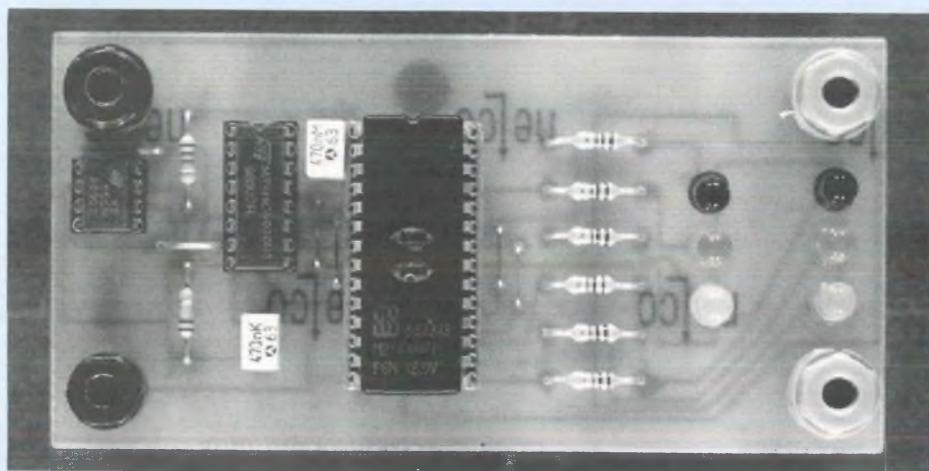
- Le nom exact de l'article dans le numéro épuisé ;
  - votre nom et votre adresse complète ;
  - joindre un chèque libellé à Editions Périodes
- Forfait : 35 F (port inclus) par article.

## PETITES ANNONCES GRATUITES

Vds divers amplis à tubes : blocs mono Lcak TL50 (KT88), Quad II + préampli 22 ; Audiom 300B tubes neufs et Welleman K4000 2 x 90 W, double PP EL34 avec tubes de rechange. Comp-limiteur et BBE de studio. Tél. 60.96.67.03.

Je recherche les livres d'utilisation et de maintenance des appareils suivants : générateur L.E.A. GMW 40, distorsiomètre L.E.A. 30 b, tiroirs Tektronix types E, G, H, K, Z et tiroirs de calibration. Je recherche également un transformateur de sortie pour amplificateur à tubes de type Millerioux AH 13 B. Tél. heures des repas 22.91.88.97.

# A PARTIR D'UNE EPROM 2764 : COMMANDE DE FEUX TRICOLORES ROUTIERS, POUR MODELISME



Cette réalisation s'adresse surtout au possesseur d'un programmeur d'EPROM (notamment PROGEMA 6456) dont le principal souci est de démarrer en douceur une réalisation basée sur la 2764. Ce montage assure donc la simulation du fonctionnement des feux tricolores situés au niveau d'un carrefour. La visualisation est assurée par des diodes électroluminescentes, afin d'obtenir les conditions de miniaturisation requises dans le domaine du modélisme.

**L**e plan d'implantation de la figure 1 présente l'organisation matérielle telle qu'elle a été prévue : sur les quatre feux du carrefour, chacun des feux d'une même voie est identique. Il suffit donc de générer trois signaux distincts pour le feu 1 (R1, O1 et V1) et le feu 2 (R2, O2 et V2) : notre montage comportera 6 sorties au total, chaque sortie devant piloter un groupe de 2 LED identiques dans la configuration complète. En ce qui concerne l'électronique de commande, le schéma fonctionnel de la figure 2 dévoile une structure très dépourillée : un circuit d'horloge, un compteur binaire et une EPROM assurant le décodage des feux.

## PRINCIPE DE FONCTIONNEMENT

Un cycle d'allumage complet des feux a été décomposé en 16 phases successives de durées identiques (figure 3), numérotées de 0 à F (en hexadécimal !). Chaque feu est maintenu au rouge pendant 9 phases, puis au vert pendant 6 phases, et enfin à l'orange pendant une seule phase. La durée totale du feu rouge est évidemment plus longue que celle du feu vert afin d'éviter tout risque de collision entre deux automobilistes trop pressés. Un compteur binaire (CD 4020) assure la différenciation de ces phases, en délivrant une information logique croissante

sur 4 bits, de 0000 à 1111 (4 bits assurent  $2^4$  combinaisons, soit 16 combinaisons). La durée de chacune des 16 phases est déterminée par un circuit d'horloge intégré, le NE 555. A partir de la mise sous tension du montage, ce circuit délivre des impulsions en permanence : lorsque la dernière phase d'un cycle sera atteinte, les sorties du compteur vont automatiquement repasser à zéro et recommencer un nouveau cycle.

## ENCODAGE LOGIQUE DU DISPOSITIF

La table de vérité de la figure 4 permet de faire apparaître la configuration d'allumage des 6 LED en fonction du code binaire sur 4 bits délivré chronologiquement par le compteur. On fait correspondre à chaque voyant un bit de sortie de l'EPROM (nous avons choisi D0 pour le feu rouge, D1 pour O1, D2 pour V1, etc.). A partir de ce tableau, il devient facile de transposer la séquence de fonctionnement souhaitée dans une EPROM. En effet, puisque les sorties du compteur sont reliées aux adresses A3, A2, A1 et A0 de l'EPROM, il suffit de programmer aux adresses correspondantes (\$0000 à \$000F) la donnée sur 8 bits formée par la configuration d'allumage désirée. La partie droite du tableau indique les adresses de l'EPROM à programmer en hexadécimal, ainsi que les données hexadécimales qui lui sont destinées. Précisons que la transposition du code binaire (désigné généralement par le symbole %, et qui précise l'état de chacun des bits de sortie D0 à D7) en code hexadécimal (désigné par le symbole \$) se fait par blocs de 4 bits :

%0000 donne \$0,  
%0001 donne \$1,  
%0010 donne \$2,  
... et ainsi de suite jusqu'à %1111 qui correspond à \$F.  
Par extension, on peut en déduire que le mot binaire de 8 bits %00100110 se décompose en

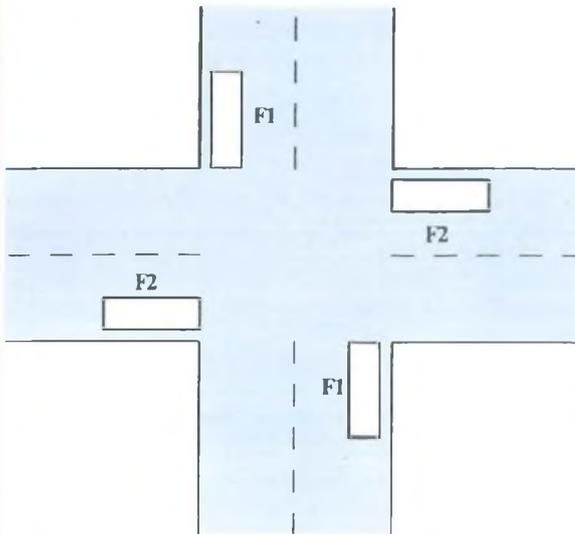


Fig. 1 : Implantation des feux sur le site.

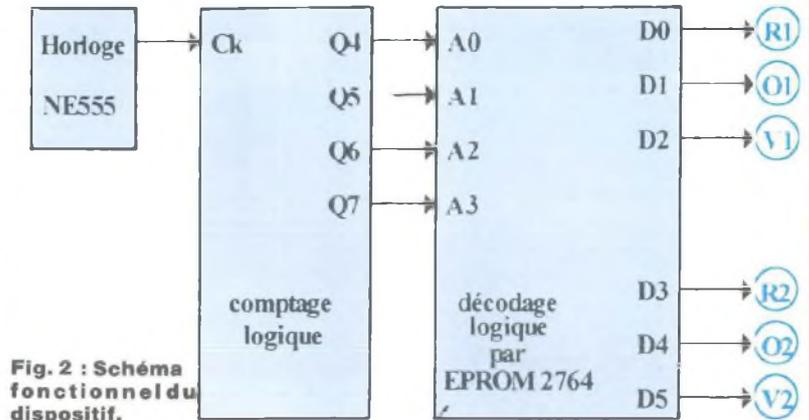


Fig. 2 : Schéma fonctionnel du dispositif.

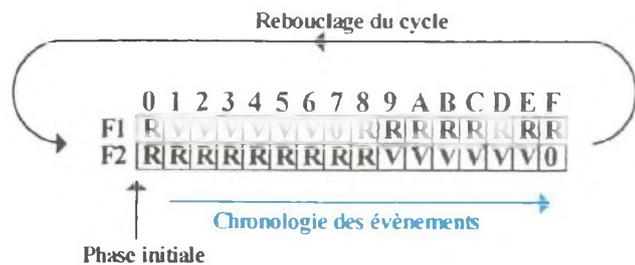


Fig. 3 : Analyse du cycle d'allumage des feux.

Fig. 4 : Table de vérité du cycle d'allumage des feux et contenu de l'EPROM pour les adresses \$0000 à \$000F.

Adresses Eprom/compt				configuration d'allumage des feux				Zone EPROM à programmer					
A3	A2	A1	A0	D7	D6	D5	D4	D3	D2	D1	D0	Adresse Hexa	Data Hexa
Q7	Q6	Q5	Q4	V2	O2	R2	V1	O1	R1				
0	0	0	0	0	0	0	1	0	0	1		0000	\$09
0	0	0	1	0	0	0	0	1	1	0	0	0001	\$0C
0	0	1	0	0	0	0	0	1	1	0	0	0002	\$0C
0	0	1	1	0	0	0	0	1	1	0	0	0003	\$0C
0	1	0	0	0	0	0	0	1	1	0	0	0004	\$0C
0	1	0	1	0	0	0	0	1	1	0	0	0005	\$0C
0	1	1	0	0	0	0	0	1	1	0	0	0006	\$0C
0	1	1	1	0	0	0	0	1	0	1	0	0007	\$0A
1	0	0	0	0	0	0	0	1	0	0	1	0008	\$09
1	0	0	1	0	0	1	0	0	0	0	1	0009	\$21
1	0	1	0	0	0	1	0	0	0	0	1	000A	\$21
1	0	1	1	0	0	1	0	0	0	0	1	000B	\$21
1	1	0	0	0	0	1	0	0	0	0	1	000C	\$21
1	1	0	1	0	0	1	0	0	0	0	1	000D	\$21
1	1	1	0	0	0	1	0	0	0	0	1	000E	\$21
1	1	1	1	0	0	0	1	0	0	0	1	000F	\$11

deux parties 0010 - 0110, soit \$26 !!

Il n'y a bien sûr que 16 octets à programmer dans l'EPROM. Tous les bits d'adresse non utilisés dans l'EPROM doivent être reliés à la masse.

## LE SCHEMA STRUCTUREL

Indiqué en figure 5, il colle de très près au schéma fonctionnel. L'horloge nécessite trois composants

externes pour déterminer la fréquence du signal de sortie. La durée d'une impulsion de sortie est calculée à partir de la relation suivante :

$$T(s) = 0,69(R7 + 2.R8).C1$$

La fréquence correspond à l'inverse de la période, soit :

$$F(Hz) = \frac{1}{0,69(R7 + 2.R8).C1}$$

Prenons par exemple une phase de 1 seconde (soit un cycle complet de 16 secondes). On notera auparavant

que la première sortie utilisée sur le compteur est la sortie Q4, qui change d'état toutes les 16 impulsions d'horloge. La durée réelle d'une phase correspondra donc à la période d'horloge multipliée par 16. Ainsi, il est nécessaire de diviser la période de sortie du NE555 par cette valeur pour obtenir une phase de durée adéquate en sortie du compteur !

Revenons à notre exemple de 1 seconde : la période de sortie du

# COMMANDE DE FEUX TRICOLORES PAR 2764

NE 555 devra donc être de  $1/16^{\circ}$  de seconde, soit 62 ms environ. On choisit arbitrairement R7 à 10 k $\Omega$  et R8 à 100 k $\Omega$  pour notre calcul, ce qui nous permet d'en déduire la valeur de C1 :

$$C1 = \frac{\text{durée}/16}{0,69(R7 + 2.R8)} = \frac{62 \cdot 10^{-3}}{0,69(10 \cdot 10^3 + 200 \cdot 10^3)} = 430 \text{ nF}$$

(Soit 470 nF en valeur normalisée !). Chaque sortie de l'EPROM est limitée en courant par une résistance de 220  $\Omega$  avant d'attaquer les diodes rouges, oranges et vertes des feux. La broche Reset du compteur est rendue inactive en la reliant à la masse. Les entrées  $\overline{OE}$  et  $\overline{CE}$  de l'EPROM sont à la masse pour valider les sorties, tandis que les broches PGM et VPP doivent être connectées à l'alimentation positive en mode lecture.

## REALISATION PRATIQUE

Le tracé des pistes est indiqué en figure 6, l'implantation des composants en figure 7. On notera la présence de 6 straps qui évitent la réalisation d'un circuit imprimé en double face. Sur l'implantation, C1 est présenté sous la forme d'un condensateur chimique : si vous désirez augmenter la durée d'un cycle, l'utilisation d'un condensateur de valeur supérieure au  $\mu\text{F}$  passe nécessairement par la mise en œuvre d'un condensateur chimique qui est polarisé : dans ce cas, vous savez à l'avance dans quel sens il doit être monté sur le circuit imprimé. Notez que les diodes sont également polarisées : sur les modèles de 5 mm de diamètre, un méplat indique la cathode qui est la borne la plus négative. Les versions de 3 mm de diamètre ont leur cathode repérée par la broche la plus courte.

## PROGRAMMATION DE A A Z DE L'EPROM 2764

Une petite précision : ce paragraphe est valable aussi bien pour la 2716

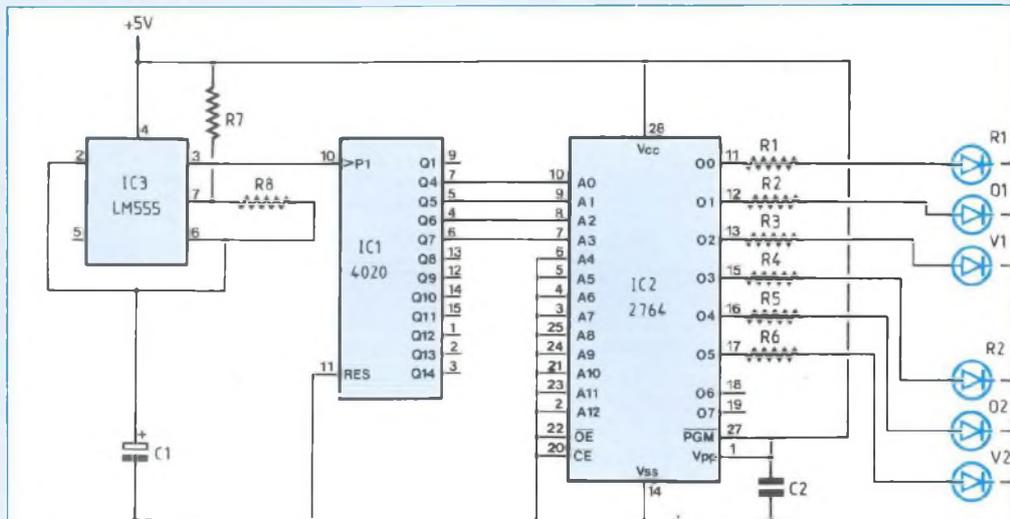


Fig. 5

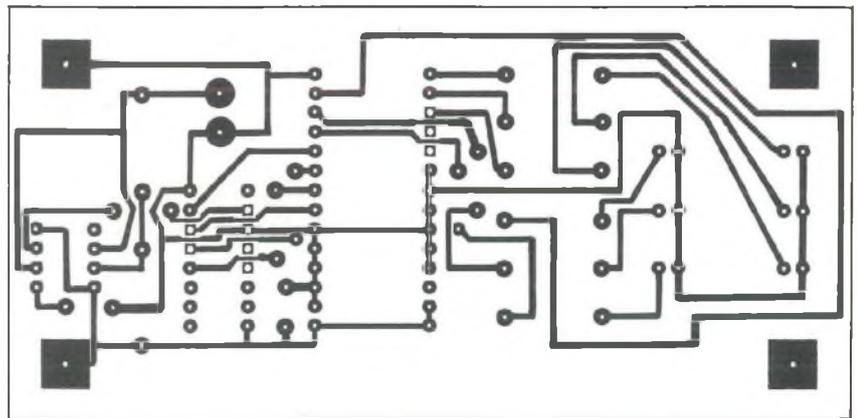


Fig. 6

que pour la 2764 ou tout autre EPROM du type 27 XXX. Il suffit de modifier légèrement le circuit imprimé en fonction de l'EPROM utilisée. Considérant que vous possédez tous les brochages des EPROM que vous utilisez couramment, nous n'en dirons pas plus. D'ailleurs, les caractéristiques de la 2716 à la 27256 ont été détaillées lors de la description des programmeurs

autonomes PROGEMA-1632 (pour les 2716 et 2732) et PROGEMA-6456 (programmation des 2764, 27128 et 27256). Considérons que vous avez sous la main notre programmeur de 2764 :

1. Sélectionnez le menu "sélection EPROM", puis validez la 2764.
2. Sélectionnez le menu "sélection de Vpp", puis validez la tension adé-

# POUR LES MODELISTES

## NOMENCLATURE DES COMPOSANTS

### • Résistances $\pm 5\%$ - 1/2 W

R1 à R6 - 220  $\Omega$   
R7 - 10 k $\Omega$   
R8 - 100 k $\Omega$  à 1 M $\Omega$  (voir texte)

### • Condensateurs

C1 - 470 nF  
C2 - 470 nF

### • Semiconducteurs

IC1 - 4020 (CD4020, 74HCT4020, 74HC4020)  
IC3 - LM555, NE555  
IC2 - 2764  
R1, R2 - LED rouge  
O1, O2 - LED orange  
V1, V2 - LED verte

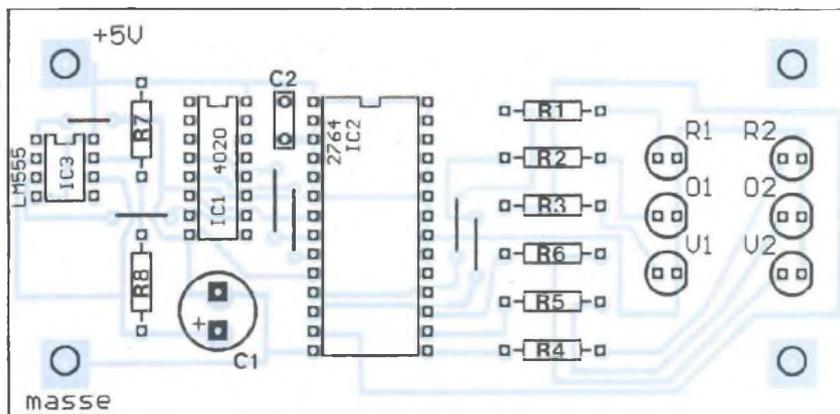


Fig. 7

quate (dans le doute, commencez par une tension de 12,5 V).

3. Effectuez un test de virginité de l'EPROM à programmer, à partir du menu "Test virginité". N'implantez le composant sur son support que lorsque le voyant d'alimentation de PROGEMA-6456 est éteint !

4. Si le test est positif (l'afficheur indique "EPROM vierge"), vous pouvez appeler le micro-éditeur.

Sinon, il faut changer d'EPROM ou effacer son contenu par une séance de bronzage forcée (aux ultraviolets, bien sûr. N'essayez pas le jus de carotte, ça ne marche que sur les humains !).

5. Tout s'est bien passé et vous voilà dans le micro-éditeur intégré de PROGEMA (bon, rassurez-vous, c'est une image : vous êtes confortablement assis dans votre fauteuil,

devant votre bureau et une goutte de sueur — témoin de l'anxiété grandissante — commence à perler sur votre front). L'afficheur indique l'adresse de base 0000 ainsi que la donnée présente dans la RAM à cette adresse (par exemple FF). Le curseur est placé sur l'adresse de poids fort : appuyez 4 fois sur la touche "0" pour valider l'adresse \$0000 et placez le curseur sur la zone de données.

6. Inscrivez la donnée correspondante (09) et validez par une action sur la touche la plus à droite des touches de fonction. L'adresse s'incrémente automatiquement, permettant d'inscrire directement la donnée suivante. N'oubliez pas de valider à chaque donnée, même la dernière (11) située à l'adresse \$000F. Quittez le micro-éditeur lorsque cette procédure est terminée.

7. Sélectionnez le menu "Programmer EPROM". A la demande de l'afficheur, placez l'EPROM sur son support, puis validez. Indiquez l'adresse de base à programmer (0000), puis l'adresse finale (000F). La programmation commence...

Si tout s'est bien passé, l'afficheur indique "2764 programmée".

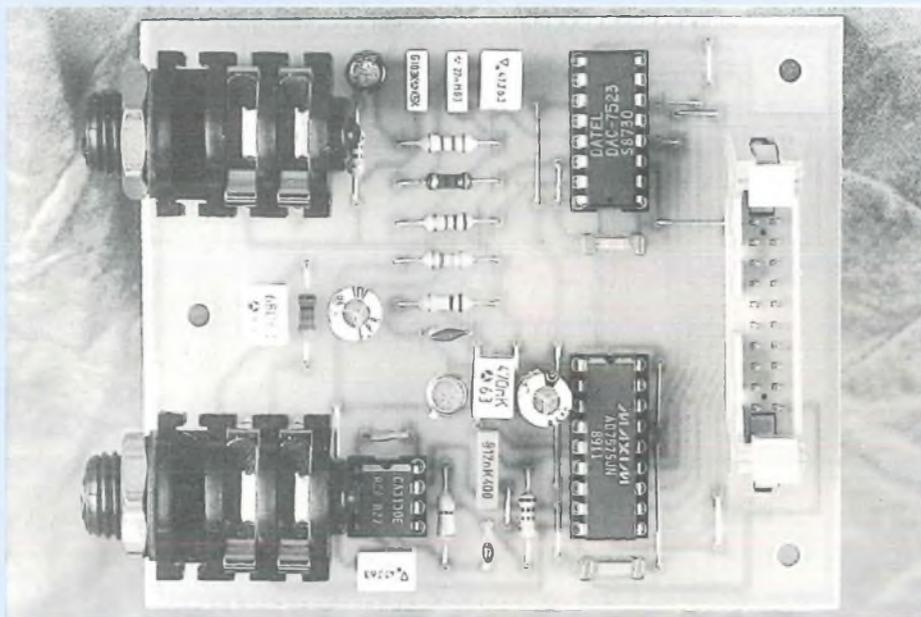
Dans le cas contraire, l'afficheur indique l'adresse à laquelle la programmation a échoué. Gardez votre calme et dites-vous qu'il doit y avoir une explication rationnelle à ce fâcheux contretemps. Tentez un nouvel essai avec une autre EPROM.

## CONCLUSION

Il ne reste plus qu'à implanter l'EPROM programmée dans le montage qui doit être alimenté sous 5 V uniquement. Si vous envisagez d'utiliser deux feux en parallèle sur chaque sortie, il faut rajouter pour chaque diode supplémentaire une résistance de 220  $\Omega$  depuis les broches de sortie de l'EPROM. Encore une suggestion : ce montage, associé à une fréquence d'horloge plus élevée, pourrait servir de base à un jeu de lumière programmable (chenillard !!!).

Bernard Dalstein

# ECHANTILLONNEUR AUDIO 8 BITS POUR ATARI ET PC



2<sup>ème</sup> partie

## PROGRAMMES DE GESTION

D'abord, nous présenterons quelques techniques de calcul numérique communes au PC et à l'Atari, qui permettent d'obtenir des fonctions de base telles que l'amplification et l'écho. Ensuite, nous passerons en revue le programme dédié à l'Atari, puis celui qui est destiné aux ordinateurs de type "PC". Un format de sauvegarde commun (et un grand standard sur PC) a été utilisé afin d'assurer un passage entre ces deux machines.

**R**appelons que les programmes sont disponibles auprès de Chelles Electronique 77-et sont regroupés sur une seule disquette de 720 ko, qui est compatible aussi bien avec l'Atari-ST que le PC. Vous y trouverez aussi bien les sources que les exécutables, cela afin de satisfaire le plus grand nombre d'utilisateurs potentiels de ces outils.

### REGLES DE BASE EN CALCUL NUMERIQUE

En traitement numérique, il ne suffit pas d'appliquer un coefficient sur chacun des échantillons pour obtenir une amplification en bonne et due forme, loin s'en faut ! Le calcul ne peut se faire que sur des signaux (ou séquences) dont la composante con-

tinue est nulle (c'est-à-dire que le signal doit évoluer entre une valeur négative et une valeur positive selon certaines conditions). Or, il faut se rappeler que les valeurs issues d'un convertisseur 8 bits évoluent entre 0 et 255. La première opération consiste donc à soustraire à chaque échantillon la valeur 128, l'échantillon évoluant alors entre +127 et -128. Cette correction peut être pressentie à l'entrée de la chaîne de traitement numérique, parce que l'absence d'un signal (le niveau 0 du son !) se traduit par un niveau continu à l'entrée du convertisseur égal à la moitié de sa plage de conversion. Le CAN délivre alors en sortie le code 128 ! Ainsi, le fait de soustraire 128 au résultat de conversion permet donc de rétablir (en logique signée) les tendances initiales d'un message audio sans composante continue.

Autre problème : l'application d'un coefficient sur un échantillon risque de lui faire dépasser l'intervalle [+127/-128] et d'entraîner des erreurs lors de la conversion numérique/analogique (le convertisseur 8 bits ne peut traiter que 255 intervalles). Il faut donc créer une saturation numérique en limitant l'excursion du résultat à +127 pour les nombres positifs et -128 pour les nombres négatifs, juste après le dernier calcul sur l'échantillon en cours.

Enfin, le traitement terminé, on rajoutera 128 au résultat final afin de délivrer une valeur comprise entre 0 et 255 au convertisseur numérique/analogique. En définitive, l'algorithme de traitement d'un fichier de "n" échantillons prendra la forme ci-dessous :

```

début fonction:
...pour i de 1 à n faire
...lire l'échantillon de rang i, éch(i)
...éch(i) <= éch(i) - 128
...[exemple:] résultat(i) <= éch(i) x 1,5
...si résultat(i) > 127, alors résultat(i) = 127
...si résultat(i) < -128, alors résultat(i) = -128
...résultat(i) <= résultat(i) + 128
...remplacer l'échantillon de rang i par résultat(i)
...fin pour
fin fonction
    
```

# ACQUISITION ET RETRANSMISSION DU SON

Cette procédure devra s'appliquer à toute forme de calcul sur les échantillons, faute de quoi le résultat risquerait de surprendre désagréablement. A travers l'algorithme précédent, nous avons traité le cas de l'amplification par 1,5, qui se fait alors très simplement dans le noyau actif de la fonction. La procédure utilisée dans le programme Digison pour Atari est indiquée en figure 1. Elle présente une structure légèrement plus complexe en raison de la présence de deux boucles imbriquées qui permettent l'affichage clignotant du message "calcul en cours", ainsi que du pourcentage de calcul effectué. Etant donné les temps de calculs, cette variante s'avère indispensable. Voyons maintenant comment simuler l'écho ou la réverbération.

## L'ECHO ET LA REVERBERATION

Physiquement, l'écho correspond à la répétition d'un son par réflexion sur des parois éloignées, principalement en milieu extérieur. Ces réflexions peuvent toutefois être multiples, ce qui implique la répétition successive du son atténué jusqu'à l'extinction totale.

La réverbération apporte au son un effet de traînage enrichi d'harmoniques. Le phénomène naturel est issu de réflexions successives et désordonnées sur les obstacles environnants d'un milieu clos (grande pièce vide, piscine couverte).

La simulation de la réverbération est plus délicate que l'écho. Il est envisageable de simuler la réverbération naturelle en associant au moins deux lignes à retard dont les durées sont différentes, avec des filtres de formant. Pour reproduire la réverbération d'ambiance, on fait appel à une gamme de retards compris entre 20 et 40 ms, avec un taux de réinjection assez élevé (60 à 90%). L'écho requiert des retards plus conséquents, de 80 à 900 ms, mais avec un taux de réinjection plus faible (20 à 60%).

```
Rem -----
Rem --- effet amplification ---
Rem -----
Procedure Gain
Gosub Effacement
Gosub Affichage
Color 1
Q=0
Bu%=Varptr(Buf%(0))
Ca$="calcul en cours"
Da$="          %"
Ea$="calcul en cours"
Text 22,30,Ea$
For J%=0 To 99 !boucle %
  Jj%=J%
  Mul Jj%,(Taille Div 100)
  For I%=1 To (Taille Div 100)
    Echantillon%=Peek(Bu%-1+I%+Jj%)-128
    Mul Echantillon%,1.5
    If Echantillon%>127 Then
      Echantillon%=127
    Endif
    If Echantillon%<-128 Then
      Echantillon%=-128
    Endif
    Poke Bu%-1+I%+Jj%,Echantillon%+128
  Next I%
  Text 22,30,C$
  Text 220,30,J%
  If Q=0 Then
    Text 22,30,D$
    Text 220,30,J%
  Endif
  Q=Not Q
Next J%
Gosub Affichage
Return
```

Fig. 1

Le taux de réinjection correspond à la proportion de mélange entre le son direct présent à un moment donné (conservé à 100%) et le son retardé précédemment, qui doit être atténué par rapport au premier (entre 20% et 80% de sa valeur initiale). Dans les trois effets proposés en standard (réverb., écho1 et écho2), l'algorithme utilisé est rigoureusement le même et les seuls paramètres qui sont modifiés sont la durée du retard et le taux de réinjection.

## ALGORITHME DE TRAITEMENT DE L'ECHO PAR PROGRAMMATION

On respectera les règles évoquées

précédemment quant à la préparation des échantillons. Le noyau du traitement opérera comme suit : on rajoute à l'échantillon de rang "i", un certain pourcentage de l'échantillon placé "r" adresses en arrière. (Par exemple prof=0,6 pour 60%, "r" représentant le retard déterminé par la distance en nombre d'octets qui sépare les deux échantillons.) On a appelé "prof" le taux de réinjection, par analogie avec la profondeur de l'effet obtenu à l'écoute. Le calcul ne débutera qu'à partir du "r"ième échantillon, puisque aucun traitement ne peut être effectué sur les "r" premiers échantillons. L'algorithme de traitement de l'écho sur un fichier de "n" échantillons prendra la forme ci-dessous :

```
début fonction écho:
..pour i de r à n faire
.....lire l'échantillon de rang i, éch(i)
.....éch(i)<=éch(i) - 128
.....lire l'échantillon de rang i-r, éch(i-r)
.....éch(i-r)<=éch(i-r) - 128
.....résult(i)<=éch(i) + éch(i-r) x 0,6
.....si résult(i)>127, alors résult(i)-128
.....si résult(i)<-128, alors résult(i)=-128
.....résult(i)<=résult(i)+128
.....remplacer l'échantillon de rang i par résult(i)
fin pour
fin fonction écho
```

Ici encore, le noyau actif de la fonction tient sur une seule ligne ! La procédure de calcul utilisée dans Digison est indiquée en figure 2. Elle présente également une structure utilisant les deux boucles imbriquées qui assurent à l'utilisateur le suivi du calcul en cours. Le nombre de passages dans chaque boucle dépend des paramètres "durée" et "delay" initialisés lors de la sélection d'un effet. Le produit de ces deux paramètres doit correspondre exactement au nombre d'octets de la séquence, moins une fois le nombre "delay" puisque le calcul n'est effectué qu'à partir du "delay"ème échantillon ! La première ligne de la procédure Echo permet donc d'effectuer cet ajustement.

```

Rem -----
Rem ----- gestion des Echos -----
Rem -----
Procédure Retards
S1$=" sélection d'un retard:|"
S2$=" réverbération ou écho?"
S$=S1$+S2$
Alert 2,S$,0,"REVERB|ECHO1|ECHO2",S
If S=1 Then
  Delay=400 ! retard = 27ms
  Prof=0.8 ! décroissance lente
  Gosub Echo
Else
  If S=2 Then
    Delay=1000 ! retard = 65ms
    Prof=0.6 ! décroissance moyenne
    Gosub Echo
  Else
    If S=3 Then
      Delay=2000 ! retard = 130ms
      Prof=0.5 ! décroissance rapide
      Gosub Echo
    Endif
  Endif
Endif
Return
Rem -----
Rem -- effet de réverbération ou écho --
Rem -- algorithme de calcul de l'effet --
Rem pour 30K,100K,300K échantillons
Rem -----
Procédure Echo
Duree=(Taille-Delay)/Delay
Rem ! duree ==> correspond au nombre de
Rem ! boucles à effectuer pour calculer
Rem ! l'écho sur la totalité du buffer.
Rcm
Coeff=(100/Duree) ! incrémentation des %
Rem !coeff indique la progression du calcul
Gosub Effacement
Gosub Affichage
Color 1
Q=0
Bu%=Varptr(Buffer(0))
C$="calcul en cours"
D$=" %"
Text 22,30,"calcul en cours"

```

```

Rem !calcul à partir du delay'ème éch.
Rem
For J%=1 To Duree
  For I%=1 To Delay ! boucle de retard
    Ech_t1%=Peek(Bu%-1+I%+...
      .. Delay*J%)-128
    Ech_t2%=Peek(Bu%-1+I%+...
      .. Delay*(J%-1))-128
    Echantillon%=(Ech_t1%+...
      .. Ech_t2%*Prof)
    If Echantillon%>127 Then
      Echantillon%=127
    Endif
    If Echantillon%<-128 Then
      Echantillon%=-128
    Endif
    Poke Bu%-1+I%+Delay*J%,...
      ..Echantillon%+128
  Next I%
  Text 22,30,C$
  Text 220,30,Trunc(J%*Coeff)
  If Q=0 Then
    Text 22,30,D$
    Text 220,30,Trunc(J%*Coeff)
  Endif
  Q=Not Q
Next J%
Gosub Affichage
Return

```

```

*****
* numériser une séquence audio *
*****

: appel du mode superviseur:
-----
clr.l -(sp)
move.w #$20,-(sp)
trap #1
addq.l #6,sp

: masquer les interruptions!
-----
move.w #$2700,sr
and.b #$FC,S484

: récupération des variables
-----

: adresse de base du buffer
move.l 4(SP),A1
: adresse finale du buffer
move.l 4(SP),A2
add.l 8(SP),A2
: fréquence d'échantillonnage
clr.l D4
move.w 12(SP),D4

: front descendant sur RD\
retour move.b $FB0080,D2
: lecture CAN --> D1
move.b $FA0001,D1
: front montant sur RD\
move.b $FB0081,D2
: stockage data --> buff(n)
move.b D1,(A1)
bsr tempo
:incr pointeur d'échantillon
:et comparer avec adr finale
add #1,A1
cmpa.l A2,A1
bne retour
bra suite

```

Fig. 2

## PRESENTATION DE "DIGISON"

### LE LOGICIEL DESTINE A L'ATARI-ST

L'ensemble des routines de présentation (menus, graphismes) ont été réalisées en Basic-GFA, étant donné que c'est un langage assez puissant, agréable d'emploi et largement dif-

fusé auprès des amateurs (il n'est malheureusement plus disponible à la vente actuellement !). Un autre avantage non négligeable de ce Basic est la possibilité de faire appel aux fonctions du BIOS et de GemDOS, et surtout d'inclure dans nos programmes des routines Assembleur qui sont plus rapides à l'exécution.

Dans le cas de notre échantillon-

neur, il n'est d'ailleurs pas possible d'effectuer une acquisition à plus de 2 kHz environ à partir du Basic, qui est bien trop lent même compilé. Le seul moyen d'exploiter toutes les possibilités de la carte sonore est de passer par l'assembleur du 68000. Rassurez-vous, les noyaux "Assembleur" de notre application sont fournis sur la disquette : après une présentation de ces routines, nous

# ACQUISITION ET RETRANSMISSION DU SON

```
empo move.w d4,d3
boucle sub #1,d3
      bne boucle
      nop ;(+ lus de
      nop ;retard)
      rts

autoriser les interruptions
-----
ite move.w #$2300,sr
      or.b #1,$484

appel du mode utilisateur
-----
move.l D0,-(sp)
move.w #$20,-(sp)
trap #1
addq.l #6,sp

rts ; good bye !
end
```

Fig. 3 : Programme "RECORD1.B".

allons voir comment les appeler à partir du Basic-GFA.

## RECORD1.B ET PLAY1.B

### DEUX ROUTINES COMPLEMENTAIRES EN ASSEMBLEUR

Comme leur nom l'indique, la première est destinée à la numérisation et la seconde à la lecture (ou restitu-

tion) d'une séquence sonore sous 8 bits. Le listing de RECORD1.B est indiqué en figure 3 sous le titre "numériser une séquence audio". La première partie du programme est consacrée à l'appel du mode superviseur (qui est un mode "protégé" du 68000) et au masquage des interruptions du 68000. En effet, pour effectuer une acquisition audio dans de bonnes conditions, il est nécessaire d'interdire toutes les interruptions systèmes de l'Atari (timer, souris, etc.). Sinon, il y aurait perte d'une partie des échantillons du signal pendant l'exécution de ces routines d'interruption et il n'y a que dans le mode "superviseur" du 68000 qu'on a accès aux registres internes qui en assurent le masquage. Le timer interne de l'Atari n'a pas été utilisé pour séquencer les opérations d'échantillonnage afin de simplifier la programmation des routines assembleur.

Ensuite, on effectue la récupération des paramètres transmis à ces routines depuis le Basic-GFA. En effet, pour rester souple à l'utilisation, le programme assembleur a besoin des trois paramètres suivants :

- l'adresse de base du buffer réservé par le Basic-GFA pour la séquence audio à numériser, sur 4 octets (c'est un mot long : par exemple \$F800) ;
- la taille de la séquence à numériser, sur 4 octets également (par exemple 100000 octets) ;
- la fréquence d'échantillonnage sur 2 octets (mot de 16 bits, 29 pour 11 kHz).

Vous remarquerez que ces informations sont transmises par l'intermédiaire de la pile utilisateur du 68000, à partir de son adresse de base + 4 octets. Le dernier paramètre appelle une légère précision : ce n'est pas la fréquence d'échantillonnage en clair qui est à transmettre mais la valeur à placer dans une temporisation logicielle qui déterminera la durée séparant deux échantillons. La correspondance entre cette valeur et la fréquence obtenue est indiquée ci-après.

01 : 54 kHz	13 : 20 kHz
03 : 44 kHz	19 : 15 kHz
05 : 35 kHz	26 : 12 kHz
07 : 30 kHz	29 : 11 kHz
10 : 24 kHz	32 : 10 kHz
11 : 22 kHz	42 : 8 kHz

Les valeurs intermédiaires sont sans intérêt et il est déconseillé de descendre au-dessous de la valeur 42 (8 kHz), la qualité du son se dégradant très vite. La durée d'une séquence correspondra au rapport entre la taille du buffer et la fréquence d'échantillonnage. Par exemple, avec un buffer de 100 000 octets et un taux d'échantillonnage de 11 kHz, la durée de la séquence sera de  $\frac{100\ 000}{11\ 000}$ , soit 9,1

secondes environ. Un Atari doté de 1 Moctet de mémoire peut utiliser un buffer de 720 000 octets environ, ce qui assure 65 secondes d'enregistrement à 11 kHz, 1 mn 30 s à 8 kHz et 33 s à 22 kHz. Le 520ST non gonflé permet de stocker environ 300 octets, ce qui donne environ 27 secondes à 11 kHz. Comme le programme assembleur ne gère pas les disques durs, la capacité maximale de stockage dépendra de la quantité de RAM de votre Atari (un Atari gonflé à 4 Moctets assure plus de 5 minutes d'enregistrement continu !).

Ensuite, l'acquisition de chacun des échantillons d'une séquence est effectuée comme suit :

- Application d'un front descendant sur la broche  $\overline{RD}$  du convertisseur (en appliquant l'adresse \$FB0080 sur le port cartouche). Les sorties du convertisseur sont alors validées et présentent sur le port d'entrée un nouvel échantillon.

- Lecture de l'échantillon à l'adresse \$FA0001. Le contenu est placé à l'adresse courante du buffer prévu à cet effet.

- Inhibition (c'est-à-dire mise au repos) des sorties du convertisseur (en appliquant l'adresse \$FB0081 sur le port cartouche). Cette action est nécessaire pour déclencher une nouvelle conversion analogique/numérique sur IC2.

```

*****
*  lecture d'une séquence audio  *
*****

: l. appel du mode superviseur
:-----
clr.l -(sp)
move.w #$20,-(sp)
trap #1
addq.l #6,sp

: masquer les interruptions:
:-----
move.w #$2700,sr
and.b #$FC,$484

: récupération des variables:
:-----

: adresse de base du buffer
move.l 4(SP),A3
: adresse finale du buffer
move.l 4(SP),A2
add.l 8(SP),A2
: fréquence d'échantillonnage
clr.l D4
move.w 12(SP),D4
: adresse du port de sortie
move.l #$FB0000,D5
bra suite

tempo move.w d4,d3
boucle sub #1,d3
bne boucle
nop ;(+ lus de
nop ; retard)
rts

: lecture de la séquence:
:-----

: lecture factice
suite move.b $FA0001,D2

: associer buff(n) à D5
move.b (A3),D5
move.l D5,A0
    
```

```

: sortie sur le CNA
move.b (A0),D2
bsr tempo
: incr. pointeur d'échantillon
: et comparer avec adr. finale
add #1,A3
cmpa.l A2,A3
bne suite

: autoriser les interruptions!
:-----
move.w #$2300,sr
or.b #1,$484

: retour au mode utilisateur:
:-----
move.l d0,-(sp)
move.w #$20,-(sp)
trap #1
addq.l #6,sp

rts ; good bye !
cnd
    
```

**Fig. 4 : Programme "PLAY1.B".**

```

Rem
Rem *****
Rem * Programme de NUMERISATION et de LECTURE *
Rem * d'une séquence audio au format 8 bits *
Rem *****
Rem
Taille=100000 ! taille du buffer de la séquence
Frequ=19 ! fréq. d'échantillonnage: 15KHz
Dim Buff%(Taille Div 4) ! 1 mot long = 4 octets!
A$=" | on y va? " ! message boite d'alerte
Tab1$=Space$(120) ! réservation d'une zone
Tab2$=Space$(120) ! RAM pour le code 68000
Adr1%=Varptr(Tab1$) ! pointeurs sur la
Adr2%=Varptr(Tab2$) ! zone RAM réservée.
Bload "record1.b",Adr1% ! chargement du code
Bload "play1.b",Adr2% ! assembleur 68000.
Alert 1,A$,0,"oui",S
Void C:Adr1%(L:Varptr(Buff%(0)),L:Taille,W:Frequ)
Alert 1,A$,0,"oui",S
Void C:Adr2%(L:Varptr(Buff%(0)),L:Taille,W:Frequ)
Rem
End
    
```

**Fig. 5**

**Fig. 6 ▶**

pas cette précaution, la lecture se ferait à une vitesse imperceptiblement plus élevée qu'à l'enregistrement. Ensuite, on place en sortie l'échantillon pointé dans le buffer par l'intermédiaire du bus d'adresse à partir de l'adresse \$FB0000 (on effectue la somme entre cette valeur et la donnée à placer en sortie), l'octet de poids faible de cette adresse (située entre \$FB0000 et \$FB00FF) étant directement dirigé sur le convertisseur numérique/analogique.

### UN EXEMPLE D'INTERFACE SIMPLE ENTRE LE BASIC-GFA ET LES ROUTINES EN ASSEMBLEUR

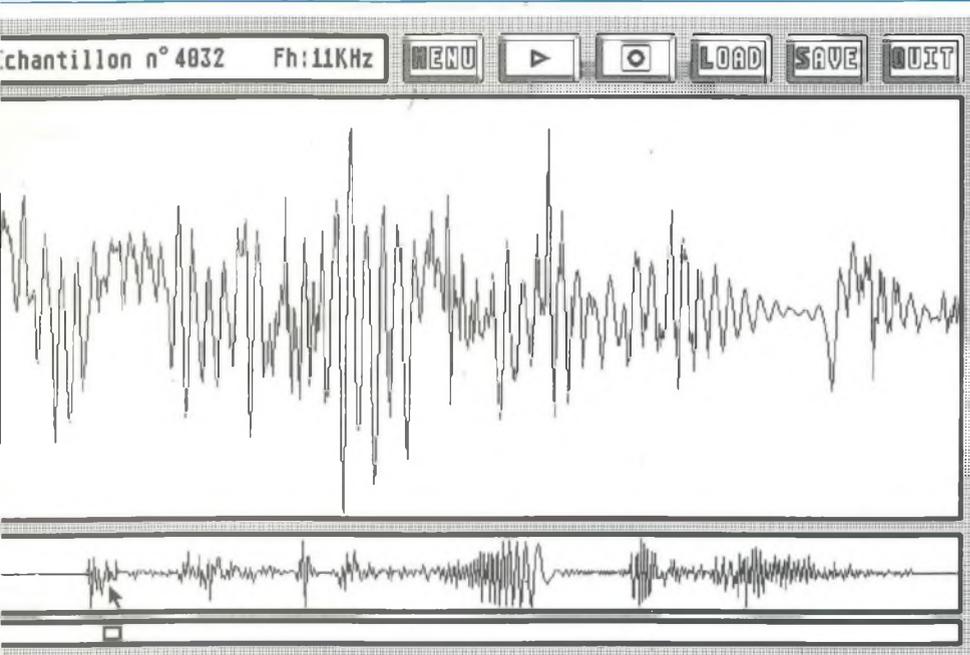
Un programme de démonstration, surtout destiné aux bidouilleurs qui voudraient créer leur propre application, est indiqué en figure 5. Il assure uniquement l'enregistrement suivi de la lecture d'une séquence audio numérisée sous 8 bits : ni sauvegarde, ni traitement !

On définit d'abord la taille maximale de notre séquence audio (par exemple taille=100 koctets), la fréquence d'échantillonnage (ici Frequ=19 pour 15 kHz) et on demande au GFA la réservation d'un buffer

Lorsqu'on a entièrement rempli le buffer, on ré-autorise les interruptions avant de quitter le mode superviseur du 68000. Puisque l'appel de la routine "RECORD1.B" est effectué au même titre qu'un sous-programme du Basic (Gosub), il est nécessaire de terminer le programme par un RTS (Return To Subroutine) qui correspond à l'instruction "Return" du Basic-GFA. Le listing du PLAY1.B est indiqué en

figure 4, sous le titre "lecture d'une séquence audio". Les informations concernant le mode superviseur, les interruptions et la saisie des paramètres sont identiques et nous n'y reviendrons pas. La zone consacrée à la lecture d'un échantillon commence par une lecture factice (move.b \$FA0001,D2) afin d'ajuster la durée de cette séquence avec la durée des instructions du programme précédent. Si on ne prenait

# ACQUISITION ET RETRANSMISSION DU SON



(Buff%) composé d'entiers : comme un entier vaut 4 octets, sa capacité vaudra "taille" divisé par 4. Ensuite, on réserve deux tables de 120 octets (Tab1\$ et Tab2\$) pour chacune des routines en assembleur. Adr1% et Adr2% pointent les adresses de base de ces tables. Il ne reste plus qu'à charger les programmes en langage machine avec l'instruction BLOAD, en indiquant le fichier à charger et l'emplacement qui lui est réservé (par exemple Bload "Record1.B",Adr1%).

Enfin, le lancement de chacune des routines en assembleur est obtenu à partir de la fonction "C:", qui permet d'ailleurs de récupérer des paramètres en retour le cas échéant. La syntaxe est la suivante :

Void C:

<Adr>(L:<B>,L:<C>,W:<F>)

<Adr> représente l'adresse de base de la routine, située ici en Adr1%.

<B> représente l'adresse de base du buffer, indiqué par Varptr(Buff%).

<C> représente la capacité du buffer en octets, et <F> la fréquence d'échantillonnage.

## DIGISON : L'ENVIRONNEMENT GRAPHIQUE DU SEQUENCEUR 8 BITS

Pour fixer rapidement les idées, l'illustration de la figure 6 présente l'écran de travail de Digison, qui est assez complet mais évidemment perfectible. Quatre zones horizontales sont différenciables de haut en bas :

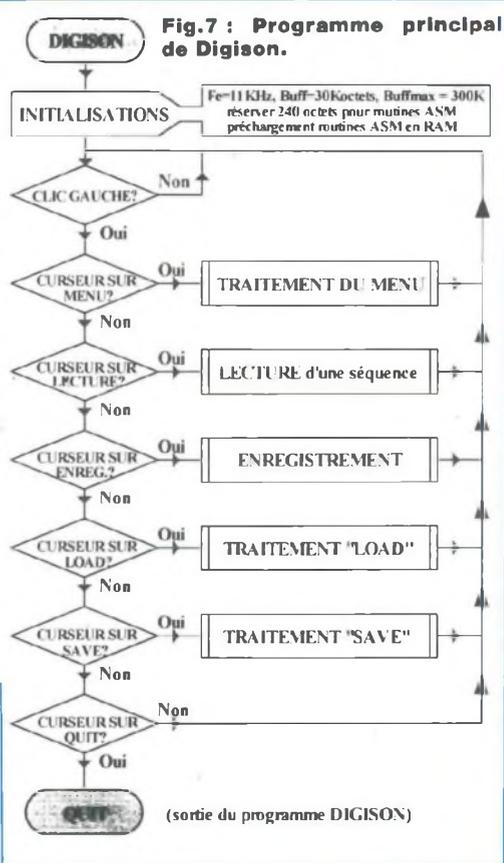
- la barre des menus, dotée d'une fenêtre alphanumérique et des boutons d'accès aux fonctions principales ;

- la représentation "zoomée" d'une partie de la séquence sonore chargée en RAM ;

- la représentation comprimée de la séquence complète (tout en bas) ;

- la barre du curseur précisant la région de la séquence qui a été zoomée.

La fenêtre alphanumérique renseigne l'utilisateur sur certains paramètres qui dépendent de la fonction activée. Sur l'exemple de la figure 6, elle indique le numéro de l'échantil-



lon pointé par la souris dans la zone comprimée et la fréquence d'échantillonnage sélectionnée. Les fonctions accessibles directement sont la lecture, l'enregistrement, le chargement et la sauvegarde d'une séquence audio avec, bien sûr, la possibilité de quitter le programme. La fonction "menu", qui n'est pas très explicite, donne accès à une multitude de menus intermédiaires que vous pourriez compléter ultérieurement.

Digison est composé d'un programme principal très dépouillé, dont la fonction consiste essentiellement à effectuer toutes les initialisations d'usage, gérer la barre des menus et appeler les procédures demandées par l'utilisateur. Le diagramme de la figure 7 présente l'organisation du programme principal ainsi que la hiérarchie de recherche d'une fonction dès qu'un clic a

été détecté sur le bouton gauche de la souris. L'écran de base a été réalisé à partir d'un dessin au format Degas (extension \*.PI3). C'est une technique qui permet de concevoir rapidement (et agréablement !) un panneau de contrôle sophistiqué.

## LES FONCTIONS DIRECTES DE L'ECRAN DE TRAVAIL

Un clic sur la fonction "lecture" assure le passage des paramètres actifs à la routine assembleur "Play1.B" qui est lancée directement.

Un clic sur la fonction enregistrement déclenche préalablement l'effacement des fenêtres d'affichage de la séquence précédente, avant d'appeler la routine assembleur "Record1.B". A la fin de l'échantillonnage, la nouvelle séquence est affichée à l'écran.

La fonction "chargement" assure la lecture sur disque d'une séquence sonore au format SPL, sous réserve qu'elle fasse au maximum 300 k-octets. La fonction "sauvegarde", par contre, permet de sauver sur disque soit l'écran de travail en cours au format Degas, soit la séquence audio sur une durée déterminée dans l'une des fonctions du "menu". Un format de sauvegarde compatible avec le PC est proposé (le format "VOC", créé par Creative Labs pour sa carte "Sound-Blaster"). Cependant, il est prévu uniquement pour la sauvegarde des échantillons séquencés à 11 kHz, dont l'en-tête et le format sont reconnus par toutes les générations de cartes compatibles avec la Sound-Blaster.

## LE FORMAT DEGAS

### 640 x 400

L'enregistrement au format Degas est présenté en figure 8, sous la forme d'un programme réalisé en Basic-GFA. Le fichier à créer, placé temporairement dans la chaîne de caractère D\$, comporte quatre zones :

— une en-tête précisant le mode graphique, sur **deux octets** (cette information peut être récupérée dans un mot de 16 bits (word) à l'adresse \$FF8260 sur l'Atari-ST). Seuls les deux bits D0 et D1 renseignent sur le mode graphique en cours :

[00] pour le mode 320 x 200, [00] pour sa correspondance hexadécimale ;

[01] pour le mode 640 x 200, [01] pour sa correspondance hexadécimale ;

[10] pour le mode 640 x 400, [02] pour sa correspondance hexadécimale ;

— une en-tête précisant la palette des couleurs utilisées, l'information étant recueillie sur **32 octets** à partir de l'adresse \$FF8240. En fait, l'écran monochrome n'utilise que le bit D0 du premier registre de palette, qui définit la couleur du fond, mais le format Degas prévoit une sauvegarde de la palette complète ;

— suivent les **32 000 octets** de l'écran actif, dont l'adresse de base est fournie par la fonction 2 du BIOS étendue de l'Atari-ST ;

— enfin, une séquence de **32 octets** conclut le fichier dont l'extension doit porter la mention "PI3".

Le fichier final comporte donc **32 066 octets au total**, son nom pouvant être modifié à partir d'une boîte de sélection de fichier du Basic-GFA.

## LA FONCTION "MENU"

### DE L'ECRAN DE TRAVAIL

Elle permet d'accéder au paramétrage de l'environnement de travail (fréquence d'échantillonnage, durée d'une séquence) et au traitement numérique des échantillons (amplification et écho). L'organigramme de la figure 9 met en évidence l'arborescence des chemins d'accès aux différentes fonctions du menu, avec les deux branches principales précisées plus haut (paramètres à gauche et effets à droite), qui constituent le sous-menu de niveau 1. Deux autres

#### Procedure Sauve ecran

```
Data 0,0,0,1,0,2,0,3
Data 0,0,0,1,0,2,0,3
Data 0,1,0,1,0,1,0,1
Data 0,&h80,0,&h54,0,&h2A,0,0
D$=Chr$(0)+Chr$(2)
For J=0 To 31
  D$=D$+Chr$(Peek(&HFF8240+J))
Ncxt J
D$=D$+Space$(32000)
Bmove Xbios(2),Varptr(D$)+34,32000
For J=0 To 31
  Read A%
  D$=D$+Chr$(A%)
Next J
Restore
Fileselect "A:*.pi3","IMG1.PI3",I$
If I$<>" " Then
  Bsave I$,Varptr(D$),32066
Endif
Return
```

Fig. 8

niveaux sont utilisés pour accéder à toutes les fonctions proposées en standard dans Digison.

## MENU DE NIVEAU II

### "FREQUENCE/DUREE"

Il donne accès aux menus de niveau III "fréquence d'échantillonnage" et "taille du buffer", qui conditionnent tous les deux la durée d'une séquence sonore. Le premier initialise le paramètre de temporisation à transmettre à la routine assembleur lors d'une lecture ou d'un enregistrement parmi trois valeurs prédéfinies. Le second propose trois tailles de buffer, paramètre qui sera lui aussi transmis en temps utile à l'une des routines assembleur. La branche de paramétrage est traitée très rapidement puisqu'il ne s'agit ici que de modifier la valeur d'une variable du Basic-GFA. Seuls l'effacement et le rafraîchissement des fenêtres graphiques prennent quelques secondes. Il n'en est pas de même pour la deuxième branche principale qui est assignée aux effets numériques.

# POSITION ET RETRANSMISSION DU SON

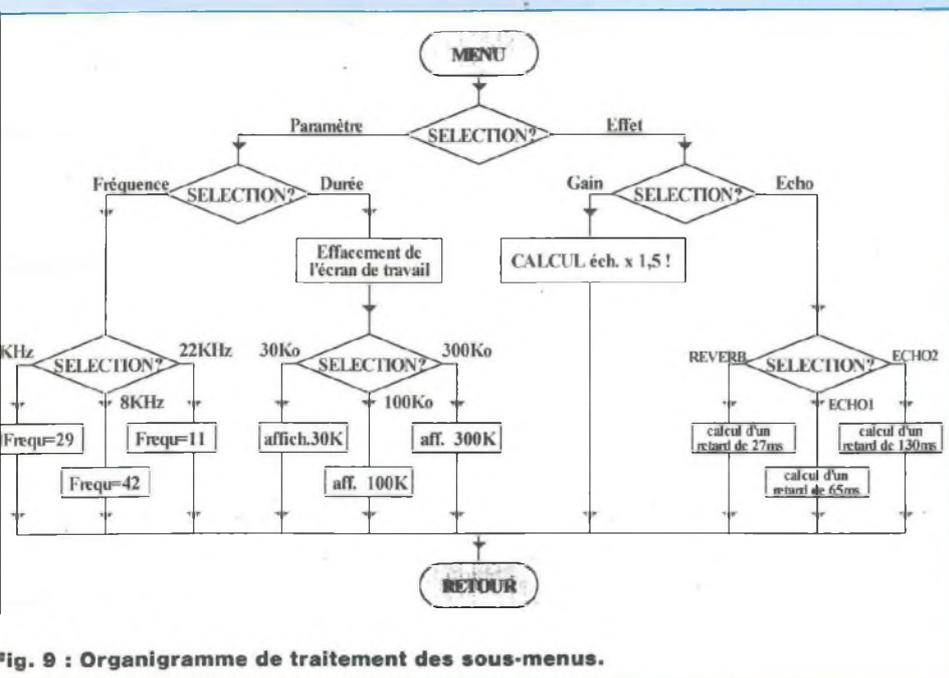


Fig. 9 : Organigramme de traitement des sous-menus.

## MENU DE NIVEAU II

### "GAIN/ECHO"

Il donne accès à deux traitements particuliers : l'amplification du signal par un coefficient de 1,5 (on peut obtenir plus en utilisant plusieurs fois cette option !) et l'écho,

qui simule le passage du signal dans une ligne à retard. Cet effet, assez spectaculaire, est décliné en trois versions bien que ce soit exactement le même principe qui est appliqué pour chacune d'elles :

— réverbération (simulation d'une grande salle, appelée aussi "effet

cathédrale"). On utilise un retard de 37 ms ( $F_e = 11$  kHz) pour obtenir le son caractéristique d'une réverbération ;

- écho 1 (retard de 88 ms avec  $F_e = 11$  kHz) ;
- écho 2 (retard de 177 ms avec  $F_e = 11$  kHz) ;

la durée des retards dépend de la fréquence d'échantillonnage et on obtient par exemple une réverbération de 27 ms avec  $F_e = 15$  kHz.

### C'EST TOUT POUR AUJOURD'HUI !

On fait une pause et on se retrouve dans un mois pour la description d'un programme destiné au PC (à partir des 386DX40, 486SX25... 33... 40, 486DX, etc.). Les 80286 sont trop lents pour assurer la gestion des cartes VGA dans de bonnes conditions, sans parler de l'acquisition qui n'est possible qu'en dessous de 5 kHz en passant par le port imprimante !! Mis à part ce détail, épineux pour certains, la version "PC" du logiciel n'a rien à envier à la version Atari : les calculs sont au moins dix fois plus rapides, la gestion de l'écran graphique est fluide à partir des 80486 (surtout grâce à la présence du bus local !) et les sauvegardes sont assurées dans les formats Voc et Wave.

Bernard Dalstein

## PETITES ANNONCES GRATUITES

Vds ou éch. ampli sono Redson 2 x 50 watts / 8 ohms + ampli sono 2 x 200 watts / 4 ohms : 3 000 F ou contre préampli Hi-Fi avec télécommande si possible ; ou contre 1 paire HP Audax PR 330 MO. Tél. : 22.88.00.85

Vds Led n°s 15, 18, 27, 29, 30, 31, 33, 43 à 51, 62, 63, 65, 73, 83 à 86, 89 à 107, 114 à 128 : 12 F le numéro + frais d'envoi. Vds livres "Faites de l'argent avec votre micro", "Le hardsoft ou la pratique des microprocesseurs" (Editions ETSF), "Technologie des circuits imprimés" (Editions Radio), Data Books CI linéaires, TTL, HCMOS, microprocesseurs, mémoires, opto. Liste complète sur demande à P. Gelineau : 15, rue des Bleuets 49120 St Georges-des-Gardes. Tél. : 41.62.76.32

# Accessible à tous

à la recherche de l'électronique de Georges Matoré



## Pour assimiler facilement les bases de l'électronique

Voici quatre tomes indispensables à tous ceux qui désirent avoir une connaissance approfondie de l'électronique, cette technologie qui nous envahit chaque jour davantage. Sans la moindre base en la matière, l'enchaînement des chapitres vous donnera un niveau d'instruction très honorable allié à un savoir-faire enviable. La première partie vous fera découvrir les phénomènes essentiels reproductibles ainsi que les lois qui les gouvernent. La seconde vous éclairera sur la dynamique du transistor, composant né en 1947 dans les laboratoires de la Bell Company. La troisième vous amènera au pays de composants, de circuits spéciaux et la quatrième dans l'exploitation de la connaissance en vous livrant à la conduite de projets.

Ces quatre tomes pour tout savoir sur l'électronique sont édités par le département Editions Fréquences d'EMPPS et diffusés par Eyrolles, 61, Bd Saint-Germain, 75240 Paris Cedex 05.



### BON DE COMMANDE

Bon de commande à retourner à EMPPS département Editions Fréquences, 1, boulevard Ney, 75018 Paris.

- Je désire recevoir « A LA RECHERCHE DE L'ELECTRONIQUE » TOME 1 au prix de 162 F, port compris
- Je désire recevoir « A LA RECHERCHE DE L'ELECTRONIQUE » TOME 2 au prix de 162 F, port compris
- Je désire recevoir « A LA RECHERCHE DE L'ELECTRONIQUE » TOME 3 au prix de 177 F, port compris
- Je désire recevoir « A LA RECHERCHE DE L'ELECTRONIQUE » TOME 4 au prix de 220 F, port compris
- Je désire recevoir « A LA RECHERCHE DE L'ELECTRONIQUE » TOME 1, TOME 2, TOME 3 et TOME 4 au prix de 720 F, port compris

NOM \_\_\_\_\_ PRENOM \_\_\_\_\_

ADRESSE \_\_\_\_\_

CODE POSTAL \_\_\_\_\_ VILLE \_\_\_\_\_

Ci-joint mon règlement par :  C.C.P.  Chèque bancaire

# CHELLES ELECTRONIQUES 77

20, av. du Maréchal Foch 77500 Chelles  
Tél. : 64 26 38 07 / Télécopieur : 60 08 00 33

Nous acceptons les bons de l'Administration - Conditions spéciales aux écoles, centres de formation, clubs d'électronique, etc. - PAS DE CATALOGUE

## NOUVELLE GAMME AUDAX

TWEETER LINE (A)		AWO25S1		310 F		HM210G0		495 F		HT100K0		255 F		PROFESSIONAL LINE (B)	
Réf.	PU TTC	AWO25S3		285 F	HM100C0		380 F	HT130K0		335 F	PR120I1		430 F		
TWO10E1	48 F	TWO34X0		285 F	HM130C0		415 F	HT170K0		370 F	PR130I1		710 F		
TWO10F1	45 F	TWO37Y0		295 F	HM170C0		510 F	HT210K0		415 F	PR170M0		555 F		
TWO10I1	85 F	TWO56A1		40 F	HM210C0		615 F				PR170X0		595 F		
TWO10P1-4*	55 F	TW110F1		250 F	<b>CLASSIC SERIES (A)</b>		HC100A1		85 F	PR240M0		640 F			
AWO10E1	70 F	TW110T1		275 F	HT080M0		135 F	VE100A0		95 F	PR240T0-4*		640 F		
TWO14B5-4*	85 F	<b>PRESTIGE SERIES (B)</b>			AT080M0		150 F	VE100A2-50*		115 F	PR300M0		680 F		
TWO14F1	70 F	HM100X0		375 F	AT100M0		185 F	VE100A4-4*		100 F	PR300T0-4*		680 F		
TWO14G1	75 F	HM100X2		375 F	HT130M0		195 F	HT130A0		160 F	PR300T2-4*		695 F		
TWO14H1	85 F	HM130X0		435 F	HT170M0		210 F	HT170A0		165 F	PR300T4		705 F		
TWO14R1	120 F	HM170X0		520 F	HT210M0		235 F	HT170A2		180 F	PR 330M0		1 480 F		
AWO14G1	100 F	HM210X0		630 F	HT210M2		290 F	HT210A0		195 F	PR330T0		1 480 F		
AWO14R1	130 F	HM130Z0		495 F	HT240M0		330 F	HT210A2		235 F	PR330T2-4*		1 530 F		
TWO25A0	160 F	HM170Z0		580 F	HT100F0		215 F	HT240A0		305 F	PR330T4		1 765 F		
TWO25A1	165 F	HM170Z0		685 F	HT130F0		295 F	VE4X6A2-4*		130 F	PR380M0		1 650 F		
TWO25M0	170 F	HM210Z0			HT170F0		330 F	AE4X6A0		140 F	PR380M2		2 015 F		
TWO25M1	175 F	<b>REFERENCE SERIES (B)</b>			HT210F0		365 F	HT5X7A0		155 F	PR380T0		1 650 F		
TWO25M3	230 F	HM100G0		285 F	VE100F0-4*		190 F	HC064A1		70 F	PR380T2-4*		1 685 F		
TWO25V2-1*	195 F	HM130G0		330 F	VE130F4-4*		225 F	CS070V0-50*		85 F	PR380T4		2 015 F		
		HM170G0		390 F	VE170F8-4*		275 F				PR380T6-4*		2 050 F		

## EMINENCE LOUDSPEAKER MADE IN USA

### TARIF TTC

#### ME série : châssis acier 8 Ω

8 MR 100 - médium 21 cm	380 F
ME 8-75 - 21 cm - 120 W	520 F
ME 10-100 - 26 cm - 160 W	590 F
ME 12-100 LE - 31 cm - 160 W	600 F
ME 15-200 - 38 cm - 300 W	880 F

#### FIABILITE ABSOLUE - Watts RMS

### KITS AUDIO AUDAX

HTP 817	1 100 F
HTP 170	640 F
HTP 210	580 F
HTP 420	925 F
HTK 170	1 270 F
HMP 1000	1 600 F
HMC 1700	1 810 F
HMP 2100	1 370 F
HMX 2100	2 490 F
PRO 3814	1 790 F
PRO 3817	2 240 F

### GAMME AUTOMOBILE 4 Ω

21 cm - 300 W max	615 F
26 cm - 400 W max	700 F
31 cm - 600 W max	760 F

#### EFFICACITE EXCEPTIONNELLE

### HP ARDAN (8 Ω)

AR 2035 : Ø210 - RMS 60 W	240 F
AR 2550 : Ø260 - RMS 90 W	280 F
AR 3050 : Ø305 - RMS 150 W	380 F
AR 3850 : Ø385 - RMS 200 W	490 F
H 3908 médium corne	160 F

## CHANGEMENT D'ADRESSE

Depuis le 3 janvier 1995

Chelles Electroniques vous invite

à vous rendre au 20, avenue du Maréchal Foch  
pour l'achat de vos composants électroniques.

### UNE NOUVEAUTE !

#### LES KITS DECRITS DANS LED

(composants et circuit imprimé percé)

• Overdrive Led n° 102 complet	150 F
• Coffrets + boutons	66 F
• Trémolo Led n° 103 complet	168 F
• Coffret + boutons	66 F
• Flanger Led n° 107, complet	330 F
(coffret + 3 boutons)	66 F
• Kit égaliseur 10 voies Led n° 109	
avec pot standard carbone	355 F
Supplément pour pot Cermet P11	220 F
Alimentation pour égaliseur avec transfo	220 F
• Ampli 400 Welf Led n° 111	
Bloc ampli 1 canal (avec radiateur et ventilateur)	1 690 F
Alim. filtrage électronique	125 F
Transfo torique 300 VA	335 F
Transfo torique 500 VA	495 F
22 000 µF/100 V, l'unité	490 F
• Filtre actif triphonique Led n° 113	88 F
Régulation ± 15 V	45 F
Transformateur 2 x 15 V/30 VA	120 F
• Pédale Jazz Wah	185 F
Coffret + bouton	66 F
• Pédale Fuzz Octaver Led n° 118	150 F
Coffret + bouton	66 F
• Diapason 442 Hz Led n° 119	160 F
- Coffret + boutons	66 F
• Filtre actif universel Led n° 119	
- Filtre 12 dB/oct.	170 F
- Alimentation avec transfo	220 F
- Chorus	370 F
- Coffret + boutons	66 F
• Préampli classe A Led n° 121	
- Préampli haut niveau (stéréo)	495 F
- Préampli RIAA avec commutation et sortie casque	510 F
- VU-mètre stéréo	230 F
- Sélecteur d'entrées	40 F
- Alimentation ± 15 V	250 F
- Transformateur torique 50 VA 2 x 15 V	160 F
- Coffret PR330	195 F
• Programmateur Progema	
- Carte mère (afficheur/clavier)	550 F
- Carte 2716/2732 (avec support à insertion nulle et alim.)	380 F
- Carte 2764/27128/27256 (avec support et alim.)	450 F
• Module ampli stéréo LM 3886 Led n° 124 (sans dissipateur)	220 F
• Dissipateur	180 F
• Interface Atari	100 F
• Kit égaliseur 5 voies coffret + boutons	195 F
	84 F
• Echantillonneur Atari PC avec disquette programme	320 F

Qté	Référence	P.U. TTC	Total TTC
<input type="text"/>	<input type="text"/>	<input type="text"/>	<input type="text"/>
<input type="text"/>	<input type="text"/>	<input type="text"/>	<input type="text"/>

Port et emballage : 50 F

Net à payer TTC : \_\_\_\_\_

Conditions de vente : minimum d'envoi 100 F. **Pas d'expédition hors C.E.E.**  
Par correspondance : règlement à la commande par chèque ou mandat-lettre, ajouter le forfait de port et d'emballage : 50 F.  
Contre-remboursement : 80 F. Au-dessus de 3 kg (oscilloscope, alimentation), expédition par la SERNAM : 110 F.

NOM \_\_\_\_\_  
ADRESSE \_\_\_\_\_  
CODE \_\_\_\_\_ VILLE \_\_\_\_\_

# POUR LES PASSIONNÉS DE RÉALISATIONS ÉLECTRONIQUES, UNE SÉLECTION DE **17** MONTAGES SIMPLES ET ORIGINAUX

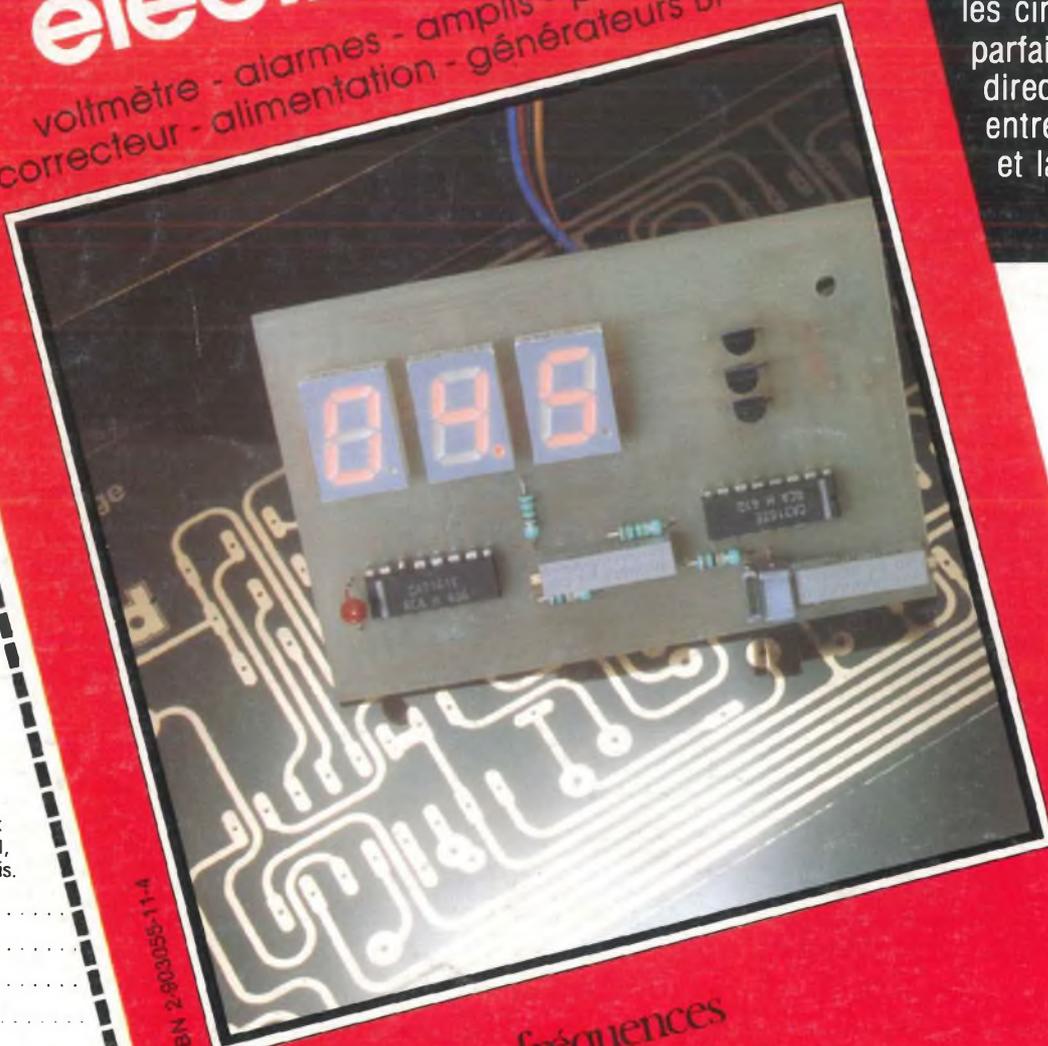
Tous mis au point et testés afin de vous garantir un parfait fonctionnement des modules à la première mise sous tension, que vous soyez électronicien chevronné ou débutant.

17 études comprenant pour chacune d'elles le schéma de principe, le circuit imprimé à l'échelle 1 et son plan de câblage clair et précis.

BERNARD DUVAL

## 17 montages électroniques

voltmètre - alarmes - amplis - préamplis -  
correcteur - alimentation - générateurs BF - etc.



17 implantations imprimées à l'envers et regroupées aux dernières pages de ce livre vous permettent de graver les circuits avec une parfaite définition (contact direct lors de l'insolation entre le circuit imprimé et la photocopie).

Diffusion  
auprès des  
libraires assurée  
exclusivement par  
les Éditions  
Eyrolles.

### BON DE COMMANDE

Je désire recevoir le livre  
« 17 montages électroniques  
simples », au prix de **107 F**  
(95 F + 12 F de port).

Adresser ce bon aux  
ÉDITIONS FREQUENCES 1,  
boulevard Ney, 75018 Paris.

Nom .....

Prénom .....

Adresse .....

Code postal .....

Règlement effectué  
 par CCP  Par chèque bancaire  
 par mandat

ISBN 2-296-00555-1



éditions fréquences  
COLLECTION **Led** LOISIRS

**128 pages**  
PRIX : 95 F